

ผลของการใช้แบงค์พรีเจลต์ในชีวิตร่วมกับเครื่องดื่มแอลกอฮอล์ต่อคุณภาพของ
ขนมปังปราศจากกลูเตนที่ทำจากแป้งข้าวเจ้า



วิทยานิพนธ์เสนอบันทึกวิทยาลัย มหาวิทยาลัยนเรศวร เพื่อเป็นส่วนหนึ่งของ

การศึกษาหลักสูตรปริญญาวิทยาศาสตร์มหาบัณฑิต
สาขาวิชาชีววิทยาศาสตร์และเทคโนโลยีการอาหาร

เดือนมีนาคม 2559

ลิขสิทธิ์เป็นของมหาวิทยาลัยนเรศวร

วิทยานิพนธ์เรื่อง “ผลของการใช้แป้งพรีเจลตีไนซ์จากถั่วเขียวและไฮโดรคออลลอยด์ต่อคุณภาพของ
ขนมปังปราศจากกลูเตนที่ทำจากแป้งข้าวเจ้า”

ของนางสาวปิยพร ศิริคง

ได้รับการพิจารณาให้นับเป็นส่วนหนึ่งของการศึกษาตามหลักสูตร

วิทยาศาสตรมหาบัณฑิต (วิทยาศาสตร์และเทคโนโลยีการอาหาร)

คณะกรรมการสอบวิทยานิพนธ์

.....
กนกนง 84..... ประธานกรรมการสอบวิทยานิพนธ์

(ดร. กนกนง วงศ์ใน)

.....
ศศิวิมล..... ประธานที่ปรึกษาวิทยานิพนธ์

(ดร.ศศิวิมล จิตรากร)

.....
ผู้ช่วยศาสตราจารย์ ดร.มนตนา วีระวัฒนากร..... กรรมการที่ปรึกษาวิทยานิพนธ์

.....
ผู้ช่วยศาสตราจารย์ ดร.ชนิษฐา รุ่ตตัณรงค์..... กรรมการผู้ทรงคุณวุฒิภายใน
(ผู้ช่วยศาสตราจารย์ ดร.ชนิษฐา รุตตัณรงค์)

อนุมัติ

กานุ พุทธวงศ์

(ดร.กานุ พุทธวงศ์)

รองคณบดีฝ่ายบริหารและวางแผน ปฏิบัติราชการแทน

คณบดีบัณฑิตวิทยาลัย

๖ ส.ค. ๒๕๕๙

ประกาศคุณปการ

วิทยานิพนธ์ฉบับนี้ สำเร็จลุล่วงได้ด้วยความกรุณาอย่างยิ่งของ ดร.ศศิวิมล จิตรารักษานทีปรีชาวิทยานิพนธ์ ที่ได้สละเวลาอันมีค่ามาเป็นที่ปรึกษาพร้อมทั้ง ผู้ช่วยศาสตราจารย์ ดร.มนฑา วีระวัฒนากร กรรมการที่ปรึกษาวิทยานิพนธ์ ที่ได้กรุณาให้คำปรึกษา คำแนะนำ ถ่ายทอดความความรู้ รวมถึงให้กำลังใจในเรื่องงานวิจัยหรือเรื่องในการดำเนินชีวิตประจำวันด้วย ความเข้าใจใส่ จนทำให้วิทยานิพนธ์ฉบับนี้สำเร็จลุล่วงได้อย่างสมบูรณ์และทรงคุณค่า

ขอขอบคุณทุนอุดหนุนการวิจัยประเทบทัณฑิตศึกษา ระดับปริญญาโทประจำปี 2558 จากสำนักงานคณะกรรมการวิจัยแห่งชาติ (วช.) ที่ได้ให้การสนับสนุนทุนวิจัยและขอขอบคุณ คุณศศิมา ชีระพันธ์ เกษตรกรจากชุมชนบ้านมะขามเรียง หมู่ที่ 3 ตำบลมะมัง อำเภอชุมแสง จังหวัดนครสวรรค์ ที่ให้ความอนุเคราะห์ตลอดดูแลสำหรับการทำวิทยานิพนธ์ในครั้งนี้

ขอกราบขอบพระคุณกรรมการผู้ทรงคุณวุฒิ กรรมการสอบวิทยานิพนธ์ทุกท่าน คณาจารย์และบุคลากร ภาควิชาคุณสาหกรรมเกษตร คณะเกษตรศาสตร์ ทรัพยากรธรรมชาติ และสิ่งแวดล้อม ที่ให้คำปรึกษาและความช่วยเหลือในทุกด้าน ตลอดจนการใช้เครื่องมือและ อุปกรณ์ที่เกี่ยวข้องในงานวิจัย ทำให้การดำเนินงานสำเร็จลุล่วงไปได้ด้วยดี

ขอบคุณเพื่อนและรุ่นพี่ ที่ให้ได้ให้ความช่วยเหลือ ให้คำปรึกษาในทุก ๆ ด้าน ตลอดจน ให้กำลังใจในการทำวิทยานิพนธ์ในครั้งนี้

เนื่องด้วยความตั้งใจขอกราบขอบพระคุณพ่อสุดสาคร-คุณแม่นม้อย ศิริคง ป้า และน้า ที่ให้ กำลังใจและการสนับสนุนในทุกด้านอย่างดีที่สุดเสมอมา

คุณค่าและคุณประโยชน์อันเพียงจะมีจากวิทยานิพนธ์ฉบับนี้ ผู้วิจัยขอขอบและอุทิศแด่ ผู้มีพระคุณทุก ๆ ท่าน ผู้วิจัยหวังเป็นอย่างยิ่งว่างานวิจัยนี้จะเป็นประโยชน์ต่อผู้ประกอบการและ ผู้ที่สนใจไม่น้อย

ปิยพร ศิริคง

ชื่อเรื่อง	ผลของการใช้แป้งพรีเจลติไนซ์จากถั่วเขียวและไฮโดรคออลลอยด์ต่อคุณภาพของข้นมปังปราศจากกลูเตนที่ทำจากแป้งข้าวเจ้า
ผู้วิจัย	ปิยพร ศิริก
ประธานที่ปรึกษา	ดร.ศศิวิมล จิตรากร
กรรมการที่ปรึกษา	ผู้ช่วยศาสตราจารย์ ดร.มนฑนา วีระวัฒนากร
ประเภทสารนิพนธ์	วิทยานิพนธ์ วท.ม. สาขาวิชาชีวเคมีและเทคโนโลยีอาหาร, มหาวิทยาลัยนเรศวร, 2559
คำสำคัญ	ถั่วเขียว แป้งพรีเจลติไนซ์ แป้งข้าวเจ้า ไฮโดรคออลลอยด์ ข้นมปังปราศจากกลูเตน

บทคัดย่อ

งานวิจัยนี้ทำการศึกษาสมบัติทางเคมีและกายภาพของแป้งถั่วเขียวและศึกษาสภาวะที่เหมาะสมในการดัดแปรแป้งถั่วเขียวโดยวิธีการพรีเจลติไนซ์ โดยใช้เครื่องทำแห้งแบบลูกกลิ้ง (Drum dryer) ที่แปรคุณภาพให้มีผิวน้ำลูกกลิ้ง 3 ระดับคือ 100, 120 และ 140 องศาเซลเซียส (DMF 100, DMF120 และ DMF 140) และเครื่องเอกซ์ตรูเดอร์ (Extruder) ที่แปรระดับความชื้นของวัตถุดิบภายในบาร์ล้ออยละ 46, 70 และ 94 (EMF46, EMF70 และ EMF94) เพื่อนำมาใช้ในการผลิตขนมปังปราศจากกลูเตน จากการทดลองพบว่าแป้งพรีเจลติไนซ์จากถั่วเขียวที่ผ่านการดัดแปรทั้งสองวิธีมีดัชนีการดูดซึมน้ำ กำลังการพองตัวและการละลาย เพิ่มขึ้นอย่างมีนัยสำคัญทางสถิติ ($p<0.05$) จากการวิเคราะห์คุณสมบัติด้านความหนืดด้วยเครื่องวิเคราะห์ความหนืดอย่างรวดเร็ว (Rapid Visco Analyzer; RVA) พบว่า ค่าความหนืดสูงสุดและ ค่าการคืนตัวของแป้งพรีเจลติไนซ์ มีค่าต่ำกว่าแป้งถั่วเขียวดิน โดยแป้ง DMF140 และแป้ง EMF46 มีค่าการคืนตัวต่ำกว่าแป้งพรีเจลติไนซ์ชนิดอื่นที่ผลิตด้วยวิธีเดียวกัน เมื่อศึกษาสมบัติทางความร้อน พบว่า ค่าพลังงานในการเกิดเจลาติไนเซ็นของแป้งพรีเจลติไนซ์มีค่าต่ำกว่าแป้งถั่วเขียวดิน ลักษณะของเม็ดแป้งที่ศึกษาด้วยกล้องจุลทรรศน์แบบใช้แสงโพลาไรซ์แสดงให้เห็นถึงการเกิดเจลาติไนเซ็นอย่างสมบูรณ์ของแป้งพรีเจลติไนซ์จากการจากผลิตทั้งสองวิธี โดยโครงสร้างของเม็ดแป้งถูกทำลายและสูญเสียลักษณะไบเรฟริงเจนส์ (Birefringence)

จากการศึกษาสมบัติทางรีโซโลยีของโดยพบว่า โดยการแบ่งข้าวเจ้าที่มีการแทนที่ด้วยแบ่งพรีเจลาริตไนซ์จากการผลิตทั้งสองวิธีจะมีค่า Storage modulus (G') และค่า Loss modulus (G'') สูงกว่าแบ่งข้าวเจ้าและแบ่งถั่วเขียวดิบและจะมีค่าเพิ่มสูงขึ้นเมื่อระดับการแทนที่เพิ่มมากขึ้น ส่วนขั้นปั้งปราศจากกลูเตนที่ผลิตจากแบ่งข้าวเจ้าโดยการแทนที่ด้วยแบ่งพรีเจลาริตไนซ์ในปริมาณร้อยละ 5, 10 และ 15 จะมีปริมาตรของขั้นปั้งที่ลดลงและมีค่าความแข็งมากขึ้นเมื่อระดับการแทนที่ด้วยแบ่งพรีเจลาริตไนซ์มากขึ้น และขั้นปั้งที่ผลิตจากแบ่ง DMF140 และ EMF46 ที่ระดับการแทนที่แบ่งข้าวเจ้าร้อยละ 5 จะมีปริมาตรของขั้นปั้งที่ดี มีลักษณะของฟองอากาศ (Gas cell) ที่สม่ำเสมอ และมีความแข็งของเนื้อขั้นปั้งที่ต่ำกว่าขั้นปั้งสูตรอื่น ๆ

จากการศึกษาผลของปริมาณน้ำและ HPMC ที่ใช้ในการเติมลงในสูตรขั้นปั้งปราศจากกลูเตน ที่มีการแทนที่ด้วยแบ่งถั่วเขียวพรีเจลาริตไนซ์ DMF140 และ EMF46 ในระดับการแทนที่ร้อยละ 5 โดยใช้วิธี Response Surface Methodology (RSM) วางแผนการทดลองแบบ Central Composite Design (CCD) พบว่าปริมาณน้ำและ Hydroxypropyl methylcellulose (HPMC) มีผลต่อน้ำหนักและปริมาตรของขั้นปั้งปราศจากกลูเตน และสมการที่มีความเหมาะสมในการทำนายข้อมูลจากการทดลองคือสมการเส้นตรง เมื่อนำสมการทางคณิตศาสตร์ที่ได้มาสร้างกราฟพื้นผิวตอบสนองสามมิติของน้ำหนักและปริมาตรที่ได้พบว่า สูตรที่เหมาะสมในการผลิตขั้นปั้งปราศจากกลูเตนคือสูตรที่มีการใช้น้ำ 110 มิลลิลิตร และ HPMC ร้อยละ 1.5 ของน้ำหนักแบ่งทั้งหมด

ขั้นปั้งที่ผลิตโดยใช้แบ่งพรีเจลาริตไนซ์ DMF140 และ EMF46 ที่ระดับการแทนที่ร้อยละ 5 เมื่อกีบรักษาเป็นเวลา 3 วัน จะมีค่าความแข็งของขั้นปั้งที่ต่ำกว่าขั้นปั้งจากแบ่งข้าวเจ้า และขั้นปั้งที่ไม่มีการเติม HPMC และขั้นปั้ง ODMF140 จะมีค่าความแข็งที่ต่ำกว่าขั้นปั้ง OEMF46 เมื่อกีบรักษาเป็นระยะเวลาหนึ่ง โดยสอดคล้องกับค่าเอนทาลปีของการเกิดรีโทรเกรเดชั่นของ ODMF140 ที่มีค่าสูงกว่า OEMF46 จากการวิจัยนี้แสดงให้เห็นว่าแบ่งพรีเจลาริตไนซ์ที่ผลิตจากเครื่องทำแห้งแบบลูกกลิ้งและเครื่องเอกสารหูดอร์ สามารถนำมาใช้เพื่อปรับปรุงคุณสมบัติของแบ่งและสามารถนำไปใช้ประยุกต์ใช้ในอุตสาหกรรมขั้นตอนได้

Title	EFFECT OF PREGELATINIZED MUNG BEAN FLOUR AND HYDROCOLLOID ADDITION ON THE QUALITIES OF GLUTEN FREE RICE FLOUR BREAD
Author	Piyaporn Sirikong
Advisor	Sasivimon Chitrakorn, Ph.D.
Co - Advisor	Assistant Professor Monthana Weerawatanakorn, Ph.D.
Academic Paper	Thesis M.S. in Food Science and Technology, Naresuan University, 2016
Keywords	Mung bean, Pregelatinized flour, Rice flour, Hydrocolloid, Gluten free bread

ABSTRACT

This research was conducted to study the physicochemical properties of mung bean flour and the optimum processing for production of pregelatinized mung bean flour by drum dryer and twin screw extruder. The temperature of drum was operated at 100, 120, and 140 °C (DMF100, DMF120, and DMF140) and extrusion condition was set at 3 levels of feed moisture including 46, 70 and 94 % (EMF46, EMF70, and EMF94). The results showed that all pregelatinized mung bean flours caused a significant increase in water absorption index (WAI), solubility and swelling power. Pasting properties measured by Rapid Visco Analyzer (RVA) displayed a lower peak viscosity and set back of pregelatinized flour compared to native flour. Thermal analysis showed that gelatinization enthalpy of pregelatinized flour was lower than native flour. The starch granules obtained by polarized light microscopy exhibited complete gelatinization. The granular structure was disrupted and no birefringence was observed under polarized light.

Dough rheological studies indicated that dough produced from pregelatinized flour addition had higher G' and G'' than those produced from rice flour and native mung bean flour and the level of G' and G'' increased with increasing of pregelatinized flour substitution. Gluten free bread was produced from rice flour substituted with

pregelatinized flour from drum dry and extrusion process at the level of 5, 10, and 15 %. The results indicated that the volume and hardness of gluten free bread decreased as the level of pregelatinized flour substituted increased. The bread replaced with 5% of either DMF140 or EMF46 had higher bread volume, better gas cells distribution, and lower crumb hardness than other formulas.

Response surface methodology (RSM) analytical technique with central composite design (CCD) were used to find the optimum parameters including water and HPMC level for producing gluten-free bread made from pregelatinized flour (DMF140 and EMF46) substituted at the level of 5%. The results indicated that water content and hydroxypropyl methylcellulose (HPMC) addition affected on weight and volume of the gluten free bread with linear relationship. The linear equation was used to build three dimension response surface plots between weight and volume in order to predict the most suitable contents of water and HPMC for making the gluten free bread. It was found that 100 mL of water and 1.5% of HPMC could yield the gluten free bread with the best weight and volume characteristics.

During the 3 day storage, gluten free bread made from DMF140 and EMF46 at 5% substitution had lower crumb hardness than bread made from rice flour and bread without HPMC addition. The results showed that as storage time increased, the hardness of ODMF140 bread was lower than OEMF46 bread. This result followed the same trend of retrogradation properties measured by DSC which revealed that enthalpy of ODMF140 bread was higher than OEMF46 bread. Overall, these studies showed the promising results indicating that pregelatinized mung bean flour produced by drum drying and extrusion process can be used to modify flour properties and can be applied to the baking industries.

สารบัญ

บทที่	หน้า
1 บทนำ.....	1
ความเป็นมาของปัญหา	1
จุดมุ่งหมายของการศึกษา	4
2 เอกสารและงานวิจัยที่เกี่ยวข้อง.....	5
ข้าว	5
ถั่วเขียว.....	6
แป้งและองค์ประกอบของแป้ง	10
แป้งดัดแปลง	15
ขนมปัง	20
โรคแพ้กูลูเตน	25
ขนมปังปราศจากกูลูเตน	26
ไฮโดรคออลลอยด์.....	28
3 วิธีดำเนินการวิจัย.....	31
วัตถุประสงค์ที่ใช้ทดลอง	31
อุปกรณ์ที่ใช้ในการวิจัย	31
อุปกรณ์ที่ใช้ในการวิเคราะห์คุณภาพทางเคมี	31
สารเคมีที่ใช้วิเคราะห์ทางเคมี	32
อุปกรณ์ที่ใช้ในการวิเคราะห์คุณภาพทางกายภาพ	32
เครื่องประมวลผลทางสถิติ	33
ขั้นตอนและวิธีดำเนินงานวิจัย	33

สารบัญ (ต่อ)

บทที่	หน้า
4 ผลการวิจัย.....	44
ตอนที่ 1 การศึกษาองค์ประกอบของทางเคมี กายภาพของแบ่งถัวเขียวดิน เป็นข้าว เจ้าทางการค้า และแบ่งถัวเขียวพรีเจลาร์ตีไนซ์	44
ตอนที่ 2 การศึกษาปริมาณแบ่งพรีเจลาร์ตีไนซ์จากถัวเขียวที่เหมาะสมต่อ ^{คุณสมบัติของโดยและคุณภาพของขั้นบังเพื่อใช้ผลิตขั้นบัง} ปราศจากกลูเตนสูตรมาตรฐาน.....	56
ตอนที่ 3 การศึกษาปริมาณน้ำและ HPMC ที่เหมาะสมต่อการผลิตขั้นบัง ^{ปราศจากกลูเตนที่ผลิตจากแบ่งข้าวเจ้าและแบ่งถัวเขียว} พรีเจลาร์ตีไนซ์	70
ตอนที่ 4 ผลศึกษาการเปลี่ยนแปลงในระหว่างการเก็บรักษาขั้นบังปราศจาก กลูเตน.....	77
5 บทสรุป.....	81
ตอนที่ 1 การศึกษาองค์ประกอบของทางเคมี กายภาพของแบ่งถัวเขียวดิน เป็นข้าว เจ้าทางการค้าและแบ่งถัวเขียวพรีเจลาร์ตีไนซ์	81
ตอนที่ 2 การศึกษาปริมาณแบ่งพรีเจลาร์ตีไนซ์จากถัวเขียวที่เหมาะสม ต่อกุณสมบัติของโดยและคุณภาพของขั้นบังเพื่อใช้ผลิตขั้นบัง ปราศจากกลูเตนสูตรมาตรฐาน	81
ตอนที่ 3 การศึกษาปริมาณน้ำและ HPMC ที่เหมาะสมต่อการผลิตขั้นบัง ^{ปราศจากกลูเตนที่ผลิตจากแบ่งข้าวเจ้าและแบ่งถัวเขียว} พรีเจลาร์ตีไนซ์	82
ตอนที่ 4 ผลศึกษาการเปลี่ยนแปลงในระหว่างการเก็บรักษาขั้นบังปราศจาก กลูเตน.....	82

สารบัญ (ต่อ)

บทที่	หน้า
บรรณานุกรม.....	83
ภาคผนวก.....	95
ประวัติผู้จัด.....	106



สารนัญตาราง

ตาราง	หน้า
1 การจัดแบ่งข้าวตามปริมาณอะไมโลส	5
2 องค์ประกอบทางเคมีของถั่วเขียว.....	8
3 องค์ประกอบทางเคมีของเมล็ดถั่วเขียวพันธุ์ต่าง ๆ	9
4 ปริมาณแร่ธาตุในเมล็ดถั่วชนิดต่าง ๆ	9
5 ปริมาณวิตามินในเมล็ดถั่วชนิดต่าง ๆ	10
6 สมบัติที่สำคัญของอะไมโลสและอะไมโลเพคติน	11
7 สมบัติของไฮโดรคออลดูอยด์ในผลิตภัณฑ์อาหาร	29
8 รูปแบบการจัดเรียงสกูร (จากทางป้อนวัตถุดิบถึงหน้าแปลน)	36
9 การตั้งอุณหภูมิของบาร์ล	36
10 ส่วนผสมของข้นมปังปราศจากกลูเตน	39
11 รายละเอียดของตัวแปรที่ใช้ในการออกแบบการทดลอง	42
12 องค์ประกอบทางเคมีของ แบ่งถั่วเขียวดิบและแบ่งถั่วเขียวพรีเจเลตีนีซ จากการดัดแปลงเครื่องทำแห้งแบบลูกกลิ้งและเครื่องเอกสาร์ทูเดอร์ (ร้อยละโดยน้ำหนักแห้ง)	45
13 ดัชนีการละลายน้ำ ดัชนีการดูดซับน้ำ การลังการพองตัวและการละลายของแบ่งถั่ว เขียวดิบและแบ่งถั่วเขียวพรีเจเลตีนีจากการดัดแปลงเครื่องทำแห้งแบบ ลูกกลิ้งและเครื่องเอกสาร์ทูเดอร์	46
14 ค่าสี (L^* , a^* , b^*) ของแบ่งถั่วเขียวดิบและแบ่งถั่วเขียวพรีเจเลตีนีจากการดัดแปลง เครื่องทำแห้งแบบลูกกลิ้งและเครื่องเอกสาร์ทูเดอร์	48
15 ผลการศึกษาการเปลี่ยนแปลงพฤติกรรมทางความหนืดของแบ่งถั่วเขียวดิบ และ แบ่งถั่วเขียวพรีเจเลตีนีจากการดัดแปลงเครื่องทำแห้งแบบลูกกลิ้งและ เครื่องเอกสาร์ทูเดอร์ เมื่อวิเคราะห์ด้วยเครื่องวิเคราะห์ความหนืด แบบรวดเร็ว (Rapid Visco Analyzer, RVA)	51

สารบัญตาราง (ต่อ)

ตาราง	หน้า
16 คุณภาพด้านเนื้อสัมผัสของขnmปั๊ปราชากกฐเทนสูตรมาตรฐานที่แทนที่ แบ่งถัวเขียวดิบและแบ่งถัวเขียวพรีเจลติในซ์จากการดัดแปลงวิธีต่าง ๆ ในบริมาณร้อยละ 5, 10 และ 15 ของแบ่งข้าวเจ้า	63
17 ค่าสีเปลี่ยอกนอกและเนื้อในของขnmปั๊ปราชากกฐเทนสูตรมาตรฐานที่แทนที่แบ่ง ถัวเขียวดิบและแบ่งถัวเขียวพรีเจลติในซ์จาก การดัดแปลงเครื่องทำแห้ง [*] แบบลูกกลิ้งและเครื่องเอกซ์ทรูเดอร์ ในบริมาณร้อยละ 5, 10 และ 15 ของแบ่งข้าวเจ้า	68
18 ส่วนผสมของขnmปั๊สูตรมาตรฐาน	71
19 สภาพะและรหัสของบริมาณน้ำและ HPMC ที่ใช้ในการผลิตขnmปั๊ปราชาก กฐเทนจากการออกแบบการทดลองด้วย RSM วางแผนการทดลอง แบบ CCD	72
20 แบบจำลองคุณภาพสำหรับการทำบริมาณน้ำและ HPMC ที่เหมาะสมต่อ [*] การผลิตขnmปั๊ปราชากกฐเทน ODMF140	73
21 แบบจำลองคุณภาพสำหรับการทำบริมาณน้ำและ HPMC ที่เหมาะสมต่อการผลิต ขnmปั๊ปราชากกฐเทน OEMF46	73
22 สมการของน้ำหนักและบริมาณของขnmปั๊ปราชากกฐเทน ODMF140 และ OEMF46 จากการออกแบบการทดลองด้วย RSM	74
23 บริมาณulinทรีย์ทั้งหมดและบริมาณยีสต์รวมของขnmปั๊ปราชากกฐเทน	79

สารบัญภาพ

ภาพ	หน้า
1 การเตรียมแป้งถั่วเขียวดิบ	34
2 กระบวนการดัดแปลงโดยเครื่องทำแห้งแบบลูกกลิ้ง	35
3 รูปแบบการจัดเรียงสกูร	37
4 กระบวนการดัดแปลงโดยด้วยเครื่องเอกซ์ทรูเดอร์	37
5 ขั้นตอนการผลิตขนมปัง	40
6 แป้งถั่วเขียวดิบและแป้งถั่วเขียวพรีเจลติในร์จากการดัดแปลงด้วยเครื่องทำแห้งแบบลูกกลิ้งและเครื่องเอกซ์ทรูเดอร์	49
7 เทอร์โมแกรมของแป้งถั่วเขียวดิบและแป้งถั่วเขียวพรีเจลติในร์จากการดัดแปลงด้วยเครื่องทำแห้งแบบลูกกลิ้งและเครื่องเอกซ์ทรูเดอร์ เมื่อวิเคราะห์ด้วยเครื่อง Differential Scanning Calorimeter (DSC)	50
8 ความตื้นพื้นที่ของความหนืดและอัตราการเรือนของของแป้งถั่วเขียวดิบและแป้งถั่วเขียวพรีเจลติในร์จากการดัดแปลงด้วยวิธีต่าง ๆ ที่ความเย็นขึ้นของแป้งร้อยละ 8	53
9 ลักษณะไบร์ฟริงเจนส์จากกล้องจุลทรรศน์แบบใช้แสงโพลาไรซ์ (50X) ของแป้งถั่วเขียวดิบและแป้งถั่วเขียวพรีเจลติในร์จากการดัดแปลงด้วยเครื่องทำแห้งแบบลูกกลิ้งและเครื่องเอกซ์ทรูเดอร์	55
10 ค่า Storage modulus (G'), Loss modulus (G'') และ Loss tangent ($\tan \delta$) ของขนมปังปราศจากลูเตนสูตรมาตรฐานที่แทนที่แป้งถั่วเขียวดิบและแป้งถั่วเขียวพรีเจลติในร์จากการดัดแปลงด้วยเครื่องทำแห้งแบบลูกกลิ้งและเครื่องเอกซ์ทรูเดอร์ในปริมาณร้อยละ 5, 10 และ 15 ของแป้งข้าวเจ้า จากการทำ frequency sweep test	56
11 ปริมาตรของขนมปังปราศจากลูเตนสูตรมาตรฐานที่แทนที่แป้งถั่วเขียวดิบและแป้งถั่วเขียวพรีเจลติในร์จากการดัดแปลงด้วยเครื่องทำแห้งแบบลูกกลิ้งและเครื่องเอกซ์ทรูเดอร์ ในปริมาณร้อยละ 5, 10 และ 15 ของแป้งข้าวเจ้า....	60

สารบัญภาพ (ต่อ)

ภาพ	หน้า
12 ขั้นตอนปั้นปราศจากกลูเตนสูตรมาตรฐานที่แทนที่แป้งถั่วเขียวดิบและแป้งถั่วเขียวพรีเจลาร์ในซีรีส์จากการดัดแปลงเครื่องทำแห้งแบบลูกกลิ้งและกระบวนการการเอกสารที่อยู่ในบริมาณร้อยละ 5, 10 และ 15 ของแป้งข้าวเจ้า	61
13 กราฟสามมิติของพื้นผิวตอบสนองต่อน้ำหนักของขั้นตอนปั้นปราศจากกลูเตนโดยแสดงความสัมพันธ์ระหว่างปริมาณน้ำและ HPMC ที่ใช้ในการผลิตขั้นตอนปั้นปราศจากกลูเตนที่ผลิตจากแป้งข้าวเจ้าและแป้งถั่วเขียวพรีเจลาร์ในซีรีส์; (ก) ขั้นตอนปั้นปราศจากกลูเตน ODMF140, (ข) ขั้นตอนปั้นปราศจากกลูเตน OEMF46	75
14 กราฟสามมิติของพื้นผิวตอบสนองต่อปริมาณของขั้นตอนปั้นปราศจากกลูเตนโดยแสดงความสัมพันธ์ระหว่างปริมาณน้ำและ HPMC ที่ใช้ในการผลิตขั้นตอนปั้นปราศจากกลูเตนที่ผลิตจากแป้งข้าวเจ้าและแป้งถั่วเขียวพรีเจลาร์ในซีรีส์; (ก) ขั้นตอนปั้นปราศจากกลูเตน ODMF140, (ข) ขั้นตอนปั้นปราศจากกลูเตน OEMF46	76
15 เปรียบเทียบขั้นตอนปั้นปราศจากกลูเตนสูตรมาตรฐาน (DMF140 และ EMF46) และขั้นตอนที่ได้จากการออกแบบการทดลองด้วย RSM (ODMF140 และ OEMF46)	77
16 การเปลี่ยนแปลงของค่า Hardness ของขั้นตอนปั้นปราศจากกลูเตนระหว่างการเก็บรักษา 0, 1 และ 3 วัน	78

บทที่ 1

บทนำ

ความเป็นมาของปัญหา

ปัจจุบัน มีผู้บริโภคผลิตภัณฑ์ขนมขบกันอย่างแพร่หลาย หนึ่งในผลิตภัณฑ์ที่ได้รับความนิยมอย่างมาก คือ ขนมปัง ซึ่งเป็นผลิตภัณฑ์ที่มีข้าวสาลีเป็นองค์ประกอบหลัก ในแป้งสาลีจะมีโปรตีนที่เรียกว่า “กลูเตน” ซึ่งประกอบด้วยโปรตีน 2 ชนิด คือ กลูเตนิน (Glutenin) เป็นโปรตีนที่มีคุณสมบัติด้านความยืดหยุ่น และไกโลดิน (Gliadin) เป็นโปรตีนที่ให้ความชันหนึ่งในโค (Xu, et al., 2007)

อาหารปราศจากกลูเตน (Gluten free products) ได้รับความสนใจมากในปัจจุบันเนื่องจากทางการแพทย์ได้ค้นพบว่ามีผู้ป่วยที่เป็นโรคเนื่องจากการแพ้กลูเตน (Celiac disease) ในข้าวสาลี ข้าวไรย์ และข้าวบาร์เลย์ เป็นจำนวนมากขึ้น โดยอาการแพ้กลูเตนมีหลากหลายรูปแบบ ผู้ป่วยที่เป็นโรคนี้จะมีอาการ ท้องเสีย อาเจียน ปวดแน่นท้อง การดูดซึมวิตามิน และเกลือแร่น้อยลง น้ำหนักลดลง สาเหตุเนื่องจากลำไส้เล็กส่วนบนเกิดการอักเสบ (Wieser and Koehler, 2008) โปรตีนในกลูเตนที่มีส่วนสัมพันธ์กับการเกิด Celiac disease คือ prolamins และอาหารที่ปราศจากกลูเตน ไม่ควรมีกลูเตนเกิน 20 ppm (Gallagher, et al., 2004) จากการค้นพบโรคดังกล่าวทำให้อุตสาหกรรมอาหารในต่างประเทศ มีความตื่นตัวในการหัวตقطุดิบที่จะใช้ทดแทนแป้งสาลี ในผลิตภัณฑ์อาหารชนิดต่าง ๆ เช่น ผลิตภัณฑ์ขบกัน ผลิตภัณฑ์อาหารเส้น และผลิตภัณฑ์อื่น ๆ ผู้ป่วยที่เป็นโรค Celiac disease ไม่ควรรับประทานอาหารที่มีส่วนประกอบของกลูเตน หรือรับประทานในปริมาณน้อย ในระดับที่ไม่ทำให้เกิดอันตราย อย่างไรก็ตามแป้งสาลีมักใช้เป็นองค์ประกอบหลักในการผลิตผลิตภัณฑ์ขนมปัง เนื่องจากมีคุณสมบัติที่ยืดหยุ่นได้ในอุณหภูมิห้อง (Viscoelastic properties) สามารถอุ้มน้ำ และกักเก็บก๊าซcarbon dioxideได้ดี ในระหว่างการผสมและการอบ ทำให้ขนมปัง暄ฟู นุ่ม และมีปริมาตรที่ดี (Chartrand, et al., 1997) ในปัจจุบันยังไม่สามารถหาตقطุดิบที่มีคุณสมบัติที่ดีเพื่อใช้ทดแทนแป้งสาลีในการผลิตขนมปังได้

ข้าวเป็นพืชเศรษฐกิจหลักของประเทศไทยเป็นแหล่งอาหารที่สำคัญ ประเทศไทยมีการปลูกข้าวเป็นจำนวนมาก เพื่อใช้ในการบริโภคภายในประเทศและการส่งออก ทั้งในรูปเม็ดข้าวและผลิตภัณฑ์จากข้าว ในปัจจุบันประเทศไทยสามารถผลิตข้าวเพื่อส่งออกเป็นอันดับ 2 ของโลก (สมาคมผู้ส่งออกข้าวไทย, 2559) มีเนื้อที่เพาะปลูกข้าวทั้งหมด 6,060,746 ไร่ เดือนมกราคม

ถึงเดือนกรกฎาคม ประเทศไทยส่งออกข้าวไปแล้วเป็นจำนวน 5.43 ตัน (สมาคมผู้ส่งออกข้าวไทย, 2559) นอกจากการส่งออกในรูปข้าวสารแล้วยังมีการส่งออกในรูปผลิตภัณฑ์จากข้าว อาทิ เช่น แป้งข้าว ซึ่งเป็นผลผลิตภัณฑ์ที่ได้จากข้าวหักแล้วนำมาโม่นละเอียด แป้งข้าวมีคุณค่าทางโภชนาการที่ดี และมีโปรตีนที่ไม่ก่อให้เกิดอาการแพ้ เมื่อเปรียบเทียบกับข้าวสาลี (อรอนงค์ นัยวิฤต, 2550)

ถั่วเขียวเป็นพืชไร่ที่สำคัญนิดหนึ่งของประเทศไทย นิยมปลูกกันทั่วทุกภาค ทั้งในฤดูเพาะปลูกปกติ หรือปลูกหมุนเวียนหลังฤดูกาลเก็บเกี่ยวข้าว ปริมาณความต้องการใช้ผลิตภัณฑ์ถั่วเขียวในประเทศไทย และส่งออกมีแนวโน้มเพิ่มขึ้นทุกปี ในปี 2558 ประเทศไทยสามารถปลูกถั่วเขียว ผิวมันเมล็ดใหญ่ได้ 98,360 ตัน (สำนักงานเศรษฐกิจการเกษตร, 2558) ราคาถั่วเขียวผิวมัน (ขั้น 2) ในเดือนสิงหาคม ปี 2559 ขายกิโลกรัมละ 31 บาท (สมาคมพ่อค้าข้าวโพดและพืชพันธุ์ไทย, 2559) ถั่วเขียวมีคุณค่าทางโภชนาการสูง มีปริมาณโปรตีนร้อยละ 20-24 มีปริมาณ Dietary fiber สูง และมีสารต้านอนุมูลอิสระ เช่น Flavonoids phenolic acids และ Polyphenol ซึ่งเป็นสารที่ด้านการอักเสบ การเกิดเนื้องอก และต้านเชื้ออุดินทรีย์ (Tang, et al., 2014) ถั่วเขียวสามารถนำไปผลิตเป็นผลิตภัณฑ์อาหารได้หลากหลาย เช่น ข้นหวาน ข้นขบเคี้ยว และนำไปผลิตเป็นสตาร์ฟ ถั่วเขียวสำหรับการผลิตวุ้นเส้น นอกจากนั้นอาจใช้ทดแทนแป้งข้าวเจ้าบางส่วนร่วมกับการใช้สารไฮโดรคออลอยด์เป็นสารเพิ่มความนิ่ด และเพิ่มความคงตัวในอาหารต่าง ๆ (นิธิยา รัตนานนท์, 2545) เนื่องจากแป้งถั่วเขียวเป็นแป้งที่ปราศจากกลูเตน การนำแป้งถั่วเขียวที่มีคุณค่าทางอาหารมาผลิตเป็นขนมปังปราศจากกลูเตน อาจเพิ่มคุณค่าทางอาหารของขนมปัง เป็นทางเลือกหนึ่งของผู้บริโภคที่แพ้กลูเตน ผู้ที่ใส่ใจในสุขภาพ

ขนมปังปราศจากกลูเตนสามารถผลิตได้โดยใช้วัตถุบินหล่ายชนิด เช่น แป้งข้าว สตาร์ฟ มันสำปะหลัง สตาร์ฟมันผั่รัง แป้งจากถั่วนิดต่าง ๆ การใช้แป้งจากถั่ว เช่น แป้งถั่วเหลือง (Soy flour) แป้งถั่วถุงไก่ (Chick pea flour) แป้งคารอบ (Carob flour) มาผลิตขนมปังปราศจากกลูเตน จะช่วยปรับปรุงคุณภาพด้านประสิทธิภาพของขนมปังและเนื้อขนมปังจะนุ่มนิ่มขึ้น (Mitarro, et al., 2012) ทั้งนี้จากการศึกษาการใช้แป้งถั่วเหลืองในผลิตภัณฑ์ขนมปังพบว่า แป้งถั่วเหลืองที่ไม่ผ่านการให้ความร้อนจะมีเอนไซม์ Lipoygenase ที่ช่วยปรับปรุงคุณภาพของขนมปัง โปรตีนในแป้งถั่วเหลืองจะช่วยในการกักเก็บก๊าซและรักษาเสถียรภาพในแป้ง Batter ช่วยในการให้ลักษณะแป้งในระหว่างที่ก๊าซเกิดการขยายตัว ก่อให้เกิดโครงสร้าง อย่างໄວก์ตามการให้ความร้อนกับแป้งถั่วเหลือง อาจทำให้เอนไซม์ถูกทำลาย ทำให้โปรตีนสูญเสียโครงสร้าง และส่งผลต่อคุณภาพของขนมปังปราศจากกลูเตน (Ribotta, et al., 2004) การใช้ถั่วเขียวจากเพิ่ม คุณค่าทางอาหารให้กับขนมปังปราศจากกลูเตนแล้วปริมาณของจะไม่ลดลงที่มีอยู่สูงในถั่วเขียว อาจมีส่วนช่วยปรับปรุง

สมบัติด้านความหนืดของขنمปัง เนื่องจากการกักเก็บก๊าซของแป้ง batter จะเกี่ยวข้องกับการยึดเกาะระหว่างเม็ดสตาร์ทกับน้ำในระหว่างการเกิดเจลาตินซึ่งมีสายของจะไม่หลุดออกมานเป็นโครงร่างตาข่ายส่งผลให้ขنمปังมีปริมาตรที่ดีขึ้น (ภาณุมาศ รุ่งเรืองอารี, 2541) อย่างไรก็ตามยังไม่ได้มีการศึกษาถึงการนำแป้งถัวเขียวมาใช้ในการผลิตขنمปังปราศจากกลูเตน ซึ่งงานวิจัยในครั้งนี้อาจทำให้ทราบถึงคุณสมบัติของแป้งถัวเขียว สำหรับการนำไปใช้เป็นวัตถุดิบสำหรับการผลิตขنمปังปราศจากกลูเตน รวมทั้งศึกษาผลของแป้งถัวเขียวจากการได้รับความร้อน ที่จะส่งผลต่อคุณภาพของขنمปัง

การดัดแปรงแป้ง เป็นกระบวนการที่นำแป้งมาเปลี่ยนแปลงสมบัติทางเคมีหรือทางพิสิกส์ จากเดิมด้วยความร้อน เคนเซน หรือสารเคมีชนิดต่างๆ เพื่อให้เหมาะสมสำหรับการนำไปใช้ในอุตสาหกรรมอาหารต่าง ๆ โดยทั่วไปการดัดแปรงจะมีสองวิธีคือทางเคมีและทางภาพ ลักษณะที่ใช้ในการดัดแปรงจะมีผลต่อสมบัติและการนำไปใช้ในผลิตภัณฑ์อาหาร (พนิดา โนนไหญ, 2549)

แป้งพรีเจลาติน (Pregelatinized flour) เป็นแป้งที่ดัดแปรงทางภาพ โดยด้วยการให้ความร้อน แล้วทำให้แห้งการผลิตแป้งชนิดนี้สามารถทำได้ด้วยเครื่องทำแห้งแบบสูกกลึง (Drum dryer) เครื่องเอกซ์ทรูเดอร์ (Extruder) หรือเครื่องทำแห้งแบบพ่นฝอย (Spray dryer) แป้งพรีเจลาติน มีความสามารถกระจายตัวได้ในน้ำเย็น ให้ความหนืดได้ทันที ดูดซับน้ำได้สูงจึงสามารถนำไปใช้เป็นส่วนผสมในผลิตภัณฑ์อาหาร ได้อย่างมีประสิทธิภาพมากกว่าแป้งดิบ (ดาวรัตน์ นาคลอ และคณะ, 2554, หน้า 13) แป้งพรีเจลาตินสามารถใช้ในผลิตภัณฑ์อาหารได้หลายชนิด เช่น ชูปซอส และในส่วนผสมของขنمอบสำเร็จวูป (Ready to bake mixtures) การใช้แป้งพรีเจลาตินในผลิตภัณฑ์ขนมอบจะช่วยเพิ่มความสามารถในการดูดซับน้ำ ช่วยกักเก็บก๊าซในระหว่างการผสม การหมักโด และช่วยปรับปรุงคุณภาพของผลิตภัณฑ์ (Schober, et al., 2005) แป้งพรีเจลาตินซึ่งจากพืชตระกูลถัว เช่น ถัวเหลืองที่ผลิตจากเครื่องเอกซ์ทรูเดอร์จะมีปริมาณโปรตีนสูง มีความสามารถในการดูดซับน้ำเพิ่มสูงขึ้น (Filli, et al., 2010) อย่างไรก็ตามการศึกษาเกี่ยวกับการผลิตแป้งพรีเจลาตินซึ่งเป็นพืชตระกูลถัวชนิดหนึ่งยังมีจำกัด

การเติมแป้งดัดแปรง เช่น แป้งพรีเจลาติน หรือไฮดรอกอลลอยด์ชนิดต่าง ๆ เช่น กัวกัม แซนแทนกัม และ HPMC จะช่วยปรับปรุงคุณสมบัติของโดย และขنمปังปราศจากกลูเตน Curic, et al., (2007b) ศึกษาการผลิตขنمปังปราศจากกลูเตนจากวัตถุดิบ คือ ข้าวโพดบดหยาบ และแป้งถัวเหลืองที่ผ่านเครื่องเอกซ์ทรูเดอร์ จากการทดลองพบว่าโดยที่ผลิตจากวัตถุดิบที่ผ่านเครื่องเอกซ์ทรูเดอร์ จะมีความสามารถในการดูดซับน้ำเพิ่มมากขึ้น ปริมาตรขنمปังเพิ่มขึ้น และขنمปังจะมีปริมาณโปรตีนมากกว่าร้อยละ 10 เมื่อเทียบกับตัวอย่างควบคุม คือ แป้งข้าวและสตาร์ท

ข้าวโพด ข้นปังที่ผลิตจากข้าวโพดบดหยาบและแป้งถั่วเหลือง ที่อัตราส่วน 75:25 ที่ผ่านกระบวนการเอกซ์ทรูชันที่มีการเติม กัวกัม ในปริมาณร้อยละ 3 จะมีปริมาณมากที่สุดและมีการยอมรับทางประสาทสัมผัสสูงที่สุด

เนื่องจากชุมชนบ้านมะขามเรียง หมู่ที่ 3 ตำบลสะแมง อำเภอชุมแสง จังหวัดนครสวรรค์ ได้เริ่มมีการส่งเสริมการปลูกถั่วเขียวให้กับชุมชนเกษตรกร เพื่อสงขายให้กับโรงงานผลิตถั่วอกในเขต ใกล้เคียง นอกจากการขายในรูปถั่วเขียวสดแล้วผู้ประกอบการยังมีแนวคิดในการนำถั่วเขียวไปแปรรูปเป็นผลิตภัณฑ์อาหารต่าง ๆ ดังนั้นการผลิตแป้งถั่วเขียว แป้งพรีเจลาร์ตีไนซ์จากถั่วเขียว และศึกษาคุณสมบัติการนำไปใช้ทางอาหาร รวมไปถึงการผลิตขนมปังปราศจากกลูเตนจากแป้งถั่วเขียวร่วมกับแป้งข้าวเจ้าที่มีการผลิตมากในประเทศไทยจะเป็นการผลิตผลิตภัณฑ์ชนิดใหม่ที่มีคุณค่าทางอาหาร เป็นทางเลือกหนึ่งของผู้บริโภคที่เป็นโรค Celiac disease เป็นการเพิ่มมูลค่าของถั่วเขียวและเพิ่มรายได้ให้กับเกษตรกรผู้ปลูกถั่วเขียวได้อีกทางหนึ่ง จึงเป็นที่มาของงานวิจัยนี้

จุดมุ่งหมายของการศึกษา

1. ศึกษาสภาวะที่เหมาะสมในการดัดแปลงแป้งถั่วเขียวโดยวิธีการพรีเจลาร์ตีไนซ์ โดยใช้เครื่องทำแห้ง แบบลูกกลิ้ง (Drum dryer) และเครื่องเอกซ์ทรูเดอร์ (Extruder) เพื่อนำมาใช้ในการผลิตขนมปังปราศจากกลูเตน และศึกษาสมบัติทางเคมีและกายภาพของแป้งถั่วเขียวดินและแป้งดัดแปร

2. เพื่อศึกษาระดับการแทนที่แป้งข้าวเจ้าด้วยแป้งถั่วเขียวดัดแปรโดยวิธีการพรีเจลาร์ตีไนซ์ ต่อสมบัติทางรีโอโลยีของโด และคุณภาพของขนมปังปราศจากกลูเตน

3. เพื่อศึกษาผลของปริมาณน้ำ และ HPMC ที่เหมาะสมต่อการผลิตขนมปังปราศจากกลูเตนและศึกษาการเปลี่ยนแปลงคุณภาพของขนมปังในระหว่างการเก็บรักษา

บทที่ 2

เอกสารและงานวิจัยที่เกี่ยวข้อง

ข้าว

ข้าว ตามพจนานุกรมฉบับราชบัณฑิตยสถาน (2525) หมายถึง เมล็ดของพืชพากหญ้า ในวงศ์ Gramineae ข้าวเป็นธัญพืชที่คนทั่วโลกบริโภคเป็นอาหารหลักโดยเฉพาะชาวเอเชีย เป็นแหล่งของคาร์โบไฮเดรต สามารถเจริญได้ดีทั้งในเขตอุ่นและเขตอบอุ่น โดยมีการปลูก พร่องระบายน้ำทั่วโลก แบ่งเป็น 2 ชนิดหลัก คือ ข้าวเจ้า (Non-glutinous rice) มีชื่อทางวิทยาศาสตร์คือ *Oryza sativa* และข้าวเหนียว (Waxy rice) สถาบันวิจัยข้าวนานาชาติ (International Rice Research Institute; IRRI) ได้จำแนกข้าวตามปริมาณอะไมโลส ดังตาราง 1

ตาราง 1 การจัดแบ่งข้าวตามปริมาณอะไมโลส

ประเภทข้าว	อะไมโลส (ร้อยละ)	ลักษณะข้าวสุก
ข้าวเหนียว	-	เหนียวมาก
	อะไมโลสต่ำมาก	นุ่ม-เหนียว
	อะไมโลสต่ำ	นุ่ม-เหนียว
	อะไมโลสกลาง	นุ่ม-เหนียว
ข้าวเจ้า	>25.0	ร่วนแข็ง
	อะไมโลสสูง	

ที่มา: งานขั้น คนเสี้รี, 2537

1. โครงสร้างของเมล็ดข้าว

เมล็ดข้าวประกอบด้วยส่วนที่ห่อหุ้มเมล็ดข้าว เรียกว่า แกลบ (Hull หรือ Husk) และ ส่วนของเนื้อผล (True fruit หรือ Caryopsis grain) สำคัญของเปลือกและเนื้อในเมล็ดมีประมาณ ร้อยละ 28 และ 72 โดยน้ำหนัก ตามลำดับ เมื่อแปรรูปข้าวเปลือกด้วยการขัดสีจะได้เป็นข้าวสาร ที่เฉพาะส่วนของเนื้อในเมล็ด (Starchy endosperm) ซึ่งประกอบด้วยเม็ดสารซึมลักษณะ ห้าเหลี่ยมขนาด 2-10 ไมครอน จับเป็นกลุ่มแน่น ส่วนโปรดีนจะเป็นอนุภาคที่มีลักษณะกลม ขนาด 1-4 ไมครอน แทรกอยู่กับเม็ดสารซึ่งกระจายตัวอย่างอิสระโดยมีเม็ดไขมันอยู่ในบริเวณ

ไกล์เดียงแต่มีในปริมาณน้อยกว่าโปรตีน (อรอนงค์ นัยวิกุล, 2538) ข้าวเต็มเมล็ดจะถูกใช้ในการบริโภคด้วยการหุงสุก ส่วนข้าวหั่นมักจะถูกนำไปแปรรูปเป็นแป้งเพื่อสร้างมูลค่าเพิ่ม

2. องค์ประกอบทางเคมีของเมล็ดข้าว

องค์ประกอบทางเคมีของเนื้อในเมล็ดข้าวส่วนใหญ่จะประกอบไปด้วยคาร์บोไฮเดรต ร้อยละ 90 โดยน้ำหนักแห้ง ส่วนที่เหลือจะเป็นโปรตีนร้อยละ 7 ไขมันร้อยละ 1.5 และสารอาหารอื่น อีกร้อยละ 1.5 โดยน้ำหนักแห้ง คาร์บอไฮเดรตที่มีในเมล็ด ส่วนใหญ่เป็นสตาร์ชซึ่งไม่เลกุล ของสตาร์ชจะประกอบไปด้วยอะไมโลส (Amylose) และอะไมโลเพคติน (Amylopectin) อะไมโลส เป็นโพลิเมอร์เส้นที่ประกอบด้วยกลูโคสประมาณ 2,000 หน่วย ต่อ กันเป็นสายโซ่ยาวแบบขด เป็นเกลียวแบบ Helix เส้นมต่อ กันด้วยพันธะ α -1,4-glucosidic bond และส่วนน้อยเป็น α -1,6-glucosidic bond ในขณะที่อะไมโลเพคตินเป็นโพลิเมอร์เส้นกิ่งของกลูโคส ประกอบด้วยส่วนที่เป็น เส้นตรงของกลูโคสเชื่อมต่อ กันด้วยพันธะ α -1,4-glucosidic bond และส่วนที่เป็นกิ่งก้านสาขา ซึ่งเป็นโพลิเมอร์กลูโคสสายสั้นเชื่อมต่อ กันด้วยพันธะ α -1,6-glucosidic bond ปริมาณอะไมโลส และอะไมโลเพคตินจะขึ้นอยู่กับชนิดของสตาร์ช สตาร์ชจากข้าวเหนียวประกอบด้วยอะไมโลเพคติน เกือบทั้งหมด ส่วนสตาร์ชจากข้าวเจ้ามีปริมาณอะไมโลสอยู่ในช่วงร้อยละ 15-35 โดยน้ำหนัก ขึ้นอยู่กับพันธุ์ข้าว (อรอนงค์ นัยวิกุล, 2538)

ถั่วเขียว

ถั่วเขียว (Mung bean) มีชื่อวิทยาศาสตร์คือ *Vigna radiata L.* 属于豆科 *Leguminosae* มีถิ่นกำเนิดอยู่ที่ประเทศอินเดีย ถั่วเขียวเป็นพืชล้มลุก ลำต้นยาว ในเมืองอ่อนปักษลุมเช่นเดียวกับ ลำต้น ถั่วเขียวมีดอกเกิดเป็นช่อ ชุดดอกเกิดตามมุนใบที่อยู่ตอนบนของลำต้น และที่ปลายยอดของ ลำต้นหรือกิ่งก้าน ชุดดอก ถั่วเขียวมีก้านดอกที่ยาว และมีดอกเกิดเป็นกลุ่ม ที่ปลายช่อ ดอกหนึ่ง ๆ มีกลีบดอกประมาณ 10-25 กลีบ ดอกมีสีม่วง เหลือง และขาว ดอกบาน มีขนาดเส้นผ่าศูนย์กลาง ประมาณ 1 เมตร ฝักถั่วเขียวมีรูปร่างกลมยาว ส่วนปลายอาจโค้งออกเล็กน้อย เมื่อฝักแก่จะมี สีน้ำตาลอ่อนจนถึงน้ำตาลเข้ม ทำให้อวบน้ำลดแตกต่างกันไปตามพันธุ์ ฝักหนึ่ง ๆ มีเมล็ดประมาณ 10-15 เมล็ด (ไชยา เพ็งอุ่น, 2539)

1. ชนิดของถั่วเขียว

ถั่วเขียวสามารถแบ่งออกเป็น 4 ชนิด โดยใช้เปลือกของเมล็ดเป็นหลักในการพิจารณาดังนี้ (ทรงช่าว อินสมพันธ์, 2545)

1.1 ถั่วเขียวธรรมชาติหรือถั่วเขียวเมล็ดด้าน เป็นพันธุ์ที่นิยมใช้ทำถั่วงอกและหุ้นเส้นรวมถึงสูตรอาหารต่างประเทศ

1.2 ถั่วเขียวสีทองหรือถั่วทอง ถั่วเขียวชนิดนี้มีลักษณะลำต้น ใน และฝักเหมือนกับถั่วเขียวเมล็ดด้าน เมล็ดจะมีสีเหลืองทอง ใช้ในการทำขาม เพราะทำให้ผลิตภัณฑ์สีที่สวยงาม

1.3 ถั่วเขียวผิวน้ำ เป็นถั่วเขียวที่มีเมล็ดเป็นมัน มีสีดำเหมาะสำหรับปลูกเพื่อจำหน่ายทางการค้า เนื่องจากให้ผลผลิตสูงและขายได้ราคาย่อมเยา ตลาดต่างประเทศนิยมถั่วเขียวชนิดนี้ ถั่วเขียวผิวน้ำแบ่งออกได้เป็น สองชนิดตามสีของฝักแก่ คือ ชนิดที่เมื่อฝักแก่เปลือกฝักจะเปลี่ยนเป็นสีขาวนวลและสีดำ ได้แก่ พันธุ์อู่ทอง 1 กำแพงแสน 1 กำแพงแสน 2 ชัยนาท 60 ชัยนาท 36 และ มอ 1

1.4 ถั่วเขียวผิดๆ มีลักษณะลำต้น ใน และฝักคล้ายถั่วธรรมชาติแต่มีขั้นตอนกิง ก้านใน และฝัก บางพันธุ์มีลำต้นสูง และยอดดยอด ฝักแก่ไม่แตกง่าย เมล็ดสีดำ นิยมใช้เพาะถั่วงอกเนื่องจากต้นถั่วงอกที่ได้จะค่อนข้างขี้กวน และมีสีขาว หมายความว่า บุบกระเทียม ได้แก่ พันธุ์อู่ทอง 2 และพิชณุโลก 2

2. องค์ประกอบทางเคมีของถั่วเขียว

องค์ประกอบทางเคมีของเมล็ดถั่วเขียวจะมีความแตกต่างกันไปตามชนิดของถั่วเขียว การเพาะปลูกและสภาพแวดล้อมในการเจริญเติบโต ถั่วเขียวจะมีปริมาณของกรดอะมิโน Leucine และกรดอะมิโน Lysine ในปริมาณที่สูง แต่ขาดกรดอะมิโนที่มีกำหนดเป็นองค์ประกอบ เช่น Methionine ปริมาณกรดอะมิโนในเมล็ดถั่วชนิดต่าง ๆ แสดงในตาราง 2

ตาราง 2 องค์ประกอบทางเคมีของถั่วเขียว

องค์ประกอบทางเคมี	หน่วย	คุณค่าทางโภชนาการในส่วนที่กินได้ 100 กรัม
ความชื้น	g	9.05
พลังงาน	kcal	347
พลังงาน	kJ	1,452
โปรตีน	g	23.86
ไขมัน	g	1.15
เต้า	g	3.32
คาร์บอไฮเดรต	g	62.62
เส้นใย	g	16.3
ปริมาณไขมัน		
กรดไขมันอิมตัว	g	0.348
10:0	g	0.000
14:0	g	0.000
16:0	g	0.250
18:0	g	0.071
กรดไขมันไม่อิมตัว	g	0.161
16:1	g	0.000
18:1	g	0.161
20:1	g	0.000
18:2	g	0.357
18:3	g	0.027
คลอเรสเทอรอล	mg	0
ไฟโตสเทอรอล	mg	23

ที่มา: ดัดแปลงจาก USDA National Nutrient Database for Standard Reference, Release 25. (2011)

ถั่วเขียวแต่ละพันธุ์จะมีปริมาณขององค์ประกอบทางเคมีที่แตกต่างกัน ส่วนใหญ่ เมล็ดถั่วเขียวมีแป้งและโปรตีนเป็นองค์ประกอบหลัก องค์ประกอบทางเคมีในของเมล็ดถั่วเขียว พันธุ์ต่าง ๆ แสดงในตาราง 3

ตาราง 3 องค์ประกอบทางเคมีของเมล็ดถั่วเขียวพันธุ์ต่าง ๆ

สายพันธุ์	องค์ประกอบทางเคมี (ร้อยละโดยน้ำหนักแห้ง)				
	สตาร์ช	โปรตีน	เยื่อเย	เด้า	ไขมัน
อุ่ทอง 1	46.36±0.83	27.99±0.41	3.92±0.00	3.94±0.07	0.49±0.15
กำแพงแสน 1	46.10±0.71	23.56±0.31	4.48±0.17	3.94±0.12	0.42±0.07
กำแพงแสน 2	44.93±0.80	29.51±0.51	4.11±0.13	3.95±0.05	0.36±0.02
ขียนนาท 60	44.51±0.97	30.02±0.19	3.70±0.38	3.81±0.00	0.39±0.10
มอ 1	44.66±1.18	28.49±0.31	4.05±0.33	3.99±0.04	0.51±0.04
ขียนนาท 36	44.26±1.13	27.63±0.07	4.10±0.05	3.88±0.04	0.50±0.05

ที่มา: สุนีย์ ใจดินีรานาท และคณะ, 2543

เมล็ดถั่วจะมีแร่ธาตุหลายชนิด เช่น แคลเซียม เหล็ก ทองแดง สังกะสี โพแทสเซียม และแมgnีเซียม ถั่วเขียวจะมีปริมาณแร่ธาตุโพแทสเซียม และแคลเซียมสูง (Meiners, et al., 1976) ปริมาณแร่ธาตุในเมล็ดถั่วชนิดต่างๆ แสดงในตาราง 4

ตาราง 4 ปริมาณแร่ธาตุในเมล็ดถั่วชนิดต่าง ๆ

ชนิด	ปริมาณแร่ธาตุ (มิลลิกรัม/100 กรัม)					
	แคลเซียม	โพแทสเซียม	เหล็ก	แมgnีเซียม	ทองแดง	โซเดียม
ถั่วเหลือง	226	546	8.5	236	2.4	27.9
ถั่วเขียว	124	326	7.3	171	0.97	28
ถั่วเหลือง	69	293	4.8	94	0.66	40.1
ถั่วฝรั่งเศส	260	410	5.8	195	0.95	15

ที่มา: ดัดแปลงจาก Meiners, et al., 1976

เมล็ดถั่วชนิดต่าง ๆ เป็นแหล่งอาหารที่มีวิตามินสูง ได้แก่ ไ tha mine (Thiamine), ไรโบฟลาวิน (Riboflavin) และไนอาซีน (Niacin) โดยในถั่วเขียวจะมีปริมาณของแคโรทีน (Carotene) 94 ไมโครกรัม/100 กรัม, ไ tha mine (Thiamine) 0.47 ไมโครกรัม/100 กรัม, ไรโบฟลาวิน (Riboflavin) 0.27 ไมโครกรัม/100 กรัม และไนอาซีน (Niacin) 2.3 ไมโครกรัม/100 กรัม และเมื่อเปรียบเทียบกับถั่วบางชนิดพบว่าถั่วเขียวมีปริมาณวิตามินที่สูงมาก ปริมาณวิตามินในเมล็ดถั่วชนิดต่าง ๆ แสดงในตาราง 5 (Fordham, et al., 1975)

ตาราง 5 ปริมาณวิตามินในเมล็ดถั่วชนิดต่าง ๆ

ชนิดของถั่ว	ปริมาณวิตามิน (ไมโครกรัม/100 กรัม)			
	แคโรทีน	ไ tha mine	ไรโบฟลาวิน	ไนอาซีน
ถั่วเขียว	94	0.47	0.27	2.3
ถั่วเหลือง	270	0.45	0.2	2.6
ถั่วฝรั่งเศส	30	0.88	0.14	2.2
ถั่วเหลือง	426	0.73	0.39	3.2

ที่มา: ดัดแปลงจาก Fordham, et al., 1975

แป้งและองค์ประกอบของแป้ง

แป้ง มีคาร์บอไฮเดรตเป็นองค์ประกอบหลักและมีองค์ประกอบอื่น เช่น โปรตีน ไขมัน เกลือแร่ ในปริมาณน้อย แป้งฟลาร์ (Flour) เป็นแป้งที่ผลิตจากวัตถุดิบชนิดต่าง ๆ เช่น ข้าวพืชพืชตระกูลถั่ว โดยทำการบดแป้งด้วยเครื่องบดและร่อนผ่านตะแกรงที่มีขนาดต่างกัน แป้งฟลาร์ จะเป็นแป้งที่มีองค์ประกอบทางเคมีทั้งหมดเหลืออยู่ ส่วน แป้งสตาร์ช (Starch) จะเป็นแป้งที่มีการสกัดส่วนของ โปรตีน ไขมัน ไฟเบอร์ ออกเจนเหลือเฉพาะส่วนของสตาร์ช (กล้านรงค์ ศรีรุต และเกื้อฤทธิ์ ปิยะ Kommavong, 2546)

...แป้งเป็นโพลิเมอร์ของกลูโคส ประกอบด้วยหน่วยของน้ำตาลกลูโคสma เชื่อมต่อกันด้วยพันธะกลูโคซิດิก (Glucosidic linkage) ที่คาร์บอนตำแหน่งที่ 1 ทางปลายของสายโพลิเมอร์ที่มีหน่วยกลูโคสที่มีหมุ่แอลดีไฮด์ (Aldehyde group) เรียกว่า ปลายรีดิวชิง (Reducing end group) แป้งประกอบด้วยโพลิเมอร์ของกลูโคส 2 ชนิด

คือ อะไมโลสและอะไมโลเพคตินทางด้านเคมี แบ่งจากแหล่งที่ต่างกันจะมี อัตราส่วนของอะไมโลสและอะไมโลเพคตินที่แตกต่างกันทำให้คุณสมบัติของแป้งมีความ แตกต่างกัน

(กล้านรงค์ ศรีรอด และเกื้อภูล ปิยะจอมขวัญ, 2546)

ตาราง 6 สมบัติที่สำคัญของอะไมโลสและอะไมโลเพคติน

คุณสมบัติ	อะไมโลส	อะไมโลเพคติน
ลักษณะโครงสร้าง	สารประกอบของน้ำตาลglucose เกาเกันเป็นเส้นตรง	สารประกอบของน้ำตาลglucose เกาเกันเป็นกิ่งก้าน
พันธะ	α -1,4	α -1,4 และ α -1,6
ขนาด	200-2,000 หน่วย	มากกว่า 10,000 หน่วย
การละลายน้ำ	ละลายได้น้อย	ละลายได้ดี
การจับตัว	เมื่อให้ความร้อนและทึบไห จะจับตัวเป็นเจลและแผ่นแข็ง	ไม่จับตัวเป็นแผ่นแข็ง

ที่มา: Van Beynum and Roels, 1985

1. องค์ประกอบหลักภายในเม็ดแป้ง ได้แก่

1.1 อะไมโลส (Amylose) เป็นโพลิเมอร์สายตรงของน้ำตาล D-glucose ประมาณ 200-2,000 หน่วยเชื่อมต่อกันด้วยพันธะ α (1,4) glucosidic linkage มีน้ำหนักโมเลกุลประมาณ 6,500 ถึง 160,000 Dalton อย่างไรก็ตามในธรรมชาติจะพบอะไมโลสที่มีกิ่งก้านอยู่บ้างแต่จะพบ 'ไม่มาก' อะไมโลสในแป้งแต่ละชนิดจะมีน้ำหนักโมเลกุลที่แตกต่างกันออกไป และแป้งแต่ละชนิด มีขนาดโมเลกุลหรือระดับการเกิดโพลิเมอร์ (Degree of polymerization, DP) ของอะไมโลส ที่แตกต่างกัน แป้งที่มีโมเลกุลของอะไมโลสสายยาวจะมีแนวโน้มของการคืนตัวหรือการเกิดรีโทรเกรเดชัน (Retrogradation) ต่ำกว่าอะไมโลสสายสั้น (กล้านรงค์ ศรีรอด และเกื้อภูล ปิยะจอมขวัญ, 2546)

1.2 อะไมโลเพคติน (Amylopectin) เป็นโมเลกุลของน้ำตาล D-glucose เชื่อมต่อกัน จัดเรียงตัวเป็นสายตรงและสายโซ่โดยพันธะไกลโคไซด์ 2 แบบ คือส่วนที่เป็นพันธะสายตรง เป็นพันธะ α (1,4) glucosidic linkage และส่วนที่เป็นสายโซ่จะเชื่อมต่อด้วยพันธะ

$\alpha(1,6)$ glucosidic linkage อะไมโลเพคตินมีน้ำหนักโมเลกุลประมาณ 1,000 เท่าของอะไมโลส คือ ประมาณ 10^7 ถึง 10^9 Dalton อะไมโลเพคตินจะมีอัตราการคืนตัวต่ำเนื่องจากมีโครงสร้างที่เป็นสายโซ่ สารละลายแห้งที่มีปริมาณของอะไมโลเพคตินสูงจะใสและมีความหนืดสูงเมื่อได้รับความร้อน สัดส่วนของอะไมโลสและอะไมโลเพคตินจะขึ้นอยู่กับชนิดของสตาร์ช โดยสตาร์ชจากข้าวเจ้าจะมีปริมาณอะไมโลสอยู่ร้อยละ 15-35 โดยน้ำหนักทั้งนี้ขึ้นอยู่กับพันธุ์ข้าว สำหรับสตาร์ชจากข้าวเหนียวจะประกอบด้วยอะไมโลเพคตินเกือบทั้งหมด (อรอนเมค์ นัยวิกฤต, 2538)

1.3 สารตัวกลาง (Intermediate material) สารตัวกลางมีเพียงส่วนน้อยในแป้ง บางชนิด องค์ประกอบนี้มีน้ำหนักโมเลกุลน้อยกว่าอะไมโลเพคตินแต่ใหญ่กว่าอะไมโลส (Rupp and Schwartz, 1988) ปริมาณและโครงสร้างของสารตัวกลางขึ้นอยู่กับชนิดและอายุการเก็บเกี่ยวของพืช (Guilbot and Mercier, 1985) ปริมาณหรือสัดส่วนของอะไมโลส อะไมโลเพคติน และสารตัวกลางในเม็ดแป้งไม่คงที่ขึ้นอยู่กับสภาพการเพาะปลูก

2. ส่วนประกอบอื่น ๆ ภายในเม็ดแป้ง

ส่วนประกอบอื่นที่มีผลต่อลักษณะและคุณสมบัติของเม็ดแป้งที่สำคัญ ได้แก่ โปรตีน ไขมัน เผ้า และฟอสฟอรัส ซึ่งมีปริมาณแตกต่างกันในแป้งแต่ละชนิด

2.1 โปรตีน ภายในแป้งจะมีส่วนประกอบของโปรตีโนยูต้ากว่าร้อยละ 1 โดยโปรตีนจะเกาอยู่บริเวณพื้นผิวของเม็ดแป้ง ทำให้เกิดประจุบันพื้นผิวเม็ดแป้ง มีผลต่อการกระจายของเม็ดแป้ง ทำให้แป้งมีอัตราการถูกดูดซึมน้ำ กำลังการพองตัว และยัตราชาระเกิดเจลาตินซึ่งเปลี่ยนแปลงไป ทำให้เกิดปฏิกิริยาเมลลาร์ด (Maillard reaction) ระหว่างการทำปฏิกิริยาของกรดอะมิโนกับน้ำตาลรีดิวชั่ง ทำให้สี และกลิ่นรสของผลิตภัณฑ์จะเปลี่ยนแปลงไป

2.2 ไขมัน แป้งโดยส่วนใหญ่จะมีองค์ประกอบของไขมันอยู่ต่ำกว่าร้อยละ 1 ชนิดของไขมันที่มีอยู่ในแป้งมีผลต่อกลุ่มสมบัติของแป้ง เช่น มีผลต่อความหนืดของแป้ง ในการวิเคราะห์ คุณสมบัติของแป้งมักทำการจำจัดไขมันออกจากแป้ง โดยสกัดด้วยตัวทำละลายหรือเยื่อย่องสลายโดยใช้เอนไซม์ ไขมันที่รวมอยู่ในเม็ดแป้งจะมีผลต่อลักษณะและคุณสมบัติของแป้งโดยจะลดความสามารถในการพองตัว การละลาย และการจับตัวกันน้ำของแป้ง นอกจากนี้กรดไขมันในชิมตัวซึ่งอยู่บริเวณพื้นผิวเม็ดแป้งจะทำให้เกิดกลิ่นหืน เนื่องมาจากเกิดปฏิกิริยาออกซิเดชัน

2.3 เผ้า แป้งโดยทั่วไปมีองค์ประกอบของสารอนินทรีย์ เช่น โซเดียม โพแทสเซียม แมกนีเซียม และแคลเซียม สามารถวิเคราะห์หาปริมาณได้จากส่วนที่เหลือหรือเผ้าจากการเผาไหม้โดยสมบูรณ์

2.4 พอสฟอรัส แป้งส่วนใหญ่มีองค์ประกอบของฟอสฟอรัสมอยู่น้อยกว่าร้อยละ 0.1 พอสฟอรัสภายในแป้งอยู่ในรูปฟอสเฟตเที่ยมกับหมู่ไฮดรอกซิลที่คาร์บอนตำแหน่งที่ 3 และ 6 ของหน่วยกลูโคส

3. แป้งข้าวเจ้า

แป้งข้าวเจ้า สามารถผลิตได้จาก ข้าวหัก หรือปลายข้าว วิธีการผลิตแป้งข้าว มี 3 วิธี ได้แก่ วิธีไม่แห้ง วิธีไม่น้ำ และวิธีไม่ผสม สำหรับวิธีการไม่น้ำเป็นวิธีการที่นิยมใช้ในการผลิตแป้งข้าว แป้งข้าวที่ผลิตจากวิธีไม่แห้งทำได้โดยการนำข้าวมาห่อนแยกสิ่งปลอมปนออก จากนั้นนำไปบด ด้วยเครื่องโม่ให้ละเอียดเป็นแป้ง ร่อนผ่านตะแกรงร่อนแป้ง สำหรับวิธีการไม่เปียก ผลิตโดยนำเมล็ดข้าว เช่น ข้าวนิ่ม บดพร้อมน้ำ แยกแป้งออกจากน้ำ การผสมน้ำมากจะมีส่วนช่วย ชะล้างแป้ง และโปรดักต์น้ำมากได้มาก นำแป้งมาทำให้แห้ง บดให้ละเอียด และผ่านตะแกรงร่อน วิธีการไม่แบบผสม จะเริ่มจากการนำเมล็ดข้าว เช่น ข้าวนิ่มคล้ายกับการไม่เปียก จากนั้นนำข้าวไปอบเพื่อลดความชื้นลง แล้วนำมานำบดให้ละเอียด และนำไปร่อนผ่านตะแกรงร่อนแป้งจนได้แป้งที่มีความละเอียดสม่ำเสมอ กัน (งานชื่น คง stere, 2537) แป้งที่ได้จากการไม่แห้งจะมีคุณภาพดี เพราะเมล็ดแป้งค่อนข้างหยาบ สิ่งเจือปนอยู่สูงกว่า อายุการเก็บรักษาสั้น เกิดกลิ่นหืน และถูกทำลายจากแมลงได้ง่าย (พนิดา วงศ์ปรีดี, 2552)

แป้งข้าวเจ้าจะมีลักษณะเป็นผงสีขาว มีขนาดของเม็ดแป้ง 3-5 ไมครอน รูปร่างแบบมีหลาຍเหลี่ยม อุดมภูมิการเกิดเจลาติน 70 องศาเซลเซียส มีปริมาณอะไนโตรส์ร้อยละ 17-28 โดยน้ำหนักแห้ง มีปริมาณโปรตีน เด้า และไขมันร้อยละ 7-8, 0.5 และ 0.8 ตามลำดับ (กล้านรงค์ ศรีรุต และเกื้อฤทธิ์ ปิยะจอมขวัญ, 2546)

สำนักงานมาตรฐานผลิตภัณฑ์อุตสาหกรรม (2529) ได้กำหนดมาตรฐานผลิตภัณฑ์อุตสาหกรรมแป้งข้าวเจ้า โดยแป้งข้าวเจ้าต้องเป็นผงละเอียด ไม่เจบกันเป็นก้อน มีสีขาวหรือสีขาวนวล มีกลิ่นตามธรรมชาติของแป้งข้าว ไม่มีกลิ่นหืน อัน เหม็นเปรี้ยว หรือกลิ่นไม่พึงประสงค์อื่น ๆ และปราศจากสิ่งปลอมปน ความเป็นกรด-ด่างของแป้ง 5.0-7.0 มีปริมาณสตาร์ชและอะไนโตรส์ในน้อยกว่าร้อยละ 85 และ 15 โดยน้ำหนักแห้ง ตามลำดับ ปริมาณความชื้นและเด้า ไม่เกินร้อยละ 13 และ 0.5 โดยน้ำหนักแห้ง ตามลำดับ

แป้งข้าวเจ้าสามารถแป้งตามปริมาณของอะไนโตรส์ออกเป็น 4 ชนิด (Juliano, 1984)
ดังนี้

1. แป้งข้าวเจ้าจากแป้งที่มีอะไนโตรส์ต่ำมาก มีปริมาณอะไนโตรส์ร้อยละ 0-2 โดยน้ำหนักแห้ง นิยมน้ำมาน้ำใช้ในการทำขนมหวานและน้ำสลัด

2. แป้งข้าวเจ้าจากแป้งที่มีอะไรมอลสต์ มีปริมาณอะไรมอลสร้อยละ 9-20 โดยน้ำหนักแห้ง นิยมใช้ในผลิตภัณฑ์อาหารสำหรับเด็ก อาหารเข้าและขนมปัง
3. แป้งข้าวเจ้าจากแป้งที่มีอะไรมอลสปานกลาง มีปริมาณอะไรมอล 20-25 โดยน้ำหนักแห้งในประเทศไทยเป็นสินคามิใช้ในการทำเด็กที่ต้องมีการหมักและซุปกระป่อง
4. แป้งข้าวเจ้าจากแป้งที่มีอะไรมอลสูง มีปริมาณอะไรมอลสูงกว่าร้อยละ 25 โดยน้ำหนักแห้ง นิยมนำมาใช้ในการทำเส้นก๋วยเตี๋ยว

4. แป้งถั่วเขียว

แป้งถั่วเขียว (Mung bean flour) สามารถผลิตได้โดยใช้ถั่วเขียวเมล็ดแห้ง การผลิตทำได้ 3 วิธี คือ วิธีไม้แห้ง วิธีไม่น้ำ และไม่ผสาน กรรมวิธีการผลิตคล้ายกับการผลิตแป้งข้าว แป้งถั่วเขียวนิยมน้ำมันผลิตเป็นผลิตภัณฑ์อาหารเส้น เช่น วุ้นเส้น ชาหิริม (อรอนงค์ นัยวิฤต และ ลินดา พงศ์พาสุก, 2536) มาตรฐานผลิตภัณฑ์อุตสาหกรรมแป้งถั่วเขียว กำหนดให้แป้งถั่วเขียว ต้องมีสีขาวนวลหรือสีขาวอมเขียว ไม่มีกลิ่นอับหรือกลิ่นที่ไม่พึงประสงค์ ปราศจากสิ่งแปรกป扰乱 ที่มองเห็นด้วยตาเปล่า ความชื้นไม่เกินร้อยละ 13 และค่าความเป็นกรด-ด่าง 4.0-8.0

Prabhavat (1987) ศึกษาแป้งสาหร่ายจากถั่วเขียว (Mung bean starch) พบว่า เม็ดแป้งส่วนใหญ่มีรูปร่างเป็นวงรี ผิวเม็ดแป้งจะเรียบ มีขนาดประมาณ 18-25 ไมครอน มีปริมาณโปรตีน ในมัน เต้าและเยื่อไยร้อยละ 25.40 2.52 3.16 และ 1.01 โดยน้ำหนักแห้ง ตามลำดับ

สาหร่ายถั่วเขียวมี Degree of polymerization ประมาณ 12-13 มีอุณหภูมิการเกิดเจลาติโน่ 54.6-60.2 องศาเซลเซียส (Kim, et al., 2007) ปริมาณผลึก (Relative crystallinity) ของสาหร่ายถั่วเขียวจะประมาณร้อยละ 29.0-31.7 จากการตรวจสอบโครงสร้างของเม็ดสาหร่ายโดยใช้เทคนิครентgen-X-ray diffraction พบว่าเม็ดสาหร่ายจะมีโครงสร้างผลึกแบบ C-type มวลโมเลกุลของอะไรมอลเพคตินในสาหร่ายถั่วเขียวจะเท่ากับ $260-289 \times 10^6$ g/mol พลังงานที่ใช้ (ΔH) ในการเกิดเจลาติโน่ เช่น และรีโทรเกรเดชันเท่ากับ 8.9-10.3 และ 4.6-6.3 Jg⁻¹ ตามลำดับ (Kaur, et al., 2011) แป้งถั่วเขียวมีกำลังการพองตัวและค่าการละลายได้ค่อนข้างต่ำ อาจเป็นผลมาจากการปริมาณอะไรมอลสูง (ร้อยละ 30-32) ทำให้ไปขัดขวางการพองตัวของเม็ดแป้ง แป้งถั่วเขียวมีความคงตัวสูงและมีความหนืดคล้ายคลึงกันทุกพันธุ์ สามารถย่อยด้วยเอนไซม์ alpha-amylase และ glucoamylase ได้ดี (สุนีย์ ใจดี วนิภา แสงคง, 2543)

Chang, et al. (2006) ศึกษาผลของการใช้กรดแลคติกและ Steeping liquors ที่เตรียมจาก NaOH, Na₂SO₃ และน้ำกลัน ที่มีผลต่อสมบัติทางเคมีภysis ของสาหร่ายถั่วเขียว ทางการค้า ผลการศึกษาพบว่าการใช้สารต่างชนิดกันจะมีผลต่อปริมาณอะไรมอล โดยถั่วเขียว

ที่ผ่านการแข่งขันทดสอบร้อยละ 30.9 และถ้วนเขียวที่แข่ง NaOH, Na_2SO_3 และน้ำกลั่น มีปริมาณของไมโลส์ร้อยละ 30.9, 31.0 และ 31.1 ตามลำดับ

ແປ່ງດັດແປຣ

1. จุดประสงค์ในการดัดแปลง

แป้งดิบแต่ละชนิดจะมีคุณสมบัติเฉพาะตัวและอาจมีข้อจำกัดสำหรับการใช้ในอุตสาหกรรม แป้งฟลาวร์หรือแป้งสตาร์ชดัดแปร (Modified flour or modified starch) จะเป็นการนำแป้งดิบมาเปลี่ยนแปลงสมบัติทางเคมีหรือทางกายภาพ เพื่อปรับปรุงคุณสมบัติของแป้งดิบให้เหมาะสมสำหรับการนำไปใช้ในอุตสาหกรรมอาหาร แป้งดัดแปร (Modified starch) ตามความหมายของมาตรฐานผลิตภัณฑ์อุตสาหกรรม มอก.1073-2535 หมายถึง ผลิตภัณฑ์ที่ได้จากการนำแป้ง (Starch) เป็น แป้งมันสำปะหลัง แป้งข้าวโพด แป้งมันฝรั่ง แป้งสาลี มาเปลี่ยนสมบัติทางเคมี และ/หรือพิสิเก็ตจากเดิมด้วยความร้อน เอนไซม์ และ/หรือสารเคมีชนิดต่าง ๆ เพื่อให้เหมาะสมกับการนำไปใช้ในอุตสาหกรรมอาหารต่าง ๆ ซึ่งคุณลักษณะเกณฑ์ที่สำคัญต่อ ของแป้งดัดแปรแต่ละประเภทจะต้องเป็นไปตามข้อกำหนดมาตรฐานผลิตภัณฑ์อุตสาหกรรมแป้งดัดแปรสำหรับอุตสาหกรรมอาหาร มอก.1073-2535 (กล้านรงค์ ศรีรอด และเกื้อฤทธิ์ ปิยะจอมขวัญ,
2546)

แบ่งดิบโดยทั่วไปมีสมบัติบางประการที่อาจไม่เหมาะสมกับการผลิตในอุตสาหกรรม เช่น มีช่วงความหนืดที่แคน ลักษณะเนื้อสัมผัสไม่ดี มีความทนทานต่อแรงเฉือนในกระบวนการผลิต หรือความคงทนต่อสภาวะการผลิตต่ำ การดัดแปลงเป็นการปรับปรุงคุณสมบัติบางประการ ของแป้งดิบ เพื่อให้ได้แป้งที่มีคุณสมบัติที่เหมาะสมต่อการนำไปใช้ในอุตสาหกรรมอาหาร เช่น ทำให้มีลักษณะเนื้อสัมผัสดีขึ้น คงทนต่อสภาวะการผลิตได้ดี (Light, 1990) ทำให้การเกิดเจลาตินайซ์ (Gelatinization) การคืนตัว (Retrogradation) และการสูญเสียน้ำของเจลลดลง มีความคงตัว ต่อการแข็งและ การละลาย (Freeze-thaw) เพิ่มขึ้น ลักษณะของเนื้อเจลดีขึ้น มีคุณสมบัติ การเป็นกากเพิ่มขึ้น มีคุณสมบัติไม่ชอบน้ำ (Hydrophobic) หรือความสามารถในการผสมกับตัวทำละลายอื่น ๆ เพิ่มขึ้น (Bemiller, 1997)

2. ประเภทของแป้งดัดประ

ແປ່ງດົບສາມາດນຳມາດັດແປ່ວໄດ້ໜ່າຍວິທີ ກລັກຄອງຮົກ ສໍາຮອດ ແລະເກົ່າກຸລ ປີຍະຈອນຂວັງ
(2546) "ໄດ້ອືບຍາຍຄື່ງແປ່ງດັດແປ່ວນິດຕ່າງ ຊັ້ນນີ້"

2.1 การดัดแปลงทางเคมี (Chemical modification) เป็นการทำปฏิกิริยาเคมีระหว่างเ萍กับสารเคมีชนิดต่าง ๆ โดยทำที่อุณหภูมิต่ำกว่าอุณหภูมิในการเกิดเจลациนซ์

(45-50 องศาเซลเซียส) โดยการทำปฏิกิริยาจะเกิดที่บริเวณผิวของเม็ดแป้ง การดัดแปลงทางเคมี แป้งออกเป็น

การเกิดอนุพันธ์ (Derivatization)

2.1.1 การแทนที่สารในโมเลกุลเดียวของแป้ง (Monostarch substitution)

ได้แก่ ปฏิกิริยาเอสเทอเรติฟิเคชัน เช่น แป้งแอซิเตต (Starch acetate) ปฏิกิริยาเอสเทอเรติฟิเคชัน เช่น แป้งไฮดรอกซีเอทิล (Hydroxyethyl starch)

2.1.2 การแทนที่โมเลกุลที่มีหมู่ฟังก์ชันมากกว่า 1 หมู่ เช่น แป้งครอสลิง (Crosslinked starch)

การลดขนาดโมเลกุลแป้งโดยกรด (Acid thinning) เช่น แป้งย่อยด้วยกรด (Acid modified starch) หรือ Thin-boiling starch

เดกซ์ทรินเจชัน (Dextrinization) เป็นการลดขนาดหรือเปลี่ยนการจับเกาะ (Depolymerization/Transglycosylation) โดยใช้ความร้อน หรือความร้อนกับกรด เช่น มอลโตเดกซ์ตริน (Maltodextrin)

ออกซิเดชัน (Oxidation) เป็นการทำปฏิกิริยาระหว่างแป้งกับสารออกไซด์ เช่น โซเดียมไออกไซด์ แคลเซียมไออกไซด์ ทำให้เกิดการฟอกสีและลดขนาดของโมเลกุล ของแป้งโดยปฏิกิริยาออกซิเดชัน (Bleaching และ Depolymerization) เช่น แป้งออกไซด์ (Oxidized starch)

การย่อยสลาย (Hydrolysis) โดยเอนไซม์หรือกรด เพื่อย่อยสลายแป้งให้เป็น น้ำตาลที่ไม่โมเลกุลเล็ก เช่น Enzymatically modified starch

Witczak, et al. (2012) ทำการศึกษาอิทธิพลของสตาร์ชดัดแปลงทางเคมี (Acetylated Distarch Adipate; ADA, Hydroxypropyl Distarch Phosphate; HDP) และแป้งข้าวโพดอะไมโลสูง (HACS) ที่มีผลต่อสมบัติทางรีโซลูชันและสมบัติทางความร้อนของโดขของสตาร์ชข้าวโพดและมันฝรั่ง ร่วมกับการใช้เพคตินและกัวกัมจากการทดลองพบว่าโดยที่เติมแป้งดัดแปลงให้เจลที่มีลักษณะเป็น Weak gel ค่า Storage modulus (G') จะขึ้นอยู่กับความถี่ และค่า $\tan \delta = G'/G''$ จะเปลี่ยนไปจาก 0.32 เป็น 0.49 การดัดแปลงด้วย HDP จะมีผลต่อสมบัติต้าน Viscoelastic ของโดโดยแป้งดัดแปลงมีสมบัติทางด้าน Viscoelastic ลดลง และยังมีผลต่อ Retardation time และ Zero shear viscosity การใช้แป้งดัดแปลง (HDP และ ADA) สำหรับ การเตรียมโดยจะไม่มีผลกระแทกกับสมบัติทางด้านความหนืด (Pasting characteristics)

2.2 การดัดแปลงกายภาพ (Physical modification) การดัดแปลงกายภาพ เป็นการทำให้เปลี่ยนแปลงคุณสมบัติโดยใช้ความร้อน ความชื้น ความดัน แรงดึงดูด ซึ่งปัจจัยดังกล่าวทำให้เกิดการเปลี่ยนแปลงโครงสร้างทางกายภาพของแป้ง การเปลี่ยนแปลงเหล่านี้จะมีผลทำให้แป้งดัดแปลงที่ได้มีสมบัติเชิงหน้าที่และคุณค่าทางโภชนาการเปลี่ยนไปซึ่งจะนำไปใช้ประโยชน์ในอุตสาหกรรมอาหารและอุตสาหกรรมอื่น ๆ (ล้านแก้ว พงษ์สุณ, 2554) ชนิดของการดัดแปลงกายภาพ ได้แก่

เจลาติไนเซชั่น (Gelatinization) เป็นการให้ความร้อนแป้งจนผ่านขั้นตอนของเจลาติไนเซชั่นแล้วทำแห้งทันที เช่น แป้งพรีเจลาติไนซ์ (Pregelatinization starch)

แป้งละลายน้ำเย็น (Granular cold water soluble starch) เป็นการแปรรูปจนได้แป้งที่สามารถละลายได้ในน้ำเย็น โดยไม่ต้องผ่านขั้นตอนการเกิดเจลาติไนเซชั่น

การลดขนาดเม็ดแป้งโดยทางกล การทำให้เม็ดแป้งแตกโดยทางกลจะได้เม็ดแป้งขนาดเล็กกว่าปกติ

Annealing เป็นการให้ความร้อนในขณะที่เม็ดแป้งอยู่ในอุณหภูมิต่ำกว่าจุดเจลาติไนเซชั่น

การแปรรูปด้วยความร้อนชื้น (Heat moisture treatment) เป็นการให้ความร้อนสูงกว่าจุดเจลาติไนเซชั่นแก่แป้งในขณะที่แป้งมีความชื้นต่ำ

3. แป้งพรีเจลาติไนซ์

แป้งพรีเจลาติไนซ์หรือแป้งพรีเจล (Pregelatinized flour) เป็นแป้งดัดแปลงทางกายภาพ โดยให้ความร้อนแก่แป้ง ทำให้แป้งสุกหรือเกิดเจลาติไนซ์ (Gelatinization) หลังจากนั้นนำแป้งไปทำให้แห้งด้วยเครื่องทำแห้ง เช่น เครื่องทำแห้งแบบถูกกลิ้ง (Drum dryer) เครื่องทำแห้งแบบพ่นฝอย (Spray dryer) หรือเครื่องเอกซ์ตรูเดอร์ (Extruder) และบดให้ละเอียด ได้แป้งดัดแปลงที่สามารถกระจายตัวได้ในน้ำเย็น ให้ความหนืดได้ทันที และไม่เกิดเจล หมายสำหรับใช้กับอาหารที่ไม่ต้องใช้ความร้อน (กล้านรงค์ ศรีรุต แลกเก็งกูร์ ปิยะจอมขวัญ, 2546)

3.1 การผลิตแป้งพรีเจลาติไนซ์

การผลิตแป้งพรีเจลาติไนซ์สามารถใช้ได้ในทั้งแป้งดิบและแป้งดัดแปลงเคมี ชนิดต่างๆ โดยป้อนน้ำแป้งที่มีลักษณะเป็นแป้งเมี่ยง มีปริมาณของแข็งประมาณร้อยละ 42-44 ผ่านเครื่องทำแห้ง ความร้อนจากเครื่องทำแห้งจะทำให้น้ำระเหยออกไป จากนั้นจะได้แป้งที่มีลักษณะเป็นแผ่นบางๆ คล้ายถุงลม ผิวน้ำถูกกลิ้งและต้องมีการควบคุมให้แป้งมีความสม่ำเสมอเพื่อให้ได้ผลิตภัณฑ์ที่มีคุณภาพเท่ากัน

เครื่องทำแห้งที่ใช้ในการผลิตแป้งพรีเจลาร์ตินซ์ มีหลายชนิด เครื่องทำแห้ง-แบบลูกกลิ้ง เป็นวิธีที่นิยมมากที่สุด เนื่องจากมีอัตราการผลิตที่สูง เครื่องทำแห้งแบบลูกกลิ้ง (Drum dryer) ประกอบด้วยลูกกลิ้งเดียว หรือลูกกลิ้งคู่ มักทำด้วยเหล็กปولادสนิม ผิวเรียบภายใน กลางได้รับความร้อนจากด้านใน ด้วยไอน้ำ หรือไฟฟ้า อุณหภูมิของผิวลูกกลิ้งจะประมาณ 120-170 องศาเซลเซียส ความร้อนจะทำให้แป้งเกิดเจลาร์ตินซ์ อาหารที่แห้งจะเคลือบผิวลูกกลิ้ง เป็นพิล์มนบางถูกழดออกโดยใบมีด ซึ่งจะสัมผัสกับผิวของลูกกลิ้งอย่างสม่ำเสมอ ก่อนที่ลูกกลิ้ง จะหมุนครบรอบ หลังจากนั้นอาหารแห้งที่มีลักษณะเป็นแผ่นบาง จะถูกนำไปบด ปัจจัยที่มีผลต่อ คุณภาพของแป้งพรีเจลาร์ตินซ์ ได้แก่ อัตราการหมุนและระยะเวลาห่างของลูกกลิ้ง (Powell, 1967) ตัวอย่างผลิตภัณฑ์ที่มีการใช้เครื่องทำแห้งแบบลูกกลิ้งในการอบแห้งชนิดต่างๆ ได้แก่ มันฝรั่งแผ่น ผลิตภัณฑ์ที่ทำให้สุกแล้วจากอัญมีช์ กาหน้าตาล ชูปแห้ง และเนื้อผลไม้บางชนิด ใจก ไข่แดง โปรตีน หวานน

กระบวนการเอกซ์ทรูชัน (Extrusion processing) เป็นกระบวนการที่มีการให้ ความร้อน การนวด การเจือน และการขึ้นรูป เครื่องเอกซ์ทรูเดอร์ (Extruder) สามารถ ให้ความร้อนได้ถึง 200 องศาเซลเซียส ภายใต้ความดันและใช้ระยะเวลาสั้น จึงคัดเป็นกระบวนการ ที่ใช้อุณหภูมิสูงเวลาสั้น (High temperature short time) การผลิตแป้งพรีเจลาร์ตินซ์ด้วย เครื่องเอกซ์ทรูเดอร์ เป็นกระบวนการที่ผสมผสานกันระหว่างแรงกลและแรงเฉือน ในระหว่าง การผลิตสถาาร์ชจะเกิดเจลาร์ตินซ์ โดยการเปลี่ยนแปลงของสถาาร์ชในเครื่องเอกซ์ทรูเดอร์จะเริ่มจาก น้ำจะแพร่เข้าสู่เม็ดสถาาร์ชในระหว่างการเคลื่อนที่ของวัตถุดิบภายในเครื่องเอกซ์ทรูเดอร์ เมื่อเข้าสู่ ช่วงที่มีแรงเฉือนเม็ดสถาาร์ชจะถูกบีบอัด ทำให้เสียรูปพร้อมกับเริ่มหลอมและสูญเสียโครงสร้าง ความเป็นผลึก ณ จุดนี้จะมีความดันเพิ่มขึ้น พลังงานกลจะแพร่กระจายทำให้โมเลกุลของสถาาร์ช แตกออก และในกระบวนการจะมีแรงเฉือนร่วมกับการใช้ความร้อนทำให้สถาาร์ชเกิดการเจลาร์ตินซ์ (Gelatinization) สภาวะที่ใช้ในกระบวนการเอกซ์ทรูชัน จะทำให้เกิดความเสียหายกับเม็ดสถาาร์ช ในปริมาณที่แตกต่างกัน สงผลให้ความสามารถในการดูดซึมน้ำของเม็ดสถาาร์ชเพิ่มขึ้นตามสภาวะ ที่ใช้ในกระบวนการที่ใช้ผลิต (Mariotti, et al., 2013)

3.2 เจลาร์ตินชัน (Gelatinization) ของแป้ง

เจลาร์ตินชันของแป้งเกิดขึ้นเมื่อน้ำแป้งได้รับความร้อน โมเลกุลภายใน เม็ดแป้งจะเกิดการเปลี่ยนแปลง พันธะไอกลูโคไซด์ในโมเลกุลจะถูกทำลาย สายของอะไมโนโลส และอะไมโนโลเพกติน คล้ายตัวออกทำให้ดูดซึมน้ำได้มากขึ้น เกิดการพองตัว (Swelling) ของเม็ดแป้ง เมื่อเม็ดแป้งมีการพองตัวอย่างเต็มที่จะทำให้สูญเสียลักษณะเปริพิงเจนส์ ซึ่งบวกกับลักษณะ

การจัดเรียงตัวของโมเลกุลภายในเม็ดสตาร์ชอย่างมีระเบียบ ช่วงอุณหภูมิที่แป้งมีการดูดน้ำและพองตัวขึ้น เรียกว่าช่วงอุณหภูมนี้ว่า Gelatinization temperature การวิเคราะห์การเกิดเจลาติในเชื้ันของเม็ดแป้งสามารถใช้เครื่องมือในการตรวจสอบได้หลายชนิด

เครื่อง Differential Scanning Calorimeter (DSC) เป็นเครื่องมือชนิดหนึ่งที่นิยมใช้วิเคราะห์หาช่วงอุณหภูมิการเกิดการเจลาติในเชื้ันของแป้ง ผลจากการวิเคราะห์ด้วยเครื่อง DSC จะได้ค่าอุณหภูมิเริ่มเกิดการเจลาติในเชื้ัน (Onset temperature, T_o) อุณหภูมิที่สตาร์ชดูดความร้อนขณะเจลาติในช่วงสูงสุด (Peak temperature, T_p) อุณหภูมิสุดท้ายที่สตาร์ชเกิดการเจลาติในช่วงสูงสุด (Conclusion temperature, T_c) ในหน่วยองศาเซลเซียส และค่าพลังงานเอนthalpy ของการเจลาติในช่วงสูงสุด (ΔH) เมื่อให้ความร้อนกับน้ำแป้งได้รับระดับหนึ่งจนทำให้เม็ดแป้งดูดซับน้ำและพองตัว จะเกิดการเปลี่ยนแปลงของความหนืดของน้ำแป้งอย่างรวดเร็ว อุณหภูมิที่เริ่มเปลี่ยนแปลงความหนืดเรียกว่า Pasting temperature ความหนืดจะเพิ่มขึ้นจนถึงความหนืดสูงสุด (Peak viscosity) จากนั้นอาจลดลงหรือคงที่ขึ้นกับแป้งแต่ละชนิด วิธีตรวจวัดความหนืดสามารถทำได้โดยใช้เครื่องวิเคราะห์ความหนืดแบบรวดเร็ว (Rapid Visco Analyzer, RVA) เป็นเครื่องมือสำหรับวัดความหนืดขณะที่ให้ความร้อน สามารถเปลี่ยนแปลงอุณหภูมิของตัวอย่างในระหว่างการวิเคราะห์ เป็นเครื่องมือที่วิเคราะห์ได้อย่างแม่นยำและรวดเร็วสามารถตรวจสอบลักษณะการเปลี่ยนแปลงความหนืด (Pasting curve) ได้ในระยะเวลาสั้น ใช้ตัวอย่างในการวิเคราะห์ปริมาณน้ำอย่างเนื่องจากมีกลไกการส่งผ่านความร้อนที่ดี (กล้านรงค์ ศรีรอด และเกื้อกูล ปีะจอมขวัญ, 2546)

3.3 คุณสมบัติของแป้งฟรีเจลาติในช่วง

แป้งฟรีเจลาติในช่วงสามารถละลายและกระจายตัวได้ในน้ำเย็นหรือที่อุณหภูมิห้องไม่เกิดเป็นเจลสามารถดูดซับน้ำได้มากกว่าแป้งดิน ใช้เป็นสารยึดเกาะในอาหารประเภทเนื้อเพื่อช่วยรักษาความชุ่มชื้นและอุ่มน้ำในผลิตภัณฑ์ ใช้ในผลิตภัณฑ์ขนมเค้กเพื่อช่วยในการดูดซับน้ำและเก็บฟองอากาศได้ดีขึ้น

Curic, et al. (2007a) ศึกษาสภาวะที่เหมาะสมในการใช้เครื่องเอกสาร์ทูเดอร์ในการผลิตข้าวโพดบดหยาบ (Cornmeal) เพื่อนำไปใช้เป็นวัตถุดิบในผลิตภัณฑ์เบเกอรี่ ทำการทดลองโดยแปรผันอุณหภูมิของเครื่องที่ 111-159 องศาเซลเซียส ปริมาณความชื้นในช่วงร้อยละ 12.10-24.77 และ Screw speed 160-460 รอบต่อนาที ทำการวิเคราะห์ค่าความชื้น Expansion Index (EI), Water Absorption Index (WAI) ของ cornmeal และค่าความหนืดของแป้งสาลีและแป้งสาลีที่ผสม Cornmeal จากผลการทดลองพบว่าสภาวะที่เหมาะสมที่ใช้ในการผลิต

Cornmeal ที่มีคุณสมบัติทางเคมีกายภาพที่ดี จะมีความชื้นร้อยละ 21.21; อุณหภูมิของเครื่องเท่ากับ 145 องศาเซลเซียส และ Screw speed เท่ากับ 263.5 รอบต่อนาที การเติม Cornmeal ที่ผ่านเครื่องเขย่าทูเดอร์จะช่วยเพิ่มการดูดซึมน้ำและความหนืด โดยความสามารถในการดูดซึมน้ำจะเพิ่มขึ้นเมื่ออุณหภูมิเพิ่มสูงขึ้น และความสามารถในการดูดซึมน้ำจะมีความสัมพันธ์กับความหนืดเนื่องจากเม็ดสตาร์ทที่เสียหายในระหว่างกระบวนการจะดูดซึมน้ำและพองตัวทำให้เกิดความหนืดเพิ่มขึ้นและจะช่วยเพิ่มความสามารถในการจับน้ำในระหว่างทำการผสมและหมักโดยชี้เป็นคุณสมบัติที่ดีในการผลิตขนมปัง

ขนมปัง

ขนมปัง (Bread) เป็นอาหารหลักของชาวยุโรปและมีความนิยมรับประทานเพิ่มมากขึ้น ในประเทศไทย โดยมีส่วนผสมหลัก คือ แป้งสาลี และน้ำ เมื่อนำแป้งสาลีผสมกับน้ำจะทำเกิดโดยมีลักษณะยืดหยุ่น ในระหว่างการหมักโดย ยีสต์จะเปลี่ยนน้ำตาลให้เป็นก๊าซคาร์บอนไดออกไซด์ กลูтенจะทำหน้าที่ในการกักเก็บก๊าซ ช่วยทำให้เกิดเป็นโครงร่างของผลิตภัณฑ์ และทำให้ขนมปัง มีปริมาตรที่ดี

1. วัตถุดินในการทำขนมปัง

จิตชนา แจ่มเมฆ และอรอนงค์ นัยวิฤต (2541) ได้กล่าวถึงวัตถุดินที่ใช้ในการทำผลิตภัณฑ์ขนมปังดังนี้

1.1 แป้งสาลี แป้งสาลีที่ทำขนมปังเป็นแป้งที่มีโปรตีนสูง (ร้อยละ 12-14) แป้งจะมีสีขาวนวล มีความชื้นไม่เกินร้อยละ 14 มีความสามารถดูดซึมน้ำได้ดี (ร้อยละ 60-65) หน้าที่ของแป้งสาลีในขนมปัง คือเป็นโครงร่างของผลิตภัณฑ์ เมื่อผ่านกระบวนการจะเกิดเป็นยางเหนียว ๆ ยืดหยุ่นได้ เรียกว่า กลูтен ซึ่งกลูтенเป็นตัวอุ้มก๊าซที่เกิดระหว่างการหมักไว้ ทำให้ได้ชี้นฟู เมื่อนำไปอบกลูтенจะขยายตัวเพราะถูกความร้อนทำให้เกิดโครงร่างของขนมปัง

1.2 น้ำ เป็นองค์ประกอบหลักที่สำคัญในการทำขนมปัง มีผลต่อลักษณะของโดยตรง เพราะน้ำจะทำหน้าที่เปลี่ยนสภาพของโปรตีนในแป้งให้เป็นก๊าซ ช่วยละลายเกลือ น้ำตาล และส่วนผสมอื่น ๆ ที่ละลายได้ให้กระจายอย่างทั่วถึง ช่วยควบคุมอุณหภูมิของโดยและช่วยควบคุมความหนืดของโดย

1.3 ยีสต์ เป็นจุลินทรีย์ที่มีขนาดเล็ก ยีสต์จะทำให้เกิดการหมัก เปลี่ยนน้ำตาลให้เป็นก๊าซคาร์บอนไดออกไซด์ ทำให้ขนมปังขึ้นฟู ให้กลิ่นรสที่เกิดจากหมัก ยีสต์ที่ใช้ทำขนมปังมีทั้งยีสต์สดและยีสต์แห้ง แต่ที่นิยมใช้มาก คือ ยีสต์แห้งชนิดผงสำเร็จรูปซึ่งสามารถผสมรวมกับแป้งได้ทันทีทำให้สามารถลดเวลาในการผสม

1.4 นำatal ให้ความหวาน ให้กลิ่นรส ช่วยให้สีแก่ผลิตภัณฑ์ และใช้เป็นอาหาร ของยีสต์ในระหว่างกระบวนการหมัก นำatalที่ให้มีหลายชนิด ได้แก่ นำatalทรายขาว นำatalทรายแดง และนำatalไอซิ่ง

1.5 เกลือ ทำให้ขนมปังมีกลิ่นรสที่ดี ช่วยควบคุมการทำงานของยีสต์ เพิ่มความแข็งแรง แก่กําลังและช่วยให้เกิดสีของเปลือกนอกของขนมปัง เกลือที่ใช้มักเป็นเกลือป่นละเอียดที่ใช้ ประกอบอาหารทั่วไป

1.6 ไนมัน ทำหน้าที่ให้ความชื่นฟุ่มและให้กลิ่นรสที่ดี ช่วยเก็บกักกําลังที่เกิดขึ้น ทำให้ขนมปังมีปริมาณเพิ่มขึ้น และมีเนื้อสัมผัสที่ดี นอกจากนี้ยังช่วยหล่อลิ่นกําลังให้มี การขยายตัวได้ดี ทำให้ขนมปังมีปริมาณเพิ่มขึ้น ไนมันที่นิยมใช้ในการทำขนมปัง คือ เนยขาว ทั้งนี้ สามารถใช้เนยสดหรือมาการีนแทนเนยขาวได้บางส่วนเพื่อช่วยเพิ่มกลิ่นรส

1.7 นม สามารถใช้ได้ทั้งนมสดและนมผง นมสดจะทำหน้าที่รวมส่วนผสมอื่น ๆ เข้าด้วยกัน ส่วนนมผงจะช่วยให้ส่วนผสมของแป้งขนมปังไม่เหลวเกินไป นมจะช่วยให้เกิดสี และกลิ่นรสแก่ขนมปัง

1.8 ไข่ นิยมใช้เป็นไข่ไก่ มีส่วนช่วยให้ขนมปังนุ่ม มีเนื้อสัมผัสที่ดี ไม่แห้งแข็ง มีสีสวยงาม นิยมใช้เป็นส่วนผสมในขนมปังกึ่งหวานและขนมปังหวาน

2. ชนิดของขนมปัง

ขนมปังแบ่งออกเป็น 4 ชนิด ตามปริมาณไนมันในสูตร (จิตธนฯ แจ่มเมฆ และ อรอนงค์ นัยวิกฤต, 2541) ดังนี้

2.1 ขนมปังฝรั่งเศส ขนมปังอิตาเลียน และขนมปังเวียนนา ขนมปังทั้งสามชนิดเป็น ขนมปังที่มีปริมาณไนมันน้อย ประมาณร้อยละ 0-3 และมีปริมาณนำatalน้อย ประมาณร้อยละ 0-2 แป้งที่ใช้ทำขนมปังชนิดนี้ต้องใช้แป้งที่มีปริมาณกําลังสูง เพื่อทนต่อการหมักได้นาน ทนต่อการพักตัว และการขึ้นฟูของดोในระยะแรกของการอบ ผิวด้านนอกแข็ง กรอบ เมื่อค่อนข้างแห้ง และมีรสจีด

2.2 ขนมปังปอนด์หัวกะโหลกและขนมปังแซนด์วิช เป็นขนมปังที่มีปริมาณไนมันน้อย ประมาณร้อยละ 3-6 และมีปริมาณนำatalปานกลาง ประมาณร้อยละ 4-8 เนื้อขนมปังมีลักษณะ ละเอียด นุ่ม รสจีด ขนมปังชนิดนี้มักจะใช้ในการทำแซนด์วิชชนิดต่าง ๆ

2.3 ขนมปังเนื้อคุ่ม เป็นขนมปังที่มีปริมาณไนมันสูง ประมาณร้อยละ 6-12 และมี ปริมาณนำatalสูงประมาณร้อยละ 10-14 อาจมีการเติมไข่ลงไป เนื้อของขนมปังมีลักษณะ นุ่ม เนื้อละเอียด และค่อนข้างหวาน ตัวอย่างเช่น ขนมปังไส้กรอก ขนมปังซอฟบัน ขนมปัง แยมเบอร์เกอร์

2.4 ขั้นมปังหวาน เป็นขั้นมปังที่มีปริมาณไขมันและน้ำตาลสูงร้อยละ 12-24 และร้อยละ 16-22 ตามลำดับ เนื้อของขั้นมปังนุ่ม ละเอียด รสชาติหวานมันมากกว่าขั้นมปังกึ่งหวาน เพราะมีปริมาณน้ำตาล นม ไขมันสูงกว่า ตัวอย่างเช่น ขั้นมปังไส้หมูหยอง ขั้นมปังไส้มะพร้าว ขั้นมปังไส้ถูกเกด

3. ขั้นตอนการผลิตขนมปัง

จิตธนา แจ่มเมฆ และอรอนงค์ นัยวิกฤต (2541) กล่าวถึงขั้นตอนการผลิตขนมปังดังนี้

3.1 ขั้นตอนการผสมหรือการวนัดแป้ง เป็นขั้นตอนที่ทำให้ส่วนผสมคลุกเคล้าเป็นเนื้อเดียวกัน ขั้นตอนนี้จะทำให้แป้งผสมกันจนเป็นโดที่มีลักษณะเรียบเนียน สามารถดึงเป็นแผ่นบาง ๆ ได้โดยแป้งไม่ขาดออกจากกัน ขั้นตอนการผสมมีรายวิธี เช่น การผสมแบบขั้นตอนเดียว เป็นวิธีการทำขนมปังโดยนำส่วนผสมทั้งหมดในสูตรมาผสมรวมกันจนได้โดที่มีลักษณะเนื้อเนียนไม่ติดมือ การผสมแบบสปองจ์-โด เป็นวิธีการทำขนมปังโดยการเตรียมสองขั้นตอน ได้แก่ ขั้นตอน “สปองจ์” และขั้นตอน “โด” ขั้นตอนสปองจ์ จะเป็นการเตรียมส่วนผสม ซึ่งประกอบด้วยแป้ง ยีสต์ และน้ำ ทำการหมักก้อนแป้งประมาณ 2-3 ชั่วโมง หลังจากนั้นนำส่วนผสมที่เหลือในสูตรได้แก่ แป้งที่เหลือ น้ำตาล น้ำนมผง ไข่ไก่ เกลือ และกลิ่นรสต่าง ๆ ใส่ลงในสปองจ์ แป้งที่ได้ในขั้นตอนนี้เรียกว่า โด การผสมแบบทุ่นเวลา เป็นวิธีการทำขนมปังที่ใช้ระยะเวลาอันอยู่ โดยการเติมสารเติมคุณภาพลงในส่วนผสมแป้งเพื่อทำให้สามารถหมักโดได้เร็วขึ้น

3.2 ขั้นตอนการหมักโด เป็นขั้นตอนที่ยีสต์จะใช้น้ำตาลในสูตร เปลี่ยนเป็นก๊าซคาร์บอนไดออกไซด์และแอลกอฮอล์ ก๊าซคาร์บอนไดออกไซด์ที่เกิดขึ้นจะเข้าไปแทนที่ฟองอากาศที่เกิดขึ้นในระหว่างการตีและทำให้โดขึ้นฟู การหมักโดขึ้นอยู่กับปริมาณยีสต์ อุณหภูมิ และระยะเวลาการหมัก อุณหภูมิที่ใช้ในการหมักโดยประมาณ 30-35 องศาเซลเซียส ความชื้นสัมพัทธ์ประมาณร้อยละ 70-78 ระยะเวลาในการหมักขึ้นอยู่กับวิธีการผสม สำหรับในประเทศไทยที่มีอากาศร้อน สามารถหมักโดได้ที่อุณหภูมิห้องและอาจควบคุมความชื้นสัมพัทธ์ โดยใช้ผ้าขาวบางชุบน้ำบีดหมาด ๆ ปิดคลุมไว้ หรือใช้ภาชนะที่มีฝาครอบปิด เพื่อป้องกันไม่ให้ผิวโดสัมผัสกับอากาศจนแห้ง แต่ถ้าหมักในฤดูหนาว อาจจะขึ้นช้าอาจต้องใส่ยีสต์เพิ่มเล็กน้อยหรือนำไปไว้ในตู้หมักโดยชีงควบคุมอุณหภูมิ และความชื้นเพื่อป้องกันไม่ให้ก้อนโดแห้ง

3.3 ขั้นตอนการวนัดไล่อากาศ เป็นขั้นตอนการนำโดมานวดไล่อากาศ เพื่อทำให้ก้อนโดมีอุณหภูมิที่เท่ากันทั่งก้อน การไล่ก๊าซคาร์บอนไดออกไซด์ขนาดใหญ่ออกจากก้อนโด ทำให้ยีสต์ทำงานได้ดีขึ้น และพร้อมที่จะขยายตัวใหม่ ทำให้โครงร่างแป้งที่ได้ใหม่แข็งแรงขึ้น

3.4 ขั้นตอนการหมักหรือการพักแป้งครั้งสุดท้าย เมื่อมันหรือทำรูปร่างขึ้นมาปัง ลงพิมพ์ จะนำไปให้หมักให้เข็นเต็มที่ ที่อุณหภูมิประมาณ 35-37 องศาเซลเซียส หรืออุณหภูมิห้อง โดยทั่วไปใช้เวลาในการหมักครั้งสุดท้ายประมาณ 1 ชั่วโมง

3.5 ขั้นตอนการอบและการบรรจุผลิตภัณฑ์ อุณหภูมิที่เหมาะสมกับการอบประมาณ 180-250 องศาเซลเซียส เวลาที่ใช้ขึ้นอยู่กับชนิดและขนาดของขนมปัง รวมทั้งขนาดและชนิดของเตาอบ เมื่อขนมปังที่อบสุกแล้วควรนำออกจากพิมพ์หรือถาดทันที แล้วนำมาระบายพักให้เย็นบนตะแกรง ก่อนนำไปใส่บรรจุภัณฑ์

กรณี ลิมปีสุต (2540) ได้ศึกษาการใช้แป้งถั่วเชี่ยวผสมแป้งสาลีในผลิตภัณฑ์ขนมอบ เมื่อนำแป้งถั่วเชี่ยวผสมกับแป้งสาลีมาศึกษาสมบัติทางหน้าที่พบว่าความสามารถในการดูดซึมน้ำและน้ำมันเพิ่มขึ้น ความสามารถในการเกิดเจลดลง ความสามารถในการเกิดอิมัลชั่น ความสามารถในการเกิดฟองและความคงตัวของฟองเพิ่มขึ้นเมื่อเปรียบเทียบกับแป้งสาลี เมื่อนำมาศึกษาสมบัติทางด้านความหนืด พบร่วมกับความหนืดสูงสุด ค่า Setback และค่า Consistency ลดลง เมื่อนำมาทำผลิตภัณฑ์คูกกี้แล้วทดสอบทางประสานสัมผัส พบร่วมกับลักษณะทั่วไปและเนื้อสัมผัสมไม่แตกต่างจากแป้งสาลี แต่ในด้านสีและกลิ่นรสพบว่ามีสีเหลืองและกลิ่นของถั่วเพิ่มขึ้น ที่ระดับการผสมร้อยละ 10 ของแป้งถั่วเชี่ยว ผู้บริโภคไม่สามารถรับไม่แตกต่างจากการใช้แป้งสาลี

4. โดและสมบัติทางรีโซโลยีของโด (Dough and dough rheology)

โดเกิดจากการวนดูดผสมระหว่างแป้งสาลีกับน้ำ โดยจะมีคุณสมบัติที่มีความยืดหยุ่น (Viscoelastic properties) ที่อุณหภูมิห้อง (Hsu, Lu, and Huang, 2000) ลักษณะดังกล่าวถือเป็นลักษณะเฉพาะของแป้งสาลี โดยแป้งชนิดอื่นไม่สามารถทดแทนแป้งสาลีได้ หากมีการใช้แป้งชนิดอื่นทดแทนจะส่งผลต่อสมบัติทางรีโซโลยีของโด ซึ่งจะมีผลต่อการดูดซึมน้ำ การเกิดเจลดและความหนืด (Dobraszczyk and Morgenstern, 2003)

สมบัติทางรีโซโลยี ใช้อธินายถึงการไหลและการเสียรูปของวัสดุเมื่อมีแรงมากจะทำซึ่งซึ่งให้เห็นถึงโครงสร้างและพฤติกรรมของวัสดุนั้น ๆ โดยการเปลี่ยนแปลงรูปร่าง วัสดุที่มีลักษณะโครงสร้างเป็นของเหลว จะแสดงออกมานิรูปของความหนืด (Viscous) หรือแรงต้านทานต่อการไหล และวัสดุที่มีโครงสร้างเป็นของแข็งจะแสดงให้เห็นถึงความยืดหยุ่น (Elastic) หรือการกลับคืนรูปร่าง (Dobraszczyk and Morgenstern, 2003)

สมบัติทางรีโซโลยีสามารถนำมาใช้ในการตรวจสอบคุณภาพของโดขนมปัง เช่น การวิเคราะห์เนื้อสัมผัส (Texture analysis) เป็นการวัดคุณลักษณะการยืดของโดและกสูตรโดยวัดเป็นค่าแรงตึง扯งตุ้นและระยะทางที่ดึงยืดจนขาด (กล้านรงค์ ศรีรอด และเกื้อยุคล ปิยะจอมรวง,

2546) การทดสอบแบบ Oscillatory (Steffe, 1996) เป็นการศึกษาการตอบสนองต่อความเค้น หรือความเครียดภายในให้การเคลื่อนที่แบบสั่น (harmonic oscillation) ของวัสดุ viscoelastic โดยวัดเป็นค่า Storage modulus (G'), Loss modulus (G'') และ Loss tangent ($\tan \delta$) (ปารีดา ขุนแอก, 2550) วัสดุจะถูกให้ความเค้นหรือความเครียดแปรผันตามช่วงเวลา การทดสอบแบบ oscillatory นิยมใช้ทดสอบเพื่อธิบายโครงสร้างและพฤติกรรมของวัสดุประเภท Viscoelastic ในอาหารโดยเฉพาะผลิตภัณฑ์จากแป้งและสามารถธิบายการเกิดกลไกต่าง ๆ ของแป้งได้ เช่น การเกิดการเจลตัวในแป้ง การพองตัวความแข็งแรงของเจล การจับตัวเป็นก้อนของโปรตีน และการสลายตัวของโปรตีน เป็นต้น (สวัสดิ์ จันทร์เทพธิมาภูล, 2551) Dynamic oscillatory เป็นวิธีการทดสอบสมบัติต้านความยืดหยุ่น หรือ Elastic (G' , Shear storage modulus) รวมถึง สมบัติต้านความหนืดหรือ Viscous (G'' , Shear loss modulus) ของวัสดุ มักจะแสดงผลในการทดสอบสมบัติทางรีโซลูชันเป็น Linear viscoelastic region เพราะเมื่อให้ความเครียดในระดับที่ไม่สูงมาก (<1%) จะไม่ส่งผลกระทบต่อการเปลี่ยนแปลงของความเค้นของวัสดุ และการทดสอบด้วยวิธี Dynamic oscillatory จะไม่ทำให้ตัวอย่างเสียรูปร่าง การทดสอบด้วยวิธี Dynamic tests หลังจากได้ linear region จะสามารถวิเคราะห์สมบัติทางรีโซลูชันของตัวอย่างได้หลายปัจจัย เช่น อุณหภูมิ ความเครียดหรือความถี่ในระดับที่แตกต่างกัน ในการนี้ของการทดสอบ Frequency sweep หากค่า G' มีค่ามากกว่าค่า G'' จะบ่งบอกถึงพฤติกรรมวิสโคอิเลสติก (Viscoelastic behavior) ที่มีแสดงลักษณะของโดเป็นของแป้ง (Upadhyay, Ghosal, and Mehra, 2012; Amemiya and Menjivar, 1992)

Lazaridou, et al. (2007) ศึกษาพฤติกรรมต้านความหนืดของโดขنمปังจากแป้งข้าวเจ้า ที่มีการเติมไฮโดรคออลอยด์ชนิดต่าง ๆ ในปริมาณร้อยละ 2 (w/w) ของน้ำหนักแป้ง-ข้าวเจ้า พบร่วมกับ ที่ความเครียด (Strain) ระดับร้อยละ 0.1 จะทำให้ค่า Storage modulus (G') ของตัวอย่างลดลง และค่า G' จะลดลงมากขึ้น เมื่อเพิ่มระดับความเครียดเป็นร้อยละ 1 แสดงให้เห็นว่าโครงสร้างของโดขنمปังจะถูกทำลายเมื่อระดับความเครียดเพิ่มสูงมากขึ้น

5. การเปลี่ยนแปลงระหว่างการเก็บรักษา (Staling)

ขنمปังมีการเปลี่ยนแปลงในระหว่างการเก็บรักษาทำให้การยอมรับของผู้บริโภคลดลง โดยเกิดการสูญเสียคุณภาพทางประสาทสัมผัส เช่น สูญเสียกลิ่นรส หรือ ทางกายภาพ เช่น สูญเสียความนุ่มนวลของเนื้อขنمปัง เนื้อขنمปังจะมีความแห้ง และร่วน โดยปกติขnmปังจะมีคุณภาพที่ดีที่สุดหลังจากที่นำออกจากเตาอบประมาณ 2-3 ชั่วโมงและเมื่อเก็บขnmปังไว้จะเกิด การเปลี่ยนแปลงของเปลือกขnmปัง (Crust) โดยเกิดการเคลื่อนย้ายของน้ำจากเนื้อของขnmปัง (Crumb) ไปยังเปลือกนอก (Czuchajowska and Pomeranz, 1989; Ribotta and Le Bail, 2007)

ทำให้เปลี่ยนออกนิ่มและเนียนขึ้น ซึ่งการเปลี่ยนแปลงนี้เกิดขึ้นควบคู่ไปกับการระเหยของกลินส์ ออกสูญเสียอกก้อนขนมปัง (Eliasson and Larson, 1993) การเปลี่ยนแปลงของเนื้อขนมปัง (Crumb staling) อาจเกิดจากการสูญเสียความชื้นและเกิดจากปฏิกิริยาทางเคมี เช่น เกิดการคืนตัว (Retrogradation) ของสารซัลฟูโรนัตที่แห้งและกระด้างขึ้น (He and Hosene, 1991) ในช่วงแรกของการเก็บรักษาการคืนตัวจะเกิดจากอะไมโลส เนื่องจากโครงสร้างที่เป็นสาย ตรงจะทำให้การจับตัวด้วยพันธุ์ไซโตรเจนระหว่างโมเลกุลเกิดขึ้นได้อย่างรวดเร็ว เมื่อเก็บรักษา เป็นระยะเวลานานขึ้นจะเกิดการจับตัวกันของสายโซ่อ่อนไม่โดยเด็ดขาด ทำให้ขนมปังมีลักษณะเนื้อ สัมผัสที่แข็งขึ้น

โรคแพ้กูลuten

กูลuten เป็นส่วนประกอบของโปรตีนที่พบในแป้งสาลี ข้าวไรซ์ และข้าวบาร์เลย์ ซึ่งนิยมใช้ เป็นส่วนประกอบของผลิตภัณฑ์ขนมอย่าง กูลuten จัดเป็นอาหารที่ก่อภูมิแพ้ (Food allergen) ในปัจจุบันทางการแพทย์ได้ค้นพบว่ามีผู้ป่วยที่เป็นโรคเนื่องจากการแพ้กูลuten (Celiac disease) เป็นจำนวนมากขึ้น โดยอาการแพ้กูลuten มีหลากหลายรูปแบบ ผู้ป่วยที่เป็นโรคนี้จะมีน้ำหนัก ที่ลดลง เหื่องซึม ท้องบวม ปวดท้อง ท้องอืด เปื่อยอาหาร คลื่นไส้ อาเจียน มีแผลพุพองในปาก ปลายประสาทอักเสบ ภาวะการเคลื่อนไหวที่ไม่ประสานกัน โลหิตจาง เกิดภาวะมีบุตรยาก แท้งง่าย กระดูกพรุน ปวดกระดูกและข้อต่อ มีผื่น คันที่ผิวนม ผิวคล้ำ ผมร่วง อาการดังกล่าวอาจเกิดขึ้นใน ผู้ป่วยเพียงอาการเดียวหรือเกิดขึ้นพร้อมกันหลายอาการ สาเหตุเนื่องจากลำไส้เล็กส่วนบนเกิด การอักเสบ (Mendoza, 2005; Wieser and Koehler, 2008)

การรักษาโรคที่เกิดจากการแพ้กูลuten สามารถทำได้โดยการหลีกเลี่ยงอาหารที่อาจทำให้ เกิดการแพ้ นอกจากนี้การวินิจฉัยโรคยังคงประสบเนื่องจากคนส่วนใหญ่จะวินิจฉัยด้วยตัวเองว่า แพ้อาหารที่ทำจากข้าวสาลี โรคแพ้กูลuten มีสาเหตุจากร่างกายสร้างภูมิคุ้มกันต้านตนเอง ทำให้เกิด ความผิดปกติของลำไส้ ระบบการดูดซึมอาหารจะผิดปกติ ทำให้ไม่สามารถนำสารอาหารไปใช้ ประโยชน์ได้ สาเหตุเกิดจากการแพ้เกิดจาก โปรลามิน (Prolamins) ซึ่งเป็นโปรตีนชนิดหนึ่ง พบใน ข้าวสาลี ข้าวไรซ์ และข้าวบาร์เลย์ คุณสมบัติของ Prolamins คือสามารถละลายได้ในอุ่นน้ำ ร้อยละ 40-70 โปรลามินในข้าวสาลีจะมีชื่อเรียกเฉพาะว่า ไกลอดิน (Gliadins) (Gallagher, 2004; Mendoza, 2005) เมื่อรับประทานอาหารที่มีกูลutenเข้าไป ระบบภูมิคุ้มกันจะสร้างสารเข้มข้นมา ต่อต้านซึ่งจะไปทำลายส่วนที่ใช้ดูดซึมสารอาหารในลำไส้เล็ก ทำให้ร่างกายดูดซึมสารอาหารเข้าสู่ กระเพาะเดือดไม่ได้ (Pruessner, 1998) อาหารที่ปราศจากกูลuten ไม่ควรมีกูลutenเกิน 20 ppm (Gallagher, 2004)

ขนมปังปราศจากกลูเตน

ขนมปังปราศจากกลูเตน เป็นขนมปังที่ไม่มีการใช้แป้งสาลีในส่วนผสม แต่จะใช้แป้งจากธัญพืชชนิดอื่นทดแทน เช่น แป้งข้าวเจ้า แป้งข้าวโพด แป้งมันเทศ หรือสาหร่ายมันสำปะหลัง เป็นต้น โดยแป้งข้าวเจ้าจะเป็นแป้งที่มีการนำไปใช้ในการนำไปผลิตเป็นผลิตภัณฑ์อาหารปราศจากกลูเตนมากที่สุด เนื่องจากแป้งข้าวเจ้าไม่มีสีไม่มีกลิ่น และรสชาติ รวมทั้งไม่ก่อให้เกิดการแพ้อาหารได้ ไม่ก็ตาม เมื่อนำไปผลิตเป็นผลิตภัณฑ์ขนมปังปราศจากกลูเตน ขนมปังยังมีคุณภาพที่ไม่ดี มีลักษณะปวกๆ เนื้อสัมผัส และกลิ่นที่ไม่น่าพอกใจ ทั้งนี้เนื่องจากขาดกลูเตน ซึ่งเป็นโปรตีนที่มีส่วนช่วยในการเกิดโครงสร้างของผลิตภัณฑ์ การเติมไฮโดรคออลอยด์หรือโปรตีนลงไปสามารถช่วยปรับปรุงคุณภาพของผลิตภัณฑ์ให้ดีขึ้น และมีลักษณะใกล้เคียงกับผลิตภัณฑ์จากแป้งสาลี ปัจจุบันมีการผลิตขนมปังปราศจากกลูเตนทางการค้า โดยใช้วัตถุดิน徭สาร Mariotti, et al. (2013) ทำการผลิตขนมปังจากแป้งบัควีท โดยใช้แป้งบัควีท 2 ชนิด คือ Dehulled buckwheat flour (DBF) และ Puffed buckwheat flour (PBF) และศึกษาผลของการใช้ HPMC ต่อคุณภาพของขนมปัง จากการทดลองพบว่าในการทำขนมปังสามารถเติมแป้งบัควีทในสูตรได้มากถึงร้อยละ 40 การใช้ HPMC จะช่วยลดการแพร่องน้ำและลดการสูญเสียน้ำของเนื้อขนมปัง การเติมแป้งบัควีทจะช่วยปรับปรุงทั้งลักษณะเนื้อสัมผัสและคุณค่าทางโภชนาการของขนมปังปราศจากกลูเตน

Nishita and Bean (1979) ได้ศึกษาคุณสมบัติทางเคมีกายภาพของแป้งข้าวเจ้า ต่างพันธุ์ที่มีผลต่อกุณภาพของขนมปังที่ผลิตจากแป้งข้าวเจ้า พบว่าข้าวเจ้าพันธุ์ที่มีปริมาณอะไมโลสต่ำ และมีอุณหภูมิแป้งสุก (Gelatinization temperature) ต่ำ คือ มีอะไมโลสต่ำกว่าร้อยละ 20 และอุณหภูมิการเกิดเจลาตินสูงกว่า 65 องศาเซลเซียส เมื่อนำมาผลิตขนมปังจะได้ผลิตภัณฑ์ที่มีเนื้อสัมผัสถดี

ภาณุมาศ รุ่งเรืองอารี (2541) ศึกษาการใช้แป้งข้าวเจ้าทางการค้ามาผลิตขนมปังและผลิตแป้งข้าวเจ้าพรีเจลาตินีซ์ด้วยเครื่องทำแท่งแบบลูกกลิ้งเบรี่ยนเทียบกับการใช้เอกซ์ทรูชันที่ระดับความชื้นของแป้ง 3 ระดับ เพื่อแทนที่ข้าวเจ้าบางส่วนในการผลิตขนมปังและเสริมโปรตีนเพื่อเพิ่มคุณภาพของขนมปัง โดยใช้โปรตีนถั่วเหลืองสกัดร่วมกับโปรตีนข้าวเจ้า ทดลองแทนที่แป้งข้าวเจ้าด้วยแป้งพรีเจลาตินีซ์ พร้อมกับแปรปริมาณน้ำในสูตรขนมปัง พบว่าแป้งพรีเจลาตินีซ์ที่ได้จากเครื่องเอกซ์ทรูเดอร์ ที่ระดับความชื้นของแป้งข้าวเจ้าร้อยละ 14.5 แทนที่แป้งข้าวเจ้าในสูตรร้อยละ 20 เติมน้ำร้อยละ 100 และเติม E4M ร้อยละ 2.0 จะได้รับการยอมรับมากที่สุด การเสริมโปรตีนในขนมปังจากแป้งข้าวเจ้าพบว่าการใช้โปรตีนถั่วเหลืองสกัดร้อยละ 5 ร่วมกับโปรตีน

จากข้าวเจ้า ร้อยละ 10 แทนที่แป้งข้าวเจ้าเป็นระดับที่เหมาะสม โดยใช้ปริมาณน้ำร้อยละ 110 ขั้นบังที่ได้จะมีเนื้อในนุ่ม เหนียว เปลือกแห้งร่วน และก้อนขนมปังไม่มีรอยแตก

Sivaramakrishnan, et al. (2004) ศึกษาสมบัติทางรีโซลี่ของโดยของขนมปังจากแป้งข้าวเจ้า โดยวิเคราะห์สมบัติทางรีโซลี่ของโดยจากแป้งข้าว 2 สายพันธุ์ ร่วมกับการใช้ hydroxylpropyl methylcellulose (HPMC) เปรียบเทียบกับโดยจากแป้งข้าวสาลี เพื่อหาความเหมาะสมต่อการทำขนมปัง จากการทดลองพบว่าโดยที่ทำจากแป้งข้าวที่เติม HPMC จะมีความคงตัวที่ 500 BU มากกว่าโดยที่ทำจากแป้งสาลี ผลการทดสอบทางรีโซลี่ของโดยด้วยวิธี Oscillation tests และ Creep tests แสดงให้เห็นว่าโดยที่ทำจากแป้งข้าวที่เติม HPMC ที่ระดับร้อยละ 1.5 และ 3.0 จะมีคุณสมบัติการไหลแบบเดียวกับโดยที่ทำจากแป้งสาลีและเหมาะสมต่อการนำไปทำขนมปังจากแป้งข้าวเจ้า

Curic, et al. (2007b) ศึกษาการผลิตขนมปังปราศจากสูตรเหนนจากวัตถุนิยม คือ ข้าวโพด บดหยาบและแป้งถั่วเหลืองที่ผ่านเครื่องเอกสาร์ทูเดอร์ จากการทดลองพบว่าขนมปังที่ผลิตจากวัตถุนิยมที่ผ่านเครื่องเอกสาร์ทูเดอร์จะมีปริมาตรเพิ่มขึ้นและมีปริมาณโปรตีนมากกว่าร้อยละ 10 เมื่อเทียบกับตัวอย่างควบคุม คือ แป้งข้าวและสาหร่ายข้าวโพด และขนมปังที่ผลิตจากข้าวโพด บดหยาบและแป้งถั่วเหลือง อัตราส่วน 75:25 ที่ผ่านกระบวนการเอกสาร์ทูชั้นที่มีการเติม กวากม ในปริมาณร้อยละ 3 จะมีปริมาตรรวมที่สุดและมีการยอมรับทางประสาทสัมผัสสูงที่สุดด้วยขนมปังปราศจากสูตรเหนน จะผลิตจากวัตถุนิยมที่มีการนำไปใช้เดตเป็นองค์ประกอบหลักในระหว่างที่เก็บรักษา จึงง่ายต่อการเกิดการคืนตัว (Retrogradation) การคืนตัวจะเกิดขึ้นกับเนื้อในของขนมปังโดยจะเกิดขึ้นภายในไม่กี่ชั่วโมงหลังจากอบขนมปัง (Kim and D'Appolonia, 1977) สาเหตุเกิดจากการจัดเรียงโครงสร้างระดับโมเลกุล เกิดรีไทรเกรเดชั่นของอะโนไลซ์เพกตินหรือการเข้มกันของสายอะโนไลซ์ที่ออกมานามากเม็ดสาหร่าย เกิดเป็นลักษณะแบบผลึก (Crystalline) สงผลให้ขนมปังมีความแน่นหนึบเพิ่มขึ้น จากรายงานวิจัยของ Demirkesen, et al. (2014) ที่ศึกษาการเปลี่ยนแปลงของขนมปังปราศจากสูตรเหนนที่ผลิตด้วยแป้งเกล็ดผสมกับแป้งข้าวเจ้า ในระหว่างการเก็บรักษา 1- 96 ชั่วโมง พบว่าค่าความแข็งของขนมปังมีค่าเพิ่มขึ้นตลอดระยะเวลาการเก็บรักษา แสดงถึงเกิดรีไทรเกรเดชั่นที่มากขึ้นจึงต้องใช้พลังงานในการสลายโครงสร้างผลึกมากขึ้น (Santos, et al., 2008) จึงสงผลให้ค่าเอนthalpyของการเกิดรีไทรเกรเดชั่น (Retrogradation enthalpy) เพิ่มขึ้น

ไฮโดรคลลอยด์

ไฮโดรคลลอยด์เป็นสารประกอบประเภทโพลิแซ็กคาไรด์ เกิดจากพอลิเมอร์โมเลกุลเดี่ยวมาต่อ กัน ทำให้โมเลกุลมีขนาดใหญ่ และมีคุณสมบัติชอบน้ำ (Hydrophilic) เมื่อนำไปละลายหรือทำให้กระจายตัวในน้ำ จะได้สารละลายที่มีความหนืดสูง และเกิดเจล ไฮโดรคลลอยด์นิยมใช้เป็นสารเพิ่มความหนืดและเพิ่มความคงตัวในอาหารต่าง ๆ (นิธิยา รัตนานปนท., 2545)

ไฮโดรคลลอยด์สามารถใช้เป็นสารเติมแต่งในสูตรขนมปัง จุดประสงค์เพื่อใช้ปรับปรุงคุณภาพของขนมปัง โดยมีการศึกษาการใช้ไฮโดรคลลอยด์ เช่น ใช้เดย์มอลจิเนต แชนแนกัม แคปป้า คาโรจีแน คาร์บอฟอกซิเมทิลเซลลูโลส (Carboxymethyl cellulose; CMC) และไฮดรอกซิโพร์พิลเมทิลเซลลูโลส (Hydroxypropyl methylcellulose; HPMC) ในการปรับปรุงคุณภาพของขนมปัง

ไฮโดรคลลอยด์ สักดีได้จากพืช สาหร่าย และเรือขุนทรีย์ ใช้เป็นสารให้ความคงตัวให้ความชันหนึด ทำให้เกิดฟิล์ม (Film-forming) ในอุตสาหกรรมอาหาร (Sharma, 1981) สมบัติของไฮโดรคลลอยด์ ที่ใช้ในอุตสาหกรรมอาหารแสดงใน ตาราง 7

ในการทำผลิตภัณฑ์ขนมปังปราศจากกลูเตน จะพบว่าโดยที่ได้จากการนวดแป้งกับน้ำจะไม่มีความยืดหยุ่น ในการระหว่างการน้ำก็โดยโครงสร้างของก้อนโดยไม่สามารถเก็บก้ำชาร์บอนไดออกไซด์ทำให้ขนมปังที่ผลิตได้มีคุณภาพด้อยกว่าขนมปังที่ทำจากแป้งสาลี เนื้อขนมปังจะแน่น แห้ง และแข็ง นอกจากนี้ ขนมปังหลังจากจะมีปริมาตรจำเพาะ (Specific volume) ต่ำกว่า และมีสีซีดกว่าขนมปังที่ใช้แป้งสาลีเป็นองค์ประกอบหลัก (Gujral, et al., 2004; Gallagher, et al., 2003) ไฮโดรคลลอยด์สามารถนำมาใช้ในการปรับปรุงคุณภาพของขนมปังที่ปราศจากกลูเตนได้ ไฮโดรคลลอยด์ที่นิยมใช้ ได้แก่ คาโรจีแน แชนแนกัม โลคัสต์บีนกัม กัวกัม และอนุพันธ์ของเซลลูโลส ซึ่งได้แก่ Methylcellulose (MC), CMC และ HPMC เป็นต้น

Hydroxypropyl methylcellulose (HPMC) เป็นพอลิเมอร์กึ่งสังเคราะห์จำพวกโพลิแซ็กคาไรด์ (Polysaccharide) อยู่ในกลุ่มอนุพันธ์ของเซลลูโลส (Cellulose Derivatives) นิยมน้ำมาใช้ในอุตสาหกรรมอาหาร มีลักษณะทางกายภาพเป็นผงสีขาวละเอียดคล้ายแป้ง เมื่อใส่ลงในน้ำ จะเกิดการพองตัวได้สารละลายที่สนใจอาจมีสีขุ่นเล็กน้อย

HPMC ที่ความเข้มข้นต่ำในช่วงร้อยละ 1-10 จะมีสมบัติไวต่ออุณหภูมิ โดยที่อุณหภูมิต่ำจะมีสถานะเป็นสารละลาย และเมื่ออุณหภูมิเพิ่มสูงขึ้นจะเปลี่ยนสถานะจากสารละลายเป็นเจล กลไกการเปลี่ยนจากสารละลายไปเป็นเจลเกิดจากการทำปฏิกิริยา กันของส่วนที่ไม่ชอบน้ำในโมเลกุล (บริเวณหมู่แทนที่ที่เป็น Methoxy) โดยที่อุณหภูมิต่ำจะมีการละลายที่ดีจึงไม่เกิดปฏิกิริยาระหว่างสายพอลิเมอร์ แต่เมื่ออุณหภูมิเพิ่มสูงขึ้น โมเลกุลของ

พอลิเมอร์จะเริ่มสูญเสียโมเลกุลน้ำออกไป ทำให้เกิดปฏิกิริยา กันระหว่างบริเวณที่ไม่ซ่อนน้ำเข้ามา เกาะรวมตัวกันเป็นโครงร่างตาข่าย ทำให้มีความหนืดสูงขึ้น (Ruel-Gariepy & Leroux, 2004)

Lazaridou, et al. (2007) ได้ศึกษาผลของไอก็อโรคลล้อยด์ต่อคุณสมบัติด้านความหนืด และคุณภาพของข้นปั่งปราศจากกลูเตนที่ผลิตจากแป้งข้าวเจ้าและสารชี้ขาด้ำ ไอก็อโรคลล้อยด์ที่ใช้ในการศึกษา ได้แก่ เพคติน การ์บอชิเมทิลเซลลูโลส อะกาวิส คาราจีแวน และเบต้ากลูแคน โดยเติมลงไปในสูตรร้อยละ 1 และ 2 (w/w) ของน้ำหนักแป้งข้าวเจ้า จากการทดลองพบว่าไอก็อโรคลล้อยด์ทำให้ได้มีความยืดหยุ่น ทนต่อการเสียรูปจากแรงกดได้ดี โดยที่ระดับการเติมไอก็อโรคลล้อยด์ร้อยละ 2 แซนแทกนั้นจะให้ผลการทดลองที่ดีที่สุด รองลงมาได้แก่ CMC เพคติน อะกาวิส และเบต้ากลูแคน ตามลำดับ

McCarthy, et al. (2005) ศึกษาการผลิตข้นปั่งปราศจากกลูเตนที่มีสูตรพื้นฐานคือ แป้งข้าวเจ้าและแป้งมันฝรั่งร้อยละ 50 และ 50 ตามลำดับ หางนมผงร้อยละ 10 น้ำมันพีชร้อยละ 6 ยีสต์ร้อยละ 6 น้ำตาลร้อยละ 5 และเกลือร้อยละ 2 (โดยน้ำหนักแป้ง) และศึกษาคุณสมบัติของข้นปั่งโดยใช้ RSM โดยมีการแปรระดับ HPMC ในช่วงร้อยละ 0.5-2.5 และปริมาณน้ำร้อยละ 70-95 จากการทดลองพบว่าระดับ HPMC และน้ำที่เหมาะสมคือร้อยละ 2.2 และ 79 ตามลำดับ

ตาราง 7 สมบัติของไอก็อโรคลล้อยด์ในผลิตภัณฑ์อาหาร

หน้าที่	ตัวอย่างผลิตภัณฑ์
Adhesive	Bakery glaze
Binding agent	Sausages
Calorie control agent	Dietetic foods
Crystallization inhibitor	Ice cream, sugar syrups
Clarifying agent	Beer, wine
Cloud agent	Fruit juice
Coating agent	Confectionery
Emulsifier	Salad dressing
Encapsulating agent	Powdered flavors
Film former	Sausage casing, protective coatings

ตาราง 7 (ต่อ)

หน้าที่	ตัวอย่างผลิตภัณฑ์
Flocculating agent	Wine
Foam stabilizer	Whipped topping, beer
Gelling agent	Pudding, desserts, aspics
Molding	Gum drops, jelly candies
Protective colloid	Flavor emulsifiers
Stabilizer	Beer, mayonnaise
Suspending agent	Chocolate milk
Swelling agent	Processed meats
Thickening	Jams, pie fillings, sauces
Water binding (prevents syneresis)	Cheese, frozen foods
Whipping agent	Topping, icings

ที่มา: Sharma, 1981

บทที่ 3

วิธีดำเนินการวิจัย

วัตถุดิบที่ใช้ทดลอง

- เมล็ดถั่วเขียวจากชุมชนบ้านมะขามเรียง หมู่ที่ 3 ตำบลมะมัง อำเภอชุมแสง จังหวัดนครสวรรค์ เก็บเกี่ยวช่วงเดือนพฤษภาคม 2557
- แป้งข้าวเจ้าชนิดโน่น้ำ ตราช้างเหยียบราชพฤกษ์ (ห้างหุ้นส่วน จิวยกเสิง จำกัด)
- แป้งสาลีชนิดทำข้นปัง ตราหงษ์ขาว (บริษัท ยูไนเต็ดฟลาร์มิลล์ จำกัด (มหาชน))
- นมผง ตราฟอนเทียรา (บริษัท ฟอนเทียรา โคลอเปอเรทีฟกรุ๊ฟ จำกัด, นิวซีแลนด์)
- ยีสต์ ตราแองเจิล (บริษัท แองเจิลยีสต์ จำกัด, สาธารณรัฐประชาชนจีน)
- น้ำตาล ตรามิตรผล (บริษัท น้ำตาลมิตรผล จำกัด)
- เกลือ ตราปูงทิพย์ (บริษัท สมพัฒนพิบูล จำกัด (มหาชน))
- น้ำมันถั่วเหลือง ตราอุ่น (บริษัท น้ำมันพีชไทย จำกัด (มหาชน))
- ไฮดรอกซิโลฟิลเมทิลเซลลูโลส (Hydroxypropyl methylcellulose; HPMC) (บริษัท บี.เอ็ล.ช้า จำกัด)

อุปกรณ์ที่ใช้ในการวิจัย

- เครื่องปั่นน้ำผลไม้ (HR2068, Philips, Thailand)
- เครื่องทำแห้งแบบลูกกลิ้ง (JM-T, John-Millder)
- เครื่องเคาะห์ทຽเดอร์แบบสกรูคู่ (CTE-D25L32, Chareon Tut, Thailand)
- ตู้อบควบคุมอุณหภูมิ (1375 FX, Shellab, USA)
- ตู้อบลมร้อน (KPO-700, Kitipoom equipment, Thailand)
- ตะแกรงร่องขนาด 100 เมซ.
- เครื่องผสม (KSM150PSOB Artisan, Kitchen aid, USA)
- อุปกรณ์อื่น ๆ เช่น ผ้าขาวบาง กระชอน ถุง และกระละมังอะลูมิเนียม

อุปกรณ์ที่ใช้ในการวิเคราะห์คุณภาพทางเคมี

- เครื่องวิเคราะห์ปริมาณไนโตรเจน (E-812 SOX, Buchi, Switzerland)
- เครื่องวิเคราะห์ปริมาณโปรตีน (B-323, Buchi, Switzerland)

3. เครื่องวิเคราะห์ปริมาณเยื่อย (Fibertec system M6, Tecator, Denmark)
4. เครื่องวิเคราะห์ปริมาณแป้ง (10-650-126, Fisher, United Kingdom)
5. ชุดตรวจวิเคราะห์ปริมาณแป้ง (Total starch kit, Megazyme international Ireland, Ireland)
6. เครื่องปั่นเหวี่ยง (350R, MPW, Poland)
7. ช่างน้ำควบคุมอุณหภูมิ (WNB 29, Memmert, Germany)
8. เครื่องซั่งทศนิยม 4 ตำแหน่ง (BSA 3202S-CW, Sartorius, Germany)
9. โถดูดความชื้น (Desiccator)
10. เครื่องแก้วและอุปกรณ์อื่น ๆ เช่น หลอดทดลอง บีกเกอร์ ขวดปรับปริมาตร ขวดรูปชมพ์ กระบอกตวง moisture can และอื่น ๆ

สารเคมีที่ใช้วิเคราะห์ทางเคมี

- Thailand
1. ตะตะลิสต์เจลดำหลังแบบเม็ด (K2SO4: CuSO4.5H2O (9:1)), RCI Labscan, Thailand
 2. กรดซัลฟิวริก (Sulfuric Acid, H2SO4), RCI Labscan, Thailand
 3. กรดบอริก (Boric acid, H3BO3), RCI Labscan, Thailand
 4. ไฮdroคลอริก (Hydrochloric acid, HCl), RCI Labscan, Thailand
 5. โซเดียมไฮดรอกไซด์ (Sodium Hydroxide, NaOH), RCI Labscan, Thailand
 6. ปิโตรเลียมอีเทอร์ (Petroleum Ether), RCI Labscan, Thailand
 7. โพแทสเซียมไฮดรอกไซด์ (Potassium Hydroxide, KOH), RCI Labscan, Thailand

อุปกรณ์ที่ใช้ในการวิเคราะห์คุณภาพทางกายภาพ

1. เครื่องวัดสี (EZ 4500S, Hunter Lab, USA)
2. เครื่องวัดเนื้อสัมผัส (QTS 25, Brookfield, England) โดยใช้หัววัดแบบกด TA 11/1000 ขนาดเส้นผ่าศูนย์กลาง 25.4 มิลลิเมตร (Brookfield, USA)
3. เครื่องวิเคราะห์ความหนืดแบบรวดเร็ว (Rapid Visco Analyzer, RVA) (4500, Perten Instruments, Australia)
4. เครื่อง Differential Scanning Calorimeter (DSC) (DSC 1 Star System, Mettler Toledo, Finland)

5. เครื่อง Rheometer (Bohlin Gemini 200 HR Nano, Malvern Instruments, United Kingdom) ใช้หัวดับเบิล parallel plates ขนาดเส้นผ่านศูนย์กลาง 25 มิลลิเมตร
6. Polarized light microscope (MX4300H, Meiji, Japan)
7. เครื่องวัดความเป็นกรดด่าง (FiveEasy Plus, Mettler Toledo, Switzerland)

เครื่องประมวลผลทางสถิติ

1. เครื่องคอมพิวเตอร์ส่วนบุคคล
2. โปรแกรมสำเร็จรูป SPSS for windows version 17.0 (SPSS Inc., Chicago, Illinois, USA)
3. โปรแกรมสำเร็จรูป Design expert version DX7 trial (Stat-Ease, Inc.)

ขั้นตอนและวิธีดำเนินงานวิจัย

งานวิจัยนี้เป็นการศึกษาการผลิตแป้งพรีเจเลติไนซ์จากถั่วเขียว และศึกษาสภาวะที่เหมาะสมในการนำไปใช้ในการผลิตขนมปังปราศจากกลูเตน โดยมีขั้นตอนการวิจัยดังนี้

ตอนที่ 1 การเตรียมตัวอย่างแป้งถั่วเขียวและแป้งถั่วเขียวพรีเจเลติไนซ์ และศึกษาองค์ประกอบทางเคมี กายภาพ

1. การเตรียมตัวอย่างแป้งถั่วเขียว

นำถั่วเขียวมาผลิตแป้งถั่วเขียว ด้วยวิธีการไม่ปีก (gap 1) โดยนำถั่วเขียวแช่ในน้ำสะอาดเวลา 8 ชั่วโมง เพื่อแยกเปลือกออก นำเมล็ดถั่วที่แยกเปลือกแล้วไปบดกับน้ำในอัตราส่วน 1:1 แล้วแยกน้ำออก โดยใช้เครื่องหมุนเหวี่ยง จากนั้นนำตะกอนแป้งไปอบแห้งที่อุณหภูมิ 50 องศาเซลเซียส นาน 24 ชั่วโมงหรือจนกว่าจะมีความชื้นต่ำกว่าร้อยละ 14 จากนั้นบดให้ละเอียด แล้วนำไปร่อนผ่านตะแกรงขนาด 100 เมช เก็บตัวอย่างแป้งถั่วเขียวดิบ (NMF) ในถุง Polypropylene (PP) นำแป้งไปเก็บที่อุณหภูมิ 4-5 องศาเซลเซียสก่อนทำการทดลองขั้นต่อไป

2. ดัดแปลงแป้งถั่วเขียวโดยวิธีพรีเจเลติไนซ์และศึกษาองค์ประกอบทางเคมี กายภาพ ของแป้งพรีเจเลติไนซ์จากถั่วเขียว นำแป้งถั่วเขียวมาดัดแปลงโดยวิธีพรีเจเลติไนซ์ โดยวิธีของ Soison, et al. (2014)

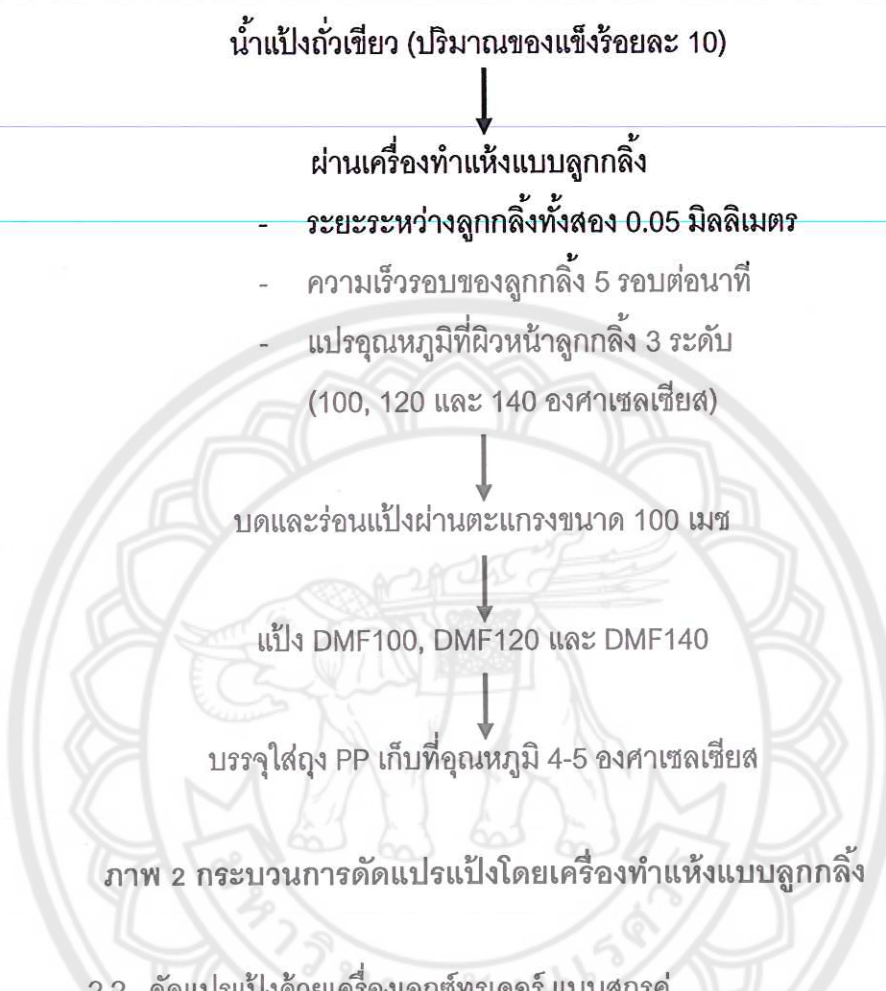
2.1 ดัดแปลงโดยเครื่องทำแห้งแบบลูกกลิ้ง

เตรียมตัวอย่างน้ำแป้งที่มีปริมาณของแข็งร้อยละ 10 นำน้ำแป้งที่ได้มาทำแห้ง ด้วยเครื่องทำแห้งแบบลูกกลิ้งคู่ โดยปรับระยะห่างระหว่างลูกกลิ้งทั้งสองเป็น 0.05 มิลลิเมตร ความเร็วรอบของลูกกลิ้ง 5 รอบต่อนาที ประคุณภูมิที่ผิวน้ำลูกกลิ้ง 3 ระดับคือ 100, 120 และ

140 องศาเซลเซียส (DMF 100, DMF 120 และ DMF 140) จากนั้นนำแผ่นแป้งพรีเจลาร์ที่ในร์จากถั่วเขียวที่ได้จากการทำแห้งด้วยเครื่องทำแห้งแบบลูกกลิ้งไปบดด้วยเครื่องบดละเอียด และร่อนผ่านตะแกรงขนาด 100 เมช บรรจุใส่ถุง PP นำไปเก็บที่อุณหภูมิ 4-5 องศาเซลเซียส (ภาพ 2) การเตรียมตัวอย่างแป้งถั่วเขียวดิบ มีวิธีการดังนี้



การดัดแปลงโดยเครื่องทำแท่งแบบลูกกลิ้ง มีกระบวนการดังนี้



2.2 ดัดแปลงด้วยเครื่องเอกซ์ทูเดอร์ แบบสกูคู่

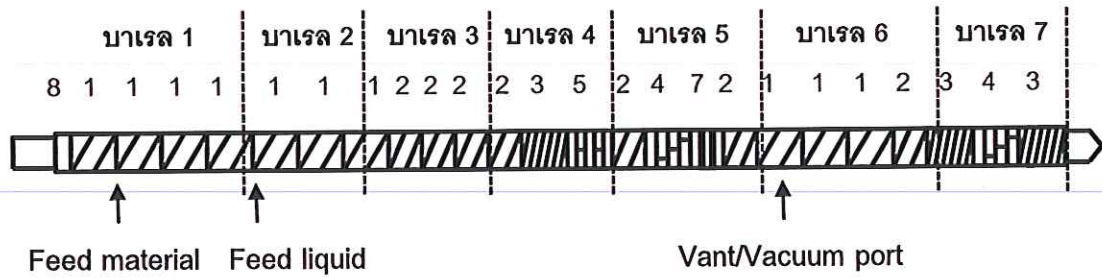
กระบวนการดัดแปลงโดยด้วยเครื่องเอกซ์ทูเดอร์ มีการดัดแปลงภาพ 3 โดยรูปแบบการจัดเรียงสกู (ตาราง 8 และภาพ 3) เป็นแบบผลิตภัณฑ์ไม่พองตัว (Non expanded product) ผ่านбаเรลของเครื่องเอกซ์ทูเดอร์จะแบ่งการควบคุมอุณหภูมิได้ 7 ช่วง ช่วงที่ 1, 2 และ 3 ควบคุมอุณหภูมิไว้ที่ 30, 40 และ 80 องศาเซลเซียสตามลำดับ และควบคุมอุณหภูมิของ นาเบลช่วงที่ 4-7 ไว้ที่อุณหภูมิเดียวกันคือที่ 90 องศาเซลเซียส ดังแสดงในตาราง 9 ปรับระดับ ความชื้นของวัตถุดิบภายในนาเบล (Feed moisture) 3 ระดับ ได้แก่ ร้อยละ 46, 70 และ 94 ตามลำดับ ป้อนตัวอย่างแบ่งด้วยอัตรา (Feed rate) 10 กิโลกรัมต่อชั่วโมง ความเร็วรอบสกู (Screw speed) 200 รอบต่อนาที และใช้หน้าแปลน (Die) ทรงกลมที่มีขนาดเส้นผ่านศูนย์กลาง ของหน้าแปลน (Die diameter) 10 มิลลิเมตร

ตาราง 8 รูปแบบการจัดเรียงสกรู (จากทางป้อนวัตถุดิบถึงหน้าแปลน)

Screw element type	จำนวน (ชิ้น)
CB 37.5/37.5 R (1)	7
CB 25/25 R (2)	4
CB 12.5/37.5 R (3)	1
KB 37.5/5/90 deg N (5)	1
CB 25/25 R (2)	1
KB 37.5/5/45deg N (4)	1
BL 15/2 (7)	1
CB 25/25 R (2)	1
CB 37.5/37.5 R (1)	3
CB 25/25 R (2)	1
CB 12.5/37.5 R (3)	1
KB 37.5/5/45deg N (4)	1
CB 12.5/37.5 R (3)	1

ตาราง 9 การตั้งอุณหภูมิของบาร์ล

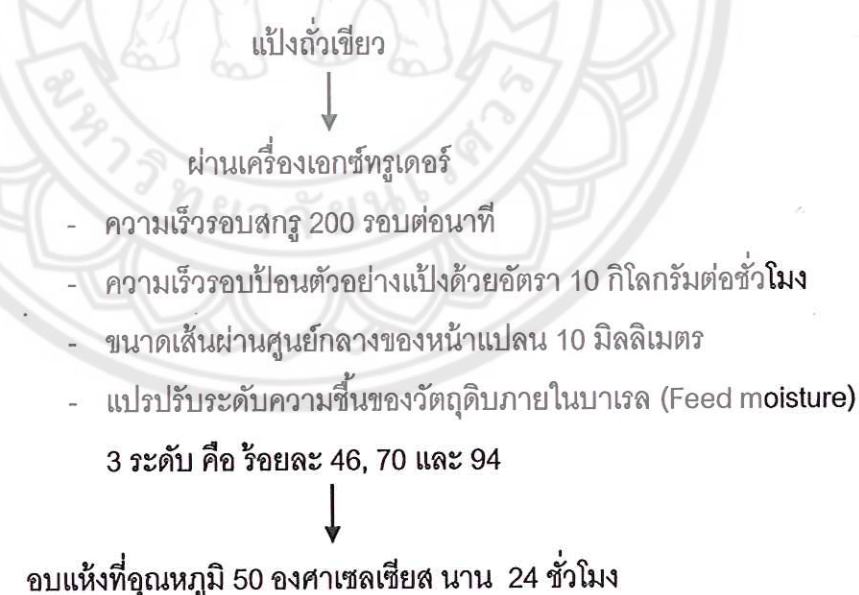
บาร์ล	อุณหภูมิ (องศาเซลเซียส)
1	30
2	40
3	80
4	90
5	90
6	90
7	90



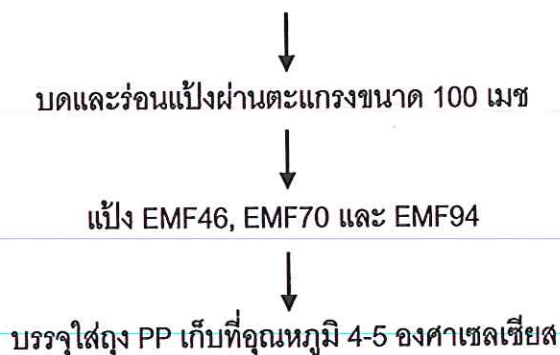
ภาพ 3 รูปแบบการจัดเรียงสกุ

จากนั้นนำผลิตภัณฑ์แป้ง (เอกซ์ทูเดต) ไปบนแท่งที่อุณหภูมิ 50 องศาเซลเซียส นาน 24 ชั่วโมงหรือจนแป้งแห้ง และมีความชื้นสุดท้ายต่ำกว่าร้อยละ 13 โดยนำน้ำหนักเปลี่ยนนำไปบดด้วยเครื่องบดละเอียด และร่อนผ่านตะแกรงขนาด 100 เมช บรรจุตัวอย่างแป้งพรีเจลาร์ตในข้าว จากถั่วเขียวที่ได้จากเครื่องเอกซ์ทูเดอร์ ทั้ง 3 ตัวอย่าง (EMF46, EMF70 และ EMF94) ใส่ถุง PP นำไปเก็บที่อุณหภูมิ 4-5 องศาเซลเซียส (ภาพ 4)

กระบวนการตัดแปรงโดยด้วยเครื่องเอกซ์ทูเดอร์ มีวิธีการดังนี้



ภาพ 4 กระบวนการตัดแปรงโดยด้วยเครื่องเอกซ์ทูเดอร์



ภาพ 4 (ต่อ)

3. ศึกษาสมบัติทางเคมี กายภาพของแป้งถั่วเขียวดิน แป้งถั่วเขียวพรีเจลาร์ทีนซ์ และ แป้งข้าวเจ้าทางการค้า

3.1 ตรวจสอบคุณสมบัติทางเคมี

3.1.1 วิเคราะห์หาปริมาณองค์ประกอบทางเคมี ได้แก่ ความชื้น โปรตีน ไขมัน เยื่อใย เส้า (AOAC, 2000)

3.1.2 ปริมาณแป้งทั้งหมดโดยวิธี Amyloglucosidase amylase method (Total starch kit, Megazyme international Ireland, Ireland)

3.1.3 ปริมาณ อะไมโลส โดยวิธี Amperometric titration with potassium iodate solution ดัดแปลงจาก Takeda, et al. (1987) และ Gibson, et al. (1997)

3.2 ตรวจสอบคุณสมบัติทางกายภาพ ได้แก่

3.2.1 วิเคราะห์สีของตัวอย่างด้วยเครื่อง Hunter Lab (EZ 4500S, Hunter Lab, USA) ใช้โปรแกรม Universal วิเคราะห์ค่า L^* , a^* , b^*

3.2.3 ดัชนีการละลายน้ำและดัชนีการดูดซับน้ำ (Water Absorption Index; WAI and Water Solubility Index; WSI) ตามวิธีของ Anderson, et al. (1969)

3.2.4 กำลังการพองตัวและการละลาย (Swelling power and Solubility) ตามวิธีการของ Schoch (1964)

3.2.5 คุณสมบัติทางความร้อนโดยใช้เครื่อง DSC (Model DSC 1. Star System, Mettler Toledo, Switzerland) ตามวิธีของ Li, et al. (2011)

3.2.6 คุณสมบัติด้านความหนืด โดยใช้เครื่อง RVA (Model 4500, Perten Instruments Australia Pty Ltd. s., Australia) ตามวิธีการของ Newport Scientific Method 1 (1997)

3.2.7 การเสียสภาวะของโปรตีน (Protein denaturation) โดยวิธี Nitrogen Solubility Index (NSI) ตามวิธีของ Shaheen, et al. (2012)

3.2.8 ความหนืดของน้ำแข็งพรีเจลาติไนซ์จากถั่วเขียว ดัดแปลงวิธีจาก Kim, et al. (2012) ด้วยเครื่อง Rheometer (Bohlin Gemini 200 HR Nano, Malvern Instruments, United Kingdom)

3.2.9 การเปลี่ยนแปลงโครงสร้างไบร์ฟริงเจนส์ ของเม็ดแข็ง ด้วยเครื่อง Polarized light microscope (MX4300H, Meiji, Japan)

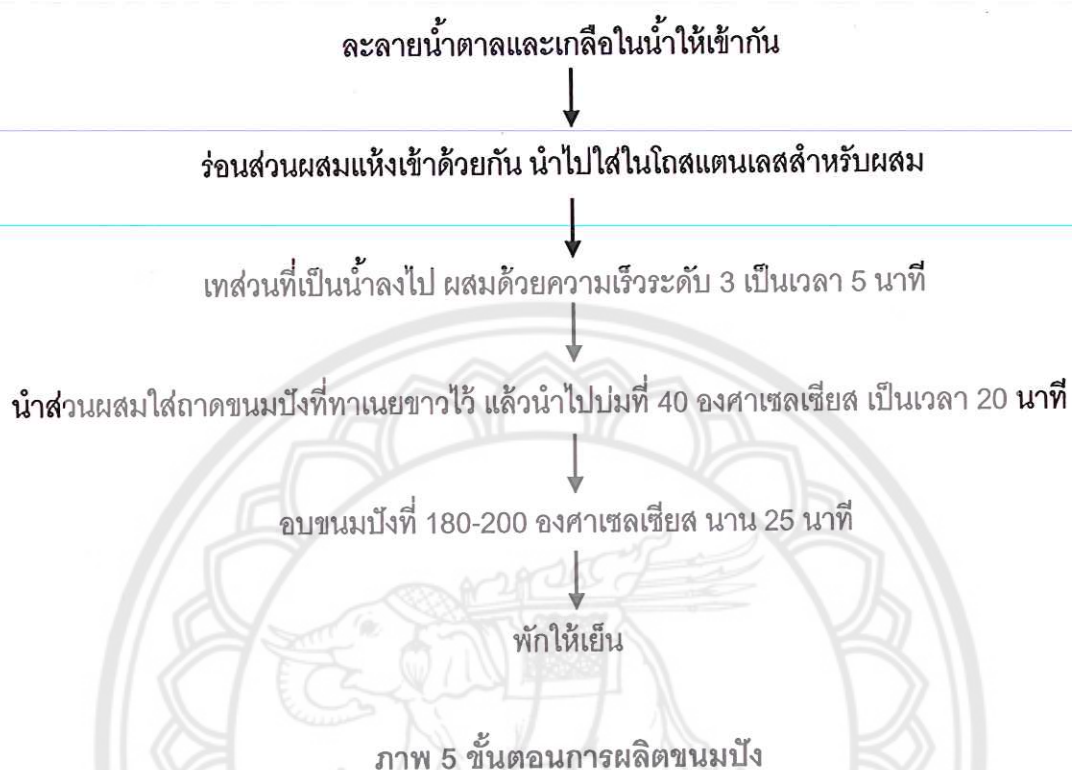
ตอนที่ 2 ศึกษาปริมาณแข็งพรีเจลาติไนซ์จากถั่วเขียวที่เหมาะสมต่อคุณสมบัติของโดยและคุณภาพของข้นมปังเพื่อใช้ผลิตข้นมปังปราศจากกลูเตนสูตรมาตรฐาน

1. ศึกษาปริมาณแข็งพรีเจลาติไนซ์จากถั่วเขียวและทำการคัดเลือกระดับการแทนที่ที่เหมาะสมจากการแทนที่แข็งพรีเจลาติไนซ์ทัดแทนแข็งข้าวเจ้าในปริมาณร้อยละ 5, 10 และ 15 จากสูตรข้นมปัง ดังตาราง 10 โดยขั้นตอนการผลิตดังภาพ 5 คัดเลือกสูตรมาตรฐานจากคุณสมบัติทางเคมี กายภาพ และคุณสมบัติของโดย ผลิตข้นมปังจากสูตรมาตรฐาน และมีข้นมปังที่ผลิตจากแข็งสาลีและแข็งข้าวเจ้าเป็นตัวอย่างควบคุม

ตาราง 10 ส่วนผสมของข้นมปังปราศจากกลูเตน

ส่วนผสม	ร้อยละ (ของน้ำหนักแข็งทั้งหมด)
แข็งข้าวเจ้า	100
นมผง	10
ยีสต์แห้ง	3
น้ำตาล	5
เกลือ	1
น้ำมันพีช	2
น้ำ	90

โดยขั้นตอนการผลิตขนมปัง มีดังนี้



2. ศึกษาคุณภาพของขนมปังปราศจากกลูเตน โดยวิเคราะห์
 - 2.1 น้ำหนักขนมปัง
 - 2.2 ปริมาตรขนมปังโดยใช้การแทนที่ด้วยเม็ดดง (มาตรฐานอุตสาหกรรม, 2524)
 - 2.3 วิเคราะห์เนื้อสัมผัสของเนื้อขนมปัง ด้ดแปลงวิธี จาก Hera, et al. (2013)
- วิเคราะห์โดยการใช้เครื่องวัดเนื้อสัมผัส (QTS 25, Brookfield, England) ใช้หัววัดแบบกด ขนาดเส้นผ่าศูนย์กลาง 25.4 มิลลิเมตร ด้วยวิธีการวัดแบบ Texture Profile Analysis (TPA)
 - 2.4 วิเคราะห์สีของเนื้อขนมปังและเปลี่ยนออก ด้วยเครื่อง Hunter Lab (EZ 4500S, Hunter Lab, USA) ใช้โปรแกรม Universal วิเคราะห์ค่า L^* , a^* , b^*
- 2.5 ศึกษาคุณสมบัติด้านรีโซโล耶จิกอนโด (Dough rheology) ด้ดแปลงวิธีจาก Sciarini, et al. (2012) ด้วย เครื่อง Rheometer (Bohlin Gemini 200 HR Nano, Malvern Instruments, United Kingdom) หา Viscoelastic linear range เพื่อนำมาช่วง Viscoelastic linear range โดยกำหนด Strain sweep จาก 0.1-100%, Constant frequency 1 Hz และอุณหภูมิ 25 องศาเซลเซียส

ทำ Frequency sweeps test วิเคราะห์โดยใช้ Strain ช่วง Viscoelastic linear range (ที่ได้จากข้างต้น) โดยกำหนดระยะเวลาห่างระหว่างหัววัด 2000 ไมโครเมตร ช่วงความถี่ 0.1-10 เอิร์ทซ์ และความเครียด (Strain) 0.05%

ตอนที่ 3 ศึกษาปริมาณน้ำและ HPMC ที่เหมาะสมที่ใช้ในผลิตขั้นปั้งปราศจากกําลนោ

ศึกษาผลของปริมาณน้ำและ HPMC ที่ใช้เติมในสูตรขั้นปั้งปราศจากกําลนោที่คัดเลือกมาจากการทดลองตอนที่ 2 (ที่คัดเลือกจากแป้งพรีเจลติในรากเครื่องทำแห้งแบบฉุกเฉิน และแป้งแป้งพรีเจลติในรากเครื่องเอกสารหูเดอร์อย่างละ 1 ตัวอย่าง ที่มีสมบัติเหมาะสมต่อการผลิตขั้นปั้งปราศจากกําลนោมากที่สุด) โดยจะใช้ Response Surface Methodology (RSM) วางแผนการทดลองแบบ Central Composite Design (CCD) ตัวแปรอิสระจะถูกเข้ารหัสให้อยู่ในช่วงระดับสูง (1) และระดับต่ำ (-1) โดยที่แปรงปริมาณน้ำอยู่ในช่วงร้อยละ 90-110 และเติม HPMC ในช่วงร้อยละ 0.5-1.5 ของน้ำหนักแป้งทั้งหมด ดังนั้นตัวแปรที่ถูกเข้ารหัสโดยกำหนดให้จำนวนครั้งของจุดศูนย์กลางการทดลองเท่ากับ 5 จะได้ 13 ชุดการทดลอง ดังตาราง 11 ทำการทดสอบขั้นปั้ง 3 ครั้ง ใน 1 ตัวอย่างการทดลอง แล้วนำค่าที่ได้ทั้งหมดมาทำการวิเคราะห์ผล

ทำการศึกษาคุณภาพของขั้นปั้งปราศจากกําลนោโดยวิเคราะห์

1. น้ำหนักขั้นปั้ง
2. ปริมาตรขั้นปั้งโดยใช้การแทนที่ด้วยเมล็ดงา (มาตรฐานอุตสาหกรรม, 2524)
3. วิเคราะห์เนื้อสัมผัสของเนื้อขั้นปั้ง ด้วยวิธี Hera, et al. (2013) วิเคราะห์โดยการใช้เครื่องวัดเนื้อสัมผัส (QTS 25, Brookfield, England) ใช้หัววัดแบบกดขนาดเส้นผ่านศูนย์กลาง 25.4 มิลลิเมตร ด้วยวิธีการวัดแบบ Texture Profile Analysis (TPA)
4. วิเคราะห์สีของเนื้อขั้นปั้งและเปลี่ยนออก ด้วยเครื่อง Hunter Lab (EZ 4500S, Hunter Lab, USA) ใช้โปรแกรม Universal วิเคราะห์ค่า L^* , a^* , b^*

ตาราง 11 รายละเอียดของตัวแปรที่ใช้ในการออกแบบการทดลอง

ลำดับ ตัวแปร	Coded Levels ^a	
	น้ำ	HPMC
1	-1	-1
2	+1	-1
3	-1	+1
4	+1	+1
5	-1.414	0
6	+1.414	0
7	0	-1.414
8	0	+1.414
9	0	0
10	0	0
11	0	0
12	0	0
13	0	0

หมายเหตุ: ^a ระดับตัวแปร (ร้อยละโดยน้ำหนักแห้ง)

น้ำ : $-1.414 = 85.86$, $-1 = 90$, $0 = 100.00$, $+1 = 110.00$, $+1.414 = 114.14$

HPMC: $-1.414 = 0.29$, $-1 = 0.50$, $0 = 1.00$, $+1 = 1.50$, $+1.414 = 1.71$

ตอนที่ 4 ศึกษาการเปลี่ยนแปลงคุณภาพในระหว่างการเก็บรักษาขnmปั่งปราศจากกําลูเตน

ศึกษาการเปลี่ยนแปลงคุณภาพของขnmปั่งระหว่างการเก็บเป็นเวลา 3 วัน (วันที่ 0, 1 และ 3) โดยทำการเก็บรักษา ขnmปั่งในถุงพลาสติกชนิด PP ที่ปิดผนึกสนิท เก็บที่อุณหภูมิห้องเป็นเวลา 3 วัน เปรียบเทียบกับขnmปั่งจากแห้งสาลี ขnmปั่งจากแห้งข้าวเจ้าและขnmปั่งปราศจากกําลูเตนผลิตจากสูตรมาตรฐานที่ไม่มีการเติม HPMC โดยตรวจสอบ

1. ความชื้นของข้นมปัง (AOAC, 2000)
2. คุณสมบัติทางความร้อน เพื่อศึกษาการเกิดรีโทรเกรเดชันระหว่างการเก็บรักษา โดยใช้เครื่อง DSC (Model DSC 1. Star System, Mettler Toledo, Switzerland) ดัดแปลงวิธีของ Li, et al. (2011) และ León, et al. (2006)
3. วิเคราะห์เนื้อสัมผัสของเนื้อข้นมปัง ดัดแปลงวิธี จาก Hera, et al. (2013) วิเคราะห์โดยการใช้เครื่องวัดเนื้อสัมผัส (QTS 25, Brookfield, England) ใช้หัววัดแบบกด ขนาดเส้นผ่าศูนย์กลาง 25.4 มิลลิเมตร ด้วยวิธีการวัดแบบ Texture Profile Analysis (TPA)
4. ตรวจสอบคุณสมบัติทางจุลินทรีย์ ได้แก่
 - 4.1 จำนวนจุลินทรีย์ทั้งหมด ตามวิธีของ Bacteriological analytical manual Online, 2001. Chapter 3, Aerobic plate count. USFDA.
 - 4.2 จำนวนยีสต์และรา ตามวิธีของ Bacteriological Analytical Manual Online, 2001. Chapter 18, Yeasts, Molds and Mycotoxins. USFDA.

ตอนที่ 5 การวิเคราะห์ผลทางสถิติ

ศึกษาเปรียบเทียบค่าตัวแปรต่างๆ ที่เหมาะสมในการผลิตข้นมปังปราศจากกลูเตนสูตรมาตรฐาน ประเมินผลความแตกต่างของค่าเฉลี่ยด้วยโปรแกรมสำเร็จรูป SPSS version 17.0 (SPSS Inc., Chicago, Illinois, USA) วิเคราะห์ความแปรปรวน (ANOVA) วางแผนการทดลองแบบสุ่มตัดอด (CRD) ทดสอบความแตกต่างระหว่างตัวอย่างด้วยวิธี Duncan's Multiple Test ที่ระดับนัยสำคัญ 0.05

ศึกษาผลของปริมาณน้ำและ HPMC ใช้เติมในสูตรข้นมปังปราศจากกลูเตนสูตรฐาน โดยใช้ RSM วางแผนการทดลองแบบ CCD โดยใช้โปรแกรมสำเร็จรูป Design expert version DX7 trial (Stat-Ease, Inc.)

บทที่ 4

ผลการวิจัย

จากการศึกษาการผลิตแป้งพรีเจลติในรากถั่วเขียวโดยใช้เครื่องทำแห้งแบบถูกกลึง (Drum dryer) และเครื่องเอกซ์ทรูเดอร์ (Extruder) ต่อสมบัติของแป้งที่เหมาะสมในการนำไปใช้ในการผลิตขนมปังปราศจากกลูเตน โดยศึกษาระดับแป้งพรีเจลติในรากถั่วเขียว ปริมาณน้ำ และปริมาณไข่โดยรวมลดลงด้วยที่เหมาะสมต่อการผลิต พร้อมทั้งศึกษาคุณภาพของขนมปังปราศจากกลูเตนในระหว่างการเก็บรักษา

ตอนที่ 1 การศึกษาองค์ประกอบทางเคมี ภัยภาพของแป้งถั่วเขียวดิบ แป้งข้าวเจ้าทางการค้า และแป้งถั่วเขียวพรีเจลติในราก

เมล็ดถั่วเขียวที่ใช้ในงานวิจัยนี้เป็นเมล็ดถั่วเขียวจากชุมชนบ้านมะขามเรียง หมู่ที่ 3 ตำบลมะมัง อำเภอชุมแสง จังหวัดนครสวรรค์ ซึ่งเก็บเกี่ยวช่วงเดือนพฤษภาคม 2557 ตัวอย่างเมล็ดถั่วเขียวจะถูกเก็บที่อุณหภูมิ 4 องศาเซลเซียส ก่อนนำมาเตรียมเป็นแป้งถั่วเขียวโดยใช้วิธีการไม่เปียก แป้งถั่วเขียวมีปริมาณอะไรมอลร้อยละ 32.44 และปริมาณแป้งทั้งหมดร้อยละ 78.09 แป้งข้าวเจ้ามีปริมาณอะไรมอลร้อยละ 28.48 และปริมาณแป้งทั้งหมดเท่ากันร้อยละ 78.67

ตาราง 12 แสดงองค์ประกอบทางเคมีของแป้งข้าวเจ้า แป้งถั่วเขียวดิบ และแป้งถั่วเขียวพรีเจลติในรากจากการดัดแปลงเครื่องทำแห้งแบบถูกกลึงและเครื่องเอกซ์ทรูเดอร์ จากการศึกษาพบว่าแป้งถั่วเขียวดิบมีความชื้นร้อยละ 5.41 โปรตีนร้อยละ 2.60 ไขมัน เยื่อใย และเก้าร้อยละ 0.35, 0.96 และ 0.86 (โดยน้ำหนักแห้ง) ตามลำดับ แป้งข้าวเจ้าทางการค้ามีความชื้นร้อยละ 9.78 โปรตีนร้อยละ 4.34 ไขมัน เยื่อใย และเก้าร้อยละ 0.10, 0.14 และ 0.78 ตามลำดับ แป้งถั่วเขียวพรีเจลติในรากจากการดัดแปลงมีปริมาณความชื้น PROTIN ไขมัน อยู่ระหว่างร้อยละ 4.58-6.4, 2.16-2.85 และ 0.29-0.32 (โดยน้ำหนักแห้ง) ตามลำดับ

ตาราง 12 องค์ประกอบทางเคมีของ แบงค์ถั่วเขียวดิบและแบงค์ถั่วเขียวพรีเจลาร์ในชี๊จากรสการตัดแปรด้วยเครื่องทำแห้งแบบลูกกลิ้งและเครื่องเอกสาร์ทูเดอร์ (ร้อยละโดยน้ำหนักแห้ง)

ตัวอย่าง	ความชื้น	โปรตีน	ไขมัน ^{ns}
NMF	5.41±0.12 ^c	2.60±0.02 ^d	0.35±0.06
NRF	9.78±0.18 ^a	4.35±0.16 ^a	0.10±0.03
DMF100	6.14±0.05 ^b	2.70±0.07 ^{cd}	0.30±0.03
DMF120	4.87±0.11 ^{de}	2.71±0.04 ^{bcd}	0.29±0.03
DMF140	4.58±0.13 ^e	2.85±0.04 ^b	0.32±0.12
EMF46	5.05±0.21 ^d	2.61±0.19 ^d	0.31±0.05
EMF70	6.01±0.33 ^b	2.43±0.05 ^e	0.30±0.06
EMF94	5.44±0.31 ^c	2.83±0.08 ^{bcd}	0.32±0.01

หมายเหตุ: ตัวอักษรที่แตกต่างกันในแนวตั้งแสดงความแตกต่างกันอย่างมีนัยสำคัญทางสถิติ

($p<0.05$) และ ^{ns} หมายถึง ไม่แตกต่างกันอย่างมีนัยสำคัญทางสถิติ ($p>0.05$)

NMF คือ แบงค์ถั่วเขียวดิบ

NRF คือ แบงค์ข้าวเจ้า

DMF100 คือ แบงค์ถั่วเขียวพรีเจลาร์ในชี๊จากเครื่องทำแห้งแบบลูกกลิ้งด้วยอุณหภูมิผิวน้ำลูกกลิ้ง 100 องศาเซลเซียส

DMF120 คือ แบงค์ถั่วเขียวพรีเจลาร์ในชี๊จากเครื่องทำแห้งแบบลูกกลิ้ง ด้วยอุณหภูมิผิวน้ำลูกกลิ้ง 120 องศาเซลเซียส

DMF140 คือ แบงค์ถั่วเขียวพรีเจลาร์ในชี๊จากเครื่องทำแห้งแบบลูกกลิ้ง ด้วยอุณหภูมิผิวน้ำลูกกลิ้ง 140 องศาเซลเซียส

EMF46 คือ แบงค์ถั่วเขียวพรีเจลาร์ในชี๊จากเครื่องเอกสาร์ทูเดอร์ ที่ปรับระดับความชื้นของวัตถุดิบภายในบาร์ล้อยละ 46

EMF70 คือ แบงค์ถั่วเขียวพรีเจลาร์ในชี๊จากเครื่องเอกสาร์ทูเดอร์ ที่ปรับระดับความชื้นของวัตถุดิบภายในบาร์ล้อยละ 70

และ EMF94 คือ แบงค์ถั่วเขียวพรีเจลาร์ในชี๊จากเครื่องเอกสาร์ทูเดอร์ ที่ปรับระดับความชื้นของวัตถุดิบภายในบาร์ล้อยละ 94

ตาราง 13 ตัวชี้นิการละลายน้ำ ตัวชี้นิการดูดซับน้ำ กำลังการพองตัวและการละลายของ
แป้งถั่วเขียวดิบและแป้งถั่วเขียวพรีเจเลติในร์จากการดัดแปลงด้วยเครื่องทำ
แห้งแบบลูกกลิ้งและเครื่องเอกสาร์ทูเดอร์

ตัวอย่าง	ตัวชี้นิการละลายน้ำ	ตัวชี้นิการดูดซับน้ำ	กำลังการพองตัว (ร้อยละ)	การละลาย (ร้อยละ)
NMF	3.04 ± 0.07^d	2.24 ± 0.01^e	11.91 ± 0.19^e	9.51 ± 0.49^e
DMF100	9.01 ± 0.47^b	8.52 ± 0.59^c	15.43 ± 0.07^c	22.22 ± 0.18^c
DMF120	6.60 ± 0.98^c	10.10 ± 1.07^b	18.82 ± 0.29^b	23.05 ± 0.34^c
DMF140	1.11 ± 0.31^e	12.35 ± 0.17^a	21.13 ± 0.30^a	24.68 ± 1.86^b
EMF46	11.05 ± 0.05^a	3.93 ± 0.03^d	15.62 ± 0.09^c	31.75 ± 0.25^a
EMF70	6.08 ± 0.19^c	3.31 ± 0.04^d	12.69 ± 0.06^d	18.51 ± 0.06^d
EMF94	6.25 ± 0.05^c	3.26 ± 0.02^d	12.13 ± 0.05^e	17.35 ± 0.13^d

หมายเหตุ: ตัวอักษรที่แตกต่างกันในแนวตั้งแสดงความแตกต่างกันอย่างมีนัยสำคัญทางสถิติ
($p < 0.05$)

ตัวชี้นิการละลายน้ำ ตัวชี้นิการดูดซับน้ำ กำลังการพองตัว และการละลายของแป้งข้าวเจ้า แป้งถั่วเขียวดิบ และแป้งถั่วเขียวพรีเจเลติในร์จากการดัดแปลงด้วยวิธีต่างๆ แสดงดังตาราง 13 ตัวชี้นิการละลายน้ำ เป็นค่าการเปลี่ยนแปลงองค์ประกอบทางเคมีที่มีผลต่อการละลายน้ำของผลิตภัณฑ์ จากผลการทดลองพบว่าแป้งพรีเจเลติในร์มีค่าตัวชี้นิการละลายน้ำสูงกว่าแป้งถั่วเขียวดิบอย่างมีนัยสำคัญทางสถิติ ($p < 0.05$) ทั้งนี้อาจเนื่องจากระดับความเป็นผลึก (Degree of crystallinity) ลดลงและโครงสร้างของเม็ดแป้งถูกทำลายในระหว่างกระบวนการให้ความร้อน (Majzoobi, et al., 2010)

Ding, et al. (2005) กล่าวว่าอุณหภูมินาเรลและความชื้นที่ใช้ในกระบวนการเอกสาร์ทูชัน มีผลต่อการเกิดเจเลติในร์ของสตาร์ช โดยระดับการเกิดเจเลติในร์ของสตาร์ชจะลดลงเมื่อ feed moisture content สูงขึ้น และจะมีค่าเพิ่มสูงขึ้นเมื่ออัตราการป้อน (Feed rate) มากขึ้น ส่วนสตาร์ชที่ละลายได้ (Soluble starch) จะมีปริมาณมากขึ้น เมื่ออุณหภูมิของเครื่องเอกสาร์ทูเดอร์สูงขึ้น และ Feed moisture content ลดลง

ดัชนีการดูดซับน้ำแสดงถึงสมบัติของผลิตภัณฑ์ที่มีต่อน้ำ โดยสัมพันธ์กับการเกิดเจลติดในร่องแบง เมื่อพันธะถูกทำลายเม็ดแบงจะเกิดการแตกออกส่งผลให้น้ำสามารถเข้าไปจับกับกลุ่มไฮดรอกซิลได้ง่ายขึ้น เกิดเป็นผลิตภัณฑ์ที่ดูดซับน้ำได้สูง แบงพรีเจลติดในร่องจากเครื่องทำแห้งแบบลูกกลิ้ง จะมีค่าดัชนีการดูดซับน้ำสูงกว่าแบงพรีเจลติดในร่องจากเครื่องเอกสาร์ทูเดอร์ และแบงถัวเขียวดิบทั้งนี้อาจเนื่องมาจากเม็ดแบงเกิดความเสียหายมากกว่าและการเกิดเจลติดในร่องจะเพิ่มขึ้นเมื่ออุณหภูมิของกระบวนการการดัดแปลงเพิ่มสูงขึ้น (Mercier and Feillet, 1975)

กำลังการพองตัวและการละลาย ของแบงพรีเจลติดในร่องมีค่าสูงกว่าแบงถัวเขียวดิบ ซึ่งการพองตัวของแบงเกิดจากการพันธะไฮดรอกซิลของไมเลกุลแบงถูกทำลายด้วยอุณหภูมิที่สูงกว่าอุณหภูมิการเกิดเจลติดในร่อง ทำให้ไมเลกุลของน้ำเข้ามาจับหมู่ไฮดรอกซิโลิสระ เป็นผลให้มีเม็ดแบงเกิดการพองตัว ดังนั้นอุณหภูมิของกระบวนการผลิตแบงพรีเจลติดในร่องจะมีอิทธิพลต่อกำลังการพองตัวของแบงถัวเขียว จากการทดลองพบว่าแบงพรีเจลติดในร่องจากเครื่องทำแห้งแบบลูกกลิ้ง มีการเกิดเจลติดในร่องของแบงเพิ่มขึ้น ตามอุณหภูมิที่ผิวน้ำลูกกลิ้งที่ใช้ในการกระบวนการการดัดแปลง ผลให้มีค่ากำลังการพองตัวสูงขึ้นอย่างมีนัยสำคัญทางสถิติ ($p<0.05$) ในส่วนของแบงพรีเจลติดในร่องจากเครื่องเอกสาร์ทูเดอร์ พบว่าเมื่อความชื้นเพิ่มมากขึ้น กำลังการพองตัวจะลดลงอย่างมีนัยสำคัญทางสถิติ ($p<0.05$) ทั้งนี้เนื่องมาจากการเพิ่มระดับความชื้นของวัตถุดิบภายในบาร์ล จะส่งผลให้เอกสาร์ทูเดอร์มีอุณหภูมิลดต่ำลง แบง EMF94 มีความชื้นของตัวอย่างที่สูงกว่า เม็ดแบงจะถูกทำลายในระหว่างกระบวนการเอกสาร์ทูเดอร์น้อยกว่า ทำให้เม็ดแบงมีการพองตัวต่ำกว่า

Jambrak, et al. (2010) กล่าวว่าภายนหลังการทำอัลตร้าซาวด์สตาร์ชข้าวโพด อุณหภูมิของสตาร์ชข้าวโพดสูงขึ้นตามระดับพลังงานเพิ่มสูงขึ้น ผลให้โครงสร้างผลึกของแบงถูกทำลายไมเลกุลของน้ำจึงสามารถไปสร้างพันธะไฮดรอกซิลกับหมู่ไฮดรอกซิโลิสระของอะไรมอลสและอะไรมอลเพกติน ทำให้ค่าการพองตัวเพิ่มสูงขึ้น

เม็ดแบงที่เสียหายจากการดัดแปลงทำให้การละลายของเม็ดแบงสูงขึ้น จากการทดลองพบว่าแบงพรีเจลติดในร่องจากการผลิตหั้งสองห้อง มีค่าการละลายสูงกว่าแบงถัวเขียวดิบและแบงข้าวเจ้าอย่างมีนัยสำคัญทางสถิติ ($p<0.05$) ค่าการละลายของแบงพรีเจลติดในร่องจากเครื่องทำแห้งแบบลูกกลิ้ง จะมีค่าสูงขึ้นเมื่ออุณหภูมิผิวน้ำลูกกลิ้งสูงขึ้น ส่วนแบงพรีเจลติดในร่องจากเครื่องเอกสาร์ทูเดอร์ จะมีค่าการละลายลดลงเมื่อระดับความชื้นของวัตถุดิบภายในบาร์ลสูงขึ้น ผลของค่าการละลายน้ำจะมีความสัมพันธ์กับกำลังการพองตัวที่ได้จากการทดลอง

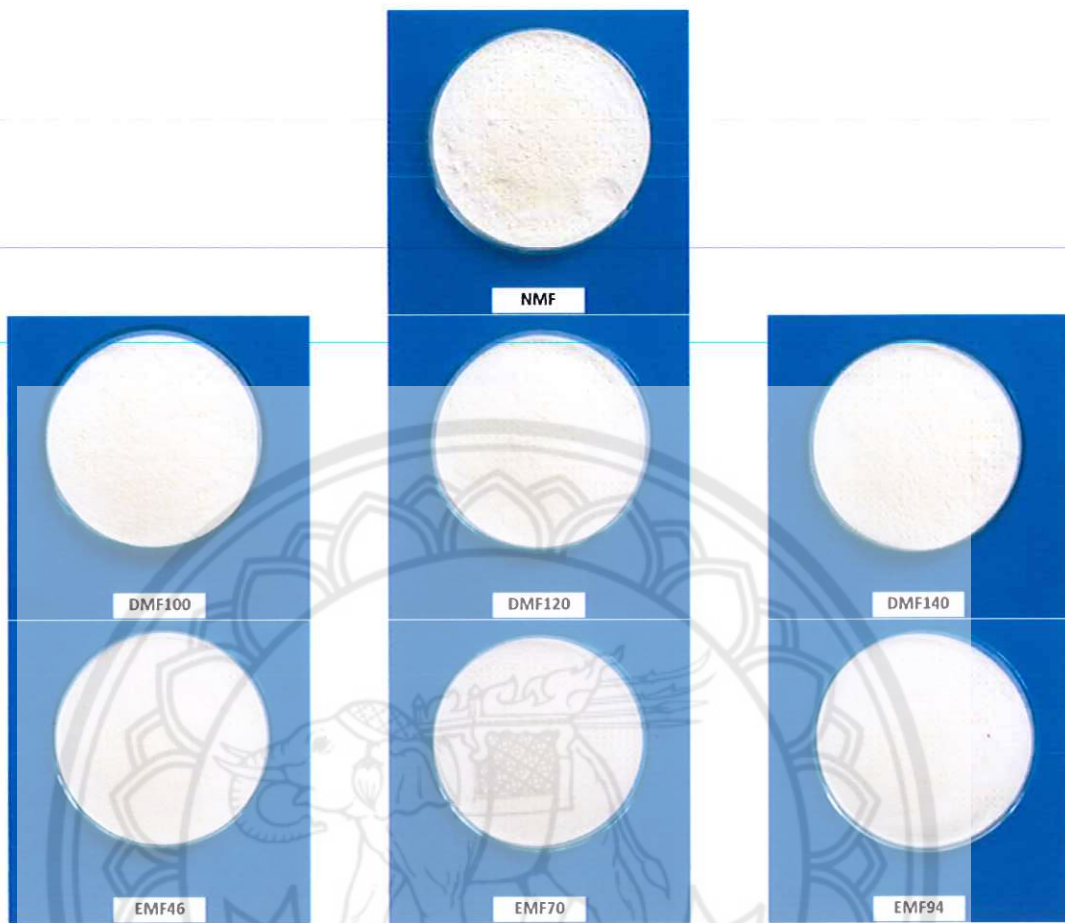
ตาราง 14 ค่าสี (L^* , a^* , b^*) ของแบงค์ถัวเฉียวดินและแบงค์ถัวเฉียวพรีเจเลติในร์จากการดัดแปลงด้วยเครื่องทำแห้งแบบลูกกลิ้งและเครื่องเอกสารหูเดอร์

ตัวอย่าง	L^*	a^*	b^*
NMF	86.84 ± 0.05^a	-1.03 ± 0.05^{bc}	7.52 ± 0.03^g
DMF100	82.66 ± 0.04^e	-1.04 ± 0.03^{bc}	9.64 ± 0.08^b
DMF120	83.69 ± 0.06^c	-1.14 ± 0.05^d	9.43 ± 0.08^c
DMF140	84.59 ± 0.01^b	-1.02 ± 0.03^b	8.50 ± 0.05^e
EMF46	82.82 ± 0.02^d	-1.09 ± 0.02^{cd}	9.93 ± 0.04^a
EMF70	82.51 ± 0.02^f	-0.99 ± 0.03^b	9.25 ± 0.02^d
EMF94	81.58 ± 0.09^g	-0.32 ± 0.01^a	8.03 ± 0.05^f

หมายเหตุ: ตัวอักษรที่แตกต่างกันในแนวนั้นแสดงความแตกต่างกันอย่างมีนัยสำคัญทางสถิติ ($p<0.05$)

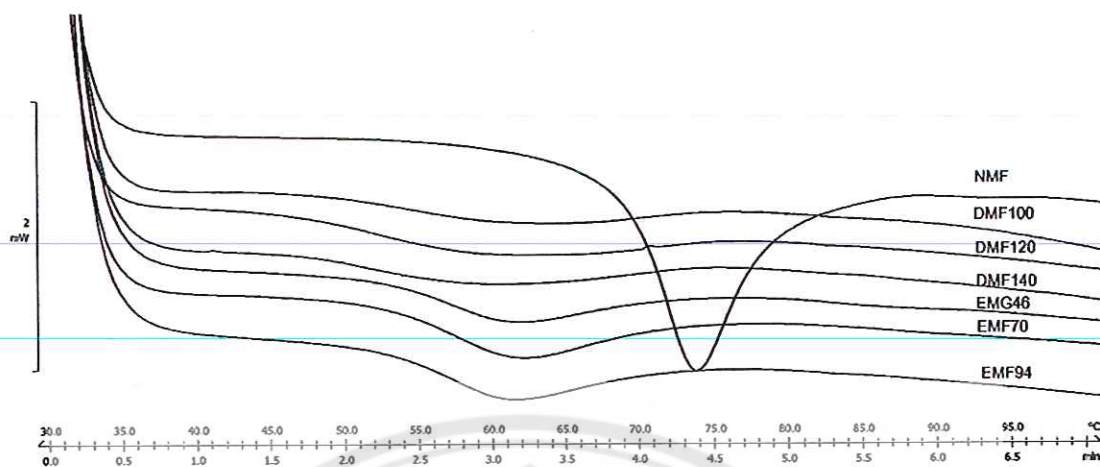
จากตาราง 14 แสดงค่าสี (L^* , a^* , b^*) ของแบงค์ถัวเฉียวดิน แบงค์ข้าวเจ้า และแบงค์ถัวเฉียวพรีเจเลติในร์จากการดัดแปลงด้วยเครื่องทำแห้งแบบลูกกลิ้งและเครื่องเอกสารหูเดอร์ จากผลการทดลองพบว่าแบงค์พรีเจเลติในร์จากการผลิตทั้งสองวิธีมีค่าความสว่างต่ำกว่าแบงค์ถัวเฉียวดิน อย่างมีนัยสำคัญทางสถิติ ($p<0.05$) แบงค์พรีเจเลติในร์ที่ผลิตจากเครื่องทำแห้งแบบลูกกลิ้งที่ระดับอุณหภูมิทั้งสามระดับ มีค่าความสว่าง (L^*) สูงกว่าแบงค์ EMF46, EMF70 และ EMF94

ค่า b^* ที่เป็นบวกแสดงถึงความเป็นสีเหลือง แบงค์พรีเจเลติในร์จากการผลิตทั้งสองวิธี จะมีค่า b^* สูงกว่าแบงค์ถัวเฉียวดิน และแบงค์พรีเจเลติในร์จากการเครื่องเอกสารหูเดอร์จะมีค่าความเป็นสีเหลืองลดลงเมื่อระดับความชื้นของวัตถุดินภัยในบาร์เพิ่มขึ้น ความร้อนที่ใช้ในกระบวนการดัดแปลงทั้งสองวิธีมีผลทำให้ความสว่างของแบงค์ลดลงและค่าความเป็นสีเหลืองสูงขึ้น (ภาพ 6) ทั้งนี้อาจเกิดจากปฏิกิริยาเมลลาร์ด (Maillard reaction) หรือการเมล็ดเชื่อม (Caramelization) (Cheftel, 1986) ซึ่งเป็นปฏิกิริยาที่เกิดขึ้นเกิดขึ้นระหว่างน้ำตาลรีดิวส์ (Reducing sugar) กับกรดอะมิโน โปรตีน หรือสารประกอบในไตรเจนอื่น ๆ โดยมีความร้อนเป็นตัวเร่งปฏิกิริยา (Menegassi, et al., 2011; Gutkoski and El-Dash, 1999)



ภาพ 6 แบ่งถั่วเขียวดิบและแบ่งถั่วเขียวพรีเจเลติในซ์จากการดัดแปลงด้วยเครื่องทำแห้งแบบลูกกลิ้งและเครื่องเอกซ์ทรูเดอร์

ภาพ 7 แสดงการเปลี่ยนแปลงความร้อนของแบ่งถั่วเขียวดิบและแบ่งถั่วเขียวพรีเจเลติในซ์จากการดัดแปลงด้วยเครื่องทำแห้งแบบลูกกลิ้งและเครื่องเอกซ์ทรูเดอร์ ด้วยเครื่อง DSC โดยผลที่ได้จะแสดงถึงอุณหภูมิในการเริ่มการเกิดเจเลติในเชื้น (Onset temperature, T_o) อุณหภูมิที่ทำให้เกิดการเปลี่ยนแปลงสูงสุด (Peak temperature, T_p) อุณหภูมิสุดท้ายในการเกิดเจเลติในเชื้น (Conclusion temperature, T_c) และค่าพลังงานหรือเอนталปี ในการเกิดเจเลติในซ์เชื้น (Enthalpy, ΔH)



ภาพ 7 เทอร์โมแกรมของแป้งถั่วเขียวดิบและแป้งถั่วเขียวพรีเจเลตีในช่วงการดัดแปลงด้วยเครื่องทำแห้งแบบสูกอกลังและเครื่องเอกสาร์ทรอเดอร์ เมื่อวิเคราะห์ด้วยเครื่อง Differential Scanning Calorimeter (DSC)

จากการทดลองพบว่า อุณหภูมิที่ทำให้เกิดการเปลี่ยนแปลงสูงสุด (T_p) ของแป้งถั่วเขียวดิบ (73.24 องศาเซลเซียส) มีค่าสูงกว่า แป้งถั่วเขียวพรีเจเลตีในช่วงการผลิตทั้งสองวิธี (59.44-61.28 องศาเซลเซียส) การลดลงของอุณหภูมินในการเกิดเจเลตีในชั้นของสตาร์ชอาจเนื่องมาจากการเกิดเจเลตีในชั้นส่วนที่เป็นผลึก (Crystalline) และส่วนอ่อนร้อน (Amorphous) ภายในเม็ดแป้ง

แป้งถั่วเขียวดิบมีพลังงานในการเกิดเจเลตีในชั้นเท่ากับ 3.09 Jg^{-1} ส่วนแป้งพรีเจเลตีในชั้นทุกตัวอย่าง จะมีค่าพลังงานในการเกิดเจเลตีในชั้นต่ำกว่าแป้งถั่วเขียวดิบโดยมีค่าอยู่ระหว่าง $0.78-1.17 \text{ Jg}^{-1}$ การดัดแปลงแป้งด้วยวิธีพรีเจเลตีในชั้นส่วนต่างๆ มีผลให้ค่าพลังงานในการเกิดเจเลตีในชั้นลดลงเมื่อเทียบกับแป้งถั่วเขียวที่ไม่ผ่านการดัดแปลง แสดงให้เห็นว่าไม่เกิดภายในเม็ดแป้งถูกทำลาย โครงสร้างบริเวณส่วนที่เป็นผลึกมีความเป็นระเบียบลดลง Chiu and Solarek, (2009) รายงานว่ากระบวนการดัดแปลงโดยใช้กระบวนการเอกสาร์ทรอชั้นส่งผลให้อุณหภูมินในการเกิดเจเลตีในชั้นต่ำลงเนื่องจากในระหว่างการดัดแปลงมีการใช้อุณหภูมิสูงและแรงเฉือน ทำให้ระดับความเป็นผลึกของแป้งลดลงและปริมาณเม็ดแป้งที่เสียหายมากขึ้น

ตาราง 15 ผลการศึกษาการเปลี่ยนแปลงพฤติกรรมทางความหนืดของแป้งถั่วเขียวดิบ และแป้งถั่วเขียวพรีเจลาร์ในร์จากการดัดแปลงด้วยเครื่องทำแห้งแบบลูกกลิ้ง และเครื่องเอกซ์ทรูเดอร์ เมื่อวิเคราะห์ด้วยเครื่องวิเคราะห์ความหนืดแบบรวดเร็ว (Rapid Visco Analyzer, RVA)

ตัวอย่าง	Peak viscosity	Breakdown	Final viscosity	Setback	Pasting temperature
	(cP)	(cP)	(cP)	(cP)	($^{\circ}$ C)
NMF	2,504.67 \pm 26.50 ^a	597.67 \pm 11.02 ^a	3,119.67 \pm 43.78 ^a	1,212.67 \pm 30.35 ^a	75.45 \pm 0.4 ^a
DMF100	1,527.00 \pm 55.03 ^c	247.00 \pm 56.35 ^b	2,286.33 \pm 184.18 ^d	1,006.33 \pm 105.97 ^b	53.58 \pm 5.82 ^d
DMF120	1,432.00 \pm 65.64 ^d	94.00 \pm 43.31 ^c	2,609.00 \pm 63.15 ^b	1,271.00 \pm 26.06 ^a	53.00 \pm 4.81 ^d
DMF140	1,751.00 \pm 34.60 ^b	279.00 \pm 26.00 ^b	2,445.33 \pm 69.53 ^c	973.33 \pm 24.85 ^b	50.05 \pm 0.00 ^d
EMF46	778.33 \pm 16.80 ^g	247.67 \pm 10.12 ^b	861.33 \pm 15.95 ^g	330.67 \pm 12.01 ^d	62.45 \pm 0.30 ^c
EMF70	1,239.33 \pm 4.04 ^e	127.00 \pm 12.17 ^c	1,562.33 \pm 21.22 ^e	450.00 \pm 14.00 ^c	66.78 \pm 0.03 ^{bc}
EMF94	926.33 \pm 14.64 ^f	46.33 \pm 5.77 ^d	1,218.00 \pm 19.08 ^f	338.00 \pm 7.55 ^d	70.00 \pm 0.48 ^b

หมายเหตุ: ตัวอักษรที่แตกต่างกันในแนวตั้งแสดงความแตกต่างกันอย่างมีนัยสำคัญทางสถิติ ($p<0.05$)

ตาราง 15 แสดงผลการศึกษาการเปลี่ยนแปลงพฤติกรรมทางความหนืดของแป้งถั่วเขียวดิบ และแป้งถั่วเขียวพรีเจลาร์ในร์จากการดัดแปลงด้วยเครื่องทำแห้งแบบลูกกลิ้ง และเครื่องเอกซ์ทรูเดอร์ โดยใช้เครื่องวิเคราะห์ความหนืดแบบรวดเร็ว RVA ซึ่งเป็นการทดสอบความหนืดที่เปลี่ยนแปลงไปตามเวลา อุณหภูมิและความเร็วของกราวน์หรือผสมน้ำแป้ง ศึกษาค่าอุณหภูมิเริ่มต้นของการเกิดความหนืด (Pasting temperature) ความหนืดสูงสุด (Peak viscosity) ความแตกต่างของความหนืดสูงสุด และความหนืดต่ำสุด (Breakdown) ความหนืดสุดท้าย (Final viscosity) และค่าการคืนตัว (Setback viscosity)

อุณหภูมิเริ่มต้นของการเกิดความหนืด (Pasting temperature) ของแป้งถั่วเขียวดิบมีค่าอยู่ที่ 75.45 องศาเซลเซียส และเมื่อดัดแปลงด้วยสภาวะต่าง ๆ จะทำให้อุณหภูมิเริ่มต้นของการเกิดความหนืดมีค่าที่ต่ำลง การลดลงของความหนืดเป็นผลมาจากการมีปริมาณเม็ดแป้งที่เสียหายจากการกระบวนการดัดแปลงเพิ่มมากขึ้น และเกิดจากการเกิดเจลาร์ในร์ของเม็ดแป้ง

(Hagenimana, et al., 2006) จากผลการทดลองแสดงให้เห็นว่าแบงค์ก้าเยี่ยพรีเจลติ่นซึมีความสามารถในการเพิ่มความหนืดได้ที่อุณหภูมิต่ำกว่าอุณหภูมิการเกิดเจลของแบงค์ก้าเยียวดิบ

ความหนืดสูงสุด (Peak viscosity) แสดงถึงความสามารถของแป้งในการจับตัวกันน้ำ และแรงที่ต้องใช้ในการกวนหรือผสม ค่า Peak viscosity ของแป้งถั่วเขียวติบ (2,504.67 cP) มีค่า สูงกว่าแป้งพรีเจลาร์ในชั้งสองวิธี และแป้งพรีเจลาร์ในชั้งจากเครื่องทำแห้งแบบลูกกลิ้ง จะมีค่า Peak viscosity อยู่ระหว่าง 1,432.00-1,751.00 cP ซึ่งมีค่าสูงกว่าแป้งพรีเจลาร์ในชั้ง จากเครื่องเอกสาร์ทรูเดอร์ ที่มีค่าอยู่ในช่วง 778.33-1,239.33 cP กระบวนการผลิตแป้งพรีเจลาร์ในชั้ง สองวิธีมีผลให้โครงสร้างของเม็ดแป้งเสียหาย แป้งสามารถดูดซับน้ำและเพิ่มความหนืดได้ทันที (Glicksman, 1969; Doublier, et al., 1986; Nakorn, Tongdang, and Sirivongpaisal, 2009)

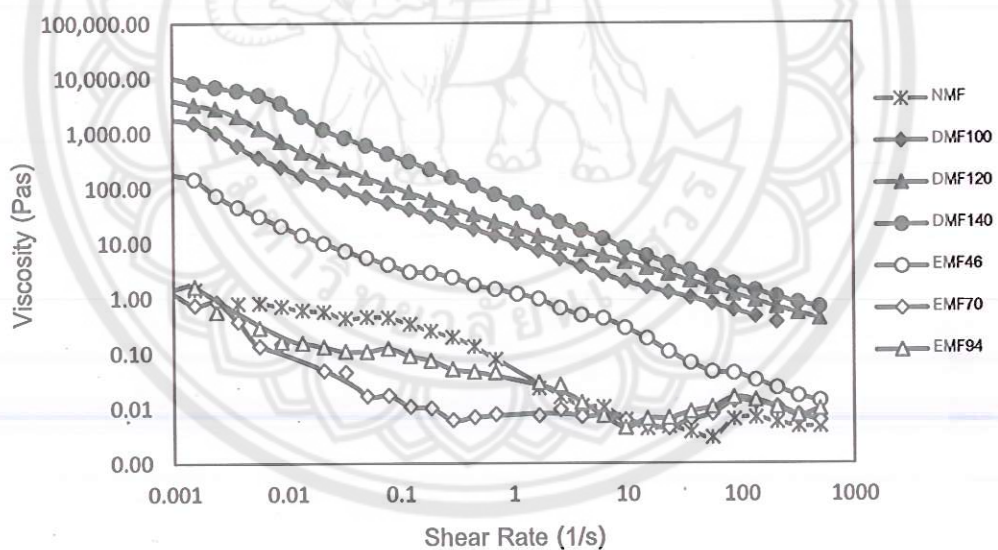
ค่าความแตกต่างของความหนืดสูงสุดและความหนืดต่ำสุด (Break down) แสดงถึงความสามารถในการคงทนต่ออุณหภูมิและแรงเฉือน โดยตัวอย่างที่มีค่า Break down สูงจะมีความสามารถในการคงทนระหว่างการให้ความร้อนและการกวนต่ำจากการทดลองพบว่าค่า Break down ของแบงค์ถั่วเขียวดิน (597.67 cP) มีค่าสูงกว่าแบงค์พรีเจลต้าในร์จากเครื่องทำแห้งแบบถูกกลิ้ง ($94.00-279.00 \text{ cP}$) และมีค่าสูงกว่าแบงค์พรีเจลต้าในร์จากเครื่องเอกสาร์ทรอเดอร์ที่มีค่าอยู่ในช่วง $46.33-247.67 \text{ cP}$ เมื่อเปรียบเทียบแบงค์พรีเจลต้าในร์จากการกระบวนการผลิตแบงค์ทั้งสองวิธี พบร่วม แบงค์ DMF140 และ แบงค์ EMF 30 มีค่า break down สูงกว่าแบงค์พรีเจลต้าในร์นั้น ๆ ที่ผลิตด้วยวิธีเดียวกัน

ค่าความหนืดสุดท้าย (Final viscosity) แสดงถึงคุณภาพของแป้งและบ่งชี้ถึงลักษณะของแป้งเมื่อผ่านการให้ความร้อน และทำให้เย็น จากการทดลองพบว่า แป้งถ้าเยี่ยมมีค่า Final viscosity สูงกว่า แป้งถ้าเยี่ยมพิเศษเจลาตินซ์จากเครื่องทำแห้งแบบลูกกลิ้ง และแป้งพิเศษเจลาตินซ์จากเครื่องแยกทราย เนื่องจากเครื่องทำแห้งแบบลูกกลิ้งและแป้งพิเศษเจลาตินซ์ตามลำดับ ผลการทดลองแสดงให้เห็นว่า เจลของแป้งถ้าเยี่ยมดีบแข็งกว่า แป้งถ้าเยี่ยมพิเศษเจลาตินซ์จากเครื่องทำแห้งแบบลูกกลิ้ง และแป้งพิเศษเจลาตินซ์จากเครื่องแยกทราย

ค่าการคืนตัว (Setback viscosity) แสดงถึงลักษณะเนื้อสัมผัสของแป้งเมื่อยืนตัวลง โดยค่าการคืนตัวมากหรือการเกิดรีไทร์เกเรเดชันสูงเกิดจากการจัดเรียงตัวกันใหม่ของสายเชิงสสารช ด้วยพันธะไไซโตรเจน ในระหว่างการทำให้เย็น เจลแป้งที่เกิดขึ้นจะมีลักษณะแข็ง ค่าการคืนตัว คำนวณจากผลต่างของความหนืดสุดท้าย (Final viscosity) และความหนืดที่จุดสูงสุด (Trough viscosity) แป้งที่ผ่านการดัดแปลงวิธีพรีเจลาร์ติโน่จะมีค่าการคืนตัวที่ต่ำกว่าแป้ง ถั่วเขียวดิน และแป้งพรีเจลาร์ติโน่จากเครื่องเอกสาร์ทกรเดอร์ จะมีค่าการคืนตัวต่ำกว่าแป้งพรีเจลาร์ติโน่

จากเครื่องทำแห้งแบบลูกกลิ้ง เมื่อเปรียบเทียบกับแป้งที่ผลิตด้วยวิธีเดี่ยวกัน พบว่าแป้ง DMF140 และแป้ง EMF46 มีค่าการคืนตัวต่ำกว่าแป้งพรีเจเลติไนซ์อีก กระบวนการดัดแปลงแป้งด้วยวิธีพรีเจเลติไนซ์ ทำให้เกิดการสูญเสียโครงสร้างภายในเม็ดแป้ง (Granule disruption) เนื่องจากเม็ดแป้งได้รับความร้อนจากเตาเผาและแรงเฉือนในระหว่างการผลิต เป็นผลให้สายใยของอะไมโลสและอะไมโลเพคตินกลับมาสร้างพันธะไอกลูโคজใหม่ได้ช้ากว่าแป้งดิบ ซึ่งการคืนตัวของสายอะไมโลเพคตินจะมีความสัมพันธ์กับค่าความแปรผันเนื้อของข้นมปัง (Purhagen, et al., 2012)

จากการทดลองดังกล่าวแสดงให้เห็นว่าสมบัติด้านความหนืดของแป้งถ้วนเขียวพรีเจเลติไนซ์มีการเปลี่ยนแปลงเมื่อเปรียบเทียบกับแป้งถ้วนเขียวดิบ แป้งพรีเจเลติไนซ์ มีค่า Pasting temperature, Peak viscosity, Break down, Final viscosity และ Setback viscosity ต่ำกว่าแป้งถ้วนเขียวดิบ และสภาวะและเครื่องมือที่ใช้ในการดัดแปลงแป้งจะมีผลต่อคุณสมบัติด้านความหนืดของแป้ง



ภาพ 8 ความสัมพันธ์ของความหนืดและอัตราการเฉือนของแป้งถ้วนเขียวดิบและแป้งถ้วนเขียวพรีเจเลติไนซ์จากการดัดแปลงด้วยวิธีต่างๆ ที่ความเข้มข้นของแป้งร้อยละ 8

ค่าความหนืดของน้ำแป้งมีแนวโน้มลดลงเมื่อเพิ่มแรงเฉือน (Shear rate) และผลของ การให้ลดประเภท Non-newtonian และแสดงลักษณะการให้ลดประเภท Pseudoplastic หรือ

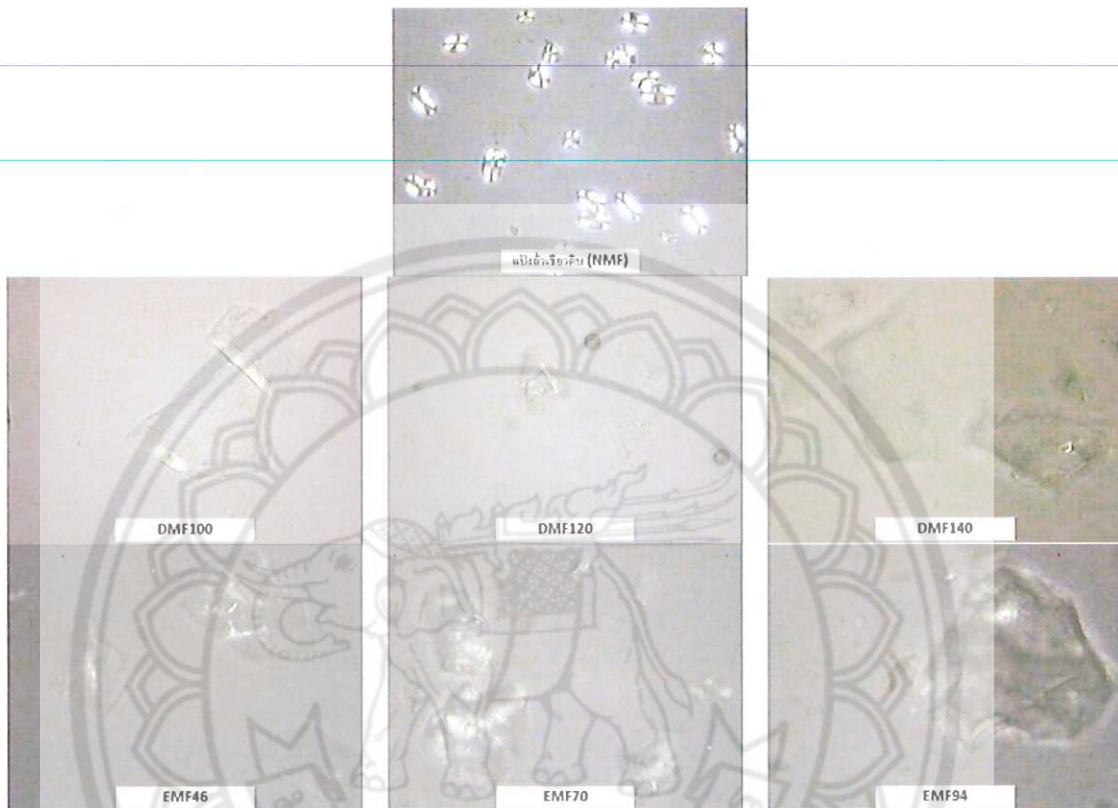
Shear thinning สอดคล้องกับงานวิจัยของ Rohaya, et al., 2013; Dogan, et al., 2005; Xue and Ngadi, 2006 ที่ศึกษาพฤติกรรมการไหลของแป้ง Batter จากแป้งข้าวเจ้าที่เติมแป้งพรีเจลาร์ในรูปแบบ Shear thinning และแป้งอื่น ๆ ในระดับที่แตกต่างกัน โดยการทดลองพบว่าพฤติกรรมการไหลของแป้งแบบเทอร์ เป็นแบบ Shear thinning

ค่าดัชนีความสามารถในการละลายของไนโตรเจน (Nitrogen Solubility Index: NSI) เป็นค่าที่แสดงถึงระดับการเสียสภาพของโปรตีน ค่า NSI จะลดลงเมื่อวัตถุดินฝ่านแรงดันหรือผ่านกระบวนการที่ให้ความร้อน (ไว้ รังสิตทอง, 2545) แป้งถั่วเขียวพรีเจลาร์ในรูปแบบ Shear thinning ความสามารถในการละลายของไนโตรเจนน้อยมาก (ไม่แสดงข้อมูล) ทั้งนี้อาจเนื่องจากแป้งพรีเจลาร์ผ่านการแปรรูปด้วยความร้อนและแรงเฉือนค่อนข้างมาก ผลให้โปรตีนเสียสภาพในระหว่างกระบวนการดัดแปลง จึงมีค่าดัชนีความสามารถในการละลายของไนโตรเจนลดลง

ภาพ 9 แสดงการดัดแปลงแป้งถั่วเขียวด้วยวิธีพรีเจลาร์ในรูปแบบ Shear thinning ที่ผลิตโดยวิธีการใช้เครื่องทำแห้งแบบถูกกลิ้งและเครื่องเอกซ์ทรูเดอร์ ต่อการเปลี่ยนแปลงลักษณะไบรีฟริงเจนส์ ของเม็ดแป้ง ตรวจสอบโดยใช้กล้องจุลทรรศน์ชนิด Polarized light microscopy โดยทั่วไป สายของอะไมโลสและอะไมโลเพกตินที่อยู่ในโครงสร้างของเม็ดแป้งจะวางตัวกันในแนวรัศมี ในแนวที่นานกันและจะสร้างพื้นฐานที่ให้โครงสร้างทั้งทางตรงหรือเกิดการเกาะตัวกันน้ำเกิดโครงสร้างที่เรียกว่า Micelles หรือ Crystallites (กล้านวงศ์ ศรีรุต และเกื้อภู ปิยะกุล, 2546) ส่วนของ Crystallites เป็นส่วนที่มีการจัดเรียงตัวอย่างเป็นระเบียบ ทำให้สถาปัตยกรรมคงรูปอยู่ได้ เรียงตัวเป็นไปในแนวตั้งจากกับผิวของเม็ดสถาปัตย์ บริเวณนี้จะตอบสนองต่อแสงไฟร้ายทำให้เกิดเม็ดสถาปัตย์เป็นกาบที่มีลักษณะเป็น Maltese cross (Birefringence หรือ Polarization cross) โดยเส้นพาด diagonals ของเม็ดสถาปัตย์เป็นกาบที่มีลักษณะเป็น Maltese cross มีส่วนตัดอยู่ที่รอยบุ๋มของเม็ดสถาปัตย์ (Hilum) (ลัดดาวลัย ไกรพานนท์, 2550)

จากการทดลองพบว่า ในแป้งถั่วเขียวดิบจะยังคงรูปร่างและลักษณะไบรีฟริงเจนส์ ได้โดยยังพ้น Maltese cross ซึ่งแสดงถึงลักษณะโมเลกุลของแป้งมีการจัดเรียงตัวกันอย่างเป็นระเบียบ มีพื้นฐานที่ให้โครงสร้างที่เกิดจากหมู่ไอกอชิลของโมเลกุลใกล้ ๆ กันเชื่อมกันอยู่ในส่วนของแป้งพรีเจลาร์ในรูปแบบ Shear thinning ที่ได้จากการผลิตทั้งสองวิธี พื้นฐานที่ให้โครงสร้างภายในโมเลกุลจะถูกทำลายส่งผลให้พื้นฐานภายในเม็ดแป้งซ่อนแอบลง เม็ดแป้งสามารถดูดซึมน้ำได้มากขึ้นและเกิดการพองตัว (ดาวรัตน์ นาคลอก และคณะ, 2554) เม็ดแป้งพรีเจลาร์ในรูปแบบ Shear thinning จึงมีการเปลี่ยนรูปร่างและสูญเสียลักษณะไบรีฟริงเจนส์และไม่พบ Maltese cross แสดงถึงการเกิดเจลาร์ในเซ็นต์อย่างสมบูรณ์ ซึ่งการเกิดเจลาร์ในรูปแบบ Shear thinning จึงทำลายโครงสร้างภายในของสถาปัตย์

ทำให้เกิดการเปลี่ยนแปลงแบบไม่ผันกลับของคุณสมบัติต่างๆ เช่น การพองตัว การหลอมเหลวของผลึก การละลายของสตาร์ช และการสูญเสียลักษณะไบรีฟริงเจนส์ (Singh, et al., 2007)



ภาพ 9 ลักษณะไบรีฟริงเจนส์จากกล้องจุลทรรศน์แบบใช้แสงโพลาไรซ์ (50X)
ของแป้งถั่วเขียวดิบและแป้งถั่วเขียวพรีเจลาติไนซ์จากการดัดแปลงด้วยเครื่อง
ทำแห้งแบบลูกกลิ้งและเครื่องเอกซ์ทรูเดอร์

สมบัติไบรีฟริงเจนส์มีความสัมพันธ์กับโครงสร้างส่วนส่วนผลึกของเม็ดแป้ง การที่เม็ดแป้งมีลักษณะไบรีฟริงเจนส์ที่ชัดเจนสามารถบ่งบอกถึงการจัดเรียงตัวของโมเลกุลภายในเม็ดแป้งอย่างมีระเบียบ (French, 1984) ผลการทดลองแสดงให้เห็นว่ากระบวนการดัดแปลงด้วยวิธีพรีเจลาติไนซ์จากเครื่องทำแห้งแบบลูกกลิ้งและเครื่องเอกซ์ทรูเดอร์ ส่งผลกระทบต่อการเปลี่ยนแปลงลักษณะไบรีฟริงเจนส์ของเม็ดแป้ง

จากการวิเคราะห์สมบัติของแป้งถั่วเขียวพรีเจลาติไนซ์ที่ผ่านการดัดแปลงด้วยเครื่องทำแห้งแบบลูกกลิ้งและเครื่องเอกซ์ทรูเดอร์ แสดงให้เห็นว่าแป้งถั่วเขียวพรีเจลาติไนซ์มีคุณสมบัติแตกต่างกันตามกระบวนการผลิตและสภาวะที่ใช้ในการดัดแปลง ซึ่งผลการทดลองดังกล่าวมีผลต่อการวางแผน

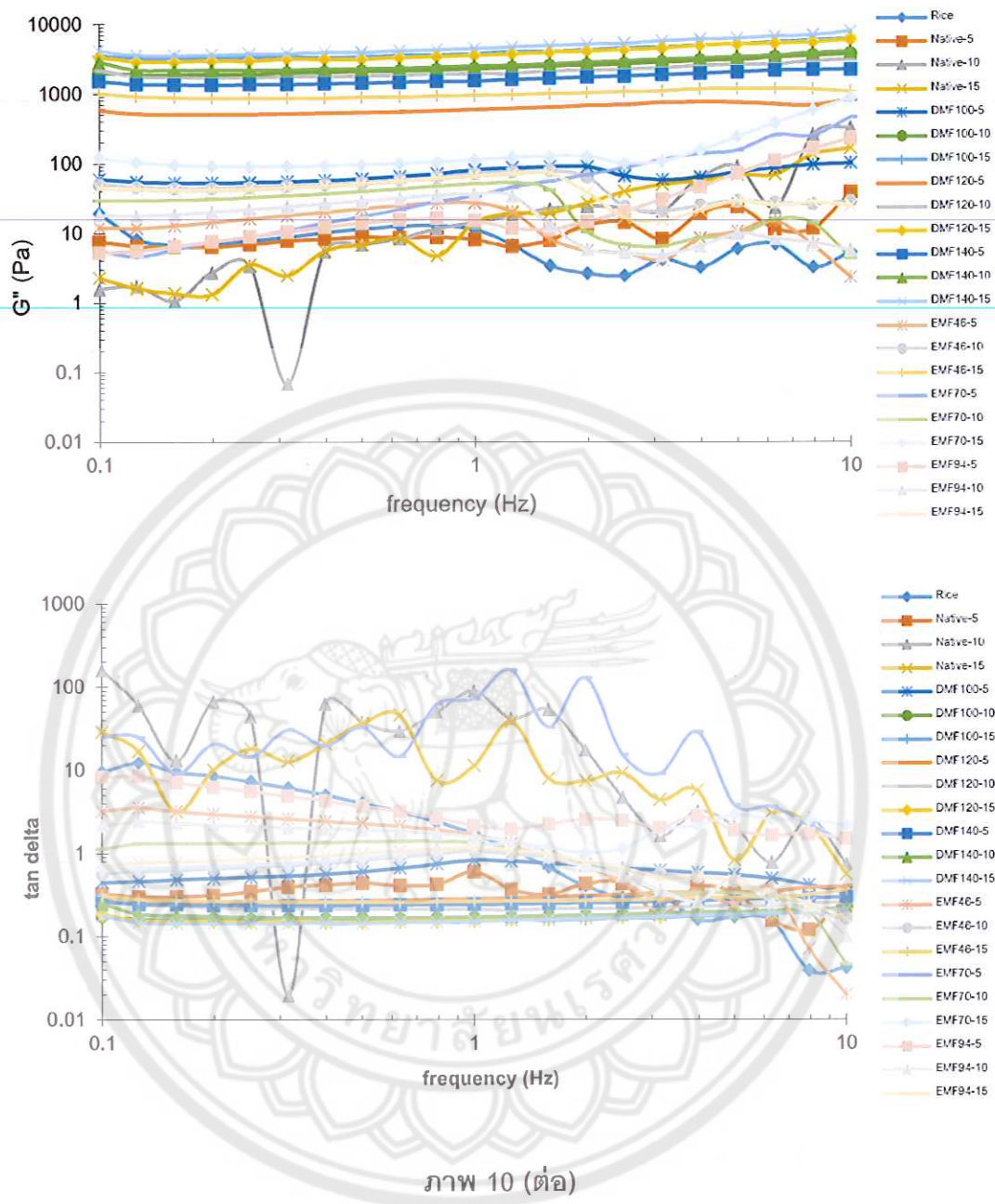
การทดลองขึ้นต่อไปที่จะทดลองแปรระดับแบงพรีเจเลติโน่จากถัวเฉียวเพื่อใชผลิตขนมปังปราศจากกลูтенจากแบงข้าวเจ้า ดังนั้นข้อมูลที่ได้จากการศึกษาข้างต้นจะเป็นข้อมูลสำคัญเพื่อใชในการอธิบายคุณสมบติของโดและคุณภาพของขnmปัง

ตอนที่ 2 การศึกษาปริมาณแบงพรีเจเลติโน่จากถัวเฉียวที่เหมาะสมต่อคุณสมบติของโดและคุณภาพของขnmปังเพื่อใชผลิตขnmปังปราศจากกลูтенสูตรมาตรฐาน

การทดลองนี้ทำการศึกษาปริมาณแบงพรีเจเลติโน่จากถัวเฉียวและคัดเลือกระดับการแทนที่ที่เหมาะสม โดยการแทนที่แบงพรีเจเลติโน่ที่ทดสอบแทนแบงข้าวเจ้าในปริมาณร้อยละ 5, 10 และ 15 และมีขnmปังที่ผลิตจากแบงข้าวสาลีและแบงข้าวเจ้าเป็นตัวอย่างควบคุมโดยจะพิจารณาคุณสมบติของโดและคุณภาพของขnmปังเพื่อใชผลิตขnmปังปราศจากกลูтенสูตรมาตรฐาน



ภาพ 10 ค่า Storage modulus (G'), Loss modulus (G'') และ Loss tangent ($\tan \delta$)
ของขnmปังปราศจากกลูтенสูตรมาตรฐานที่แทนที่แบงถัวเฉียวดิบ
และแบงถัวเฉียวพรีเจเลติโน่จากการดัดแปรด้วยเครื่องทำแห้ง¹
แบบลูกกลิ้งและเครื่องเอกสาร์ในปริมาณร้อยละ 5, 10 และ 15
ของแบงข้าวเจ้า จากการทำ Frequency sweep test



ภาพ 10 (ต่อ)

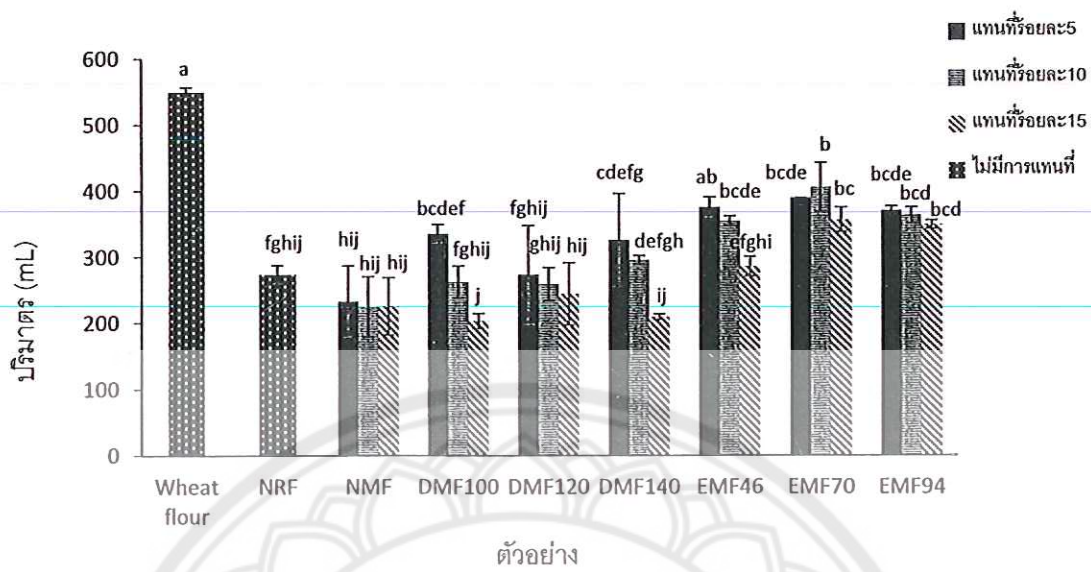
ภาพ 10 แสดงค่า Storage modulus (G'), Loss modulus (G'') และ Loss tangent ($\tan \delta$) ของขั้นบันไดจากกลุ่มสูตรมาตรฐานที่แทนที่แบ่งถัวเขียวดินและแบ่งถัวเขียวพรีเจลาร์ที่ในซึ่งจากการดัดแปลงด้วยเครื่องทำแท้แห้งแบบถูกกลึงและเครื่องเอกซ์ทรูเดอร์ในปริมาณร้อยละ 5, 10 และ 15 ของแบ่งข้าวเจ้า โดยหาค่าเบอร์เช็นต์ Strain ที่อยู่ในช่วง Linear viscoelastic range ทำการศึกษาในช่วง Strain sweep จาก 0.1-100%, Constant frequency 1 Hz เมื่อได้เบอร์เช็นต์ Strain แล้วจึงนำค่าดังกล่าวไปใช้ทดสอบ Frequency sweep test การวิเคราะห์แบบสั่นทางพลศาสตร์ (Dynamic oscillation) เป็นการวิเคราะห์การตอบสนองต่อความดัน (Stress) หรือ

ความเครียด (Strain) ภายใต้การเคลื่อนที่แบบสั่นของวัสดุ Viscoelastic แสดงเป็นค่า Storage modulus (G') คือ พลังงานที่ถูกเก็บไว้ในวัสดุเมื่อได้รับความดันหรือความเครียด (ปาริตา ชูนแอ, 2550) วัสดุจะเก็บสะสมพลังงานที่ใช้ในการเสียรูปร่างไว้ภายใน เพื่อใช้ในการคืนสูรูปเดิม (Storage partition) เมื่อถอนแรงดัน แสดงลักษณะความเป็นของแข็งที่สามารถยืดหยุ่น (Elastic) และค่า Loss modulus (G'') คือ พลังงานที่ถูกใช้ในการสร้างและสลายพันธะในระหว่างที่เกิดการเสียรูปร่างและจะสูญสลายไปไม่คืนสูรูปเดิม พลังงานที่สูญเสียไปเนื่องจากความหนืด แสดงลักษณะความเป็นของเหลวที่มีความข้นหนืด (Morris, 1995) จากการศึกษาค่า G' และ G'' ของโดยขั้นบังปลาจากกลุ่ม พบร้าที่ความถี่ 1 Hz โดยขั้นบังที่ทำจากแป้งข้าวเจ้าจะมีค่า G'' สูงกว่าค่า G' แสดงให้เห็นว่าโดยรวมแป้งข้าวเจ้ามีลักษณะความเป็นของเหลว (Liquid-like characteristic) มากกว่าความเป็นของแข็ง (Solid-like characteristic) ซึ่งสอดคล้องกับการทดลองที่พบว่าโดยที่ผลิตจากแป้งข้าวเจ้าจะมีลักษณะที่ค่อนข้างเหลว โดยที่ผลิตจากแป้งถั่วเขียวดิบและโดยแป้งพรีเจลติในร์จากเครื่องเอกสารทูเดอร์ ที่ระดับการแทนที่ทั้ง 3 ระดับ จะแสดงลักษณะใกล้เคียงกับโดยขั้นบังข้าวเจ้า สาเหตุที่เติมแป้งพรีเจลติในร์จากเครื่องทำแห้งแบบลูกกลิ้งจะมีค่า G' ที่สูงกว่าค่า G'' และถึงลักษณะของโดยที่มีความยืดหยุ่น และเมื่อระดับการแทนที่แป้งพรีเจลติในร์เพิ่มสูงขึ้นจะพบว่า ค่า G' จะเพิ่มสูงขึ้นตามลำดับ ทั้งนี้อาจเนื่องจากการเติมแป้งพรีเจลติในร์จะช่วยให้แป้งดูดซับน้ำได้มากขึ้นและมีผลต่อสมบัติทาง Viscoelastic ของโดย สงเกตได้จากที่ความหนืดเพิ่มมากขึ้น

ค่า Loss tangent ($\tan \delta$) คือสัดส่วนของการแสดงสมบัติเป็นวัสดุในหนึ่ดต่อสถานะยืดหยุ่น ($\tan \delta = G''/G'$) (ปาริตา ชูนแอ, 2550) ค่า $\tan \delta$ ของโดยขั้นบังพรีเจลติในร์จากเครื่องทำแห้งแบบลูกกลิ้ง มีค่าน้อยกว่า 1 แสดงให้เห็นถึงลักษณะโดยที่ค่อนข้างแข็งและมีความยืดหยุ่นในขณะที่โดยขั้นบังข้าวเจ้าและโดยที่มีการทดลองแป้งข้าวเจ้าด้วยแป้งพรีเจลติในร์จากเครื่องเอกสารทูเดอร์ ทั้ง 3 ระดับ จะมีค่า $\tan \delta$ มากกว่า 1 ซึ่งแสดงถึงโดยขั้นบังที่มีลักษณะเหลวอย่างไรก็ตามโดยขั้นบังข้าวเจ้าและโดยขั้นบังข้าวเจ้าที่มีการแทนที่ด้วยแป้งพรีเจลติในร์จากเครื่องเอกสารทูเดอร์ จะมีลักษณะเหลวและขึ้นโดยได้มากกว่าโดยที่เติมแป้งพรีเจลติในร์จากเครื่องทำแห้งแบบลูกกลิ้ง เมื่อขั้นบังแป้งแล้วจะได้ขั้นบังมีปริมาณมากกว่าขั้นบังที่เติมแป้งพรีเจลติในร์จากเครื่องทำแห้งแบบลูกกลิ้ง แต่เนื้อขั้นบังจะมีรูพูนขนาดใหญ่ โครงสร้างของขั้นบังไม่แข็งแรงเนื่องจากโดยมีปริมาณของของเหลวหรือน้ำมากเกินไปทำให้โครงสร้างตกร่ายไม่แข็งแรงพอ โดยที่เติมแป้งพรีเจลติในร์จากเครื่องทำแห้งแบบลูกกลิ้งมีความยืดหยุ่น เนื้อขั้นบังมีรูพูนละเอียดและมีโครงสร้างที่แข็งแรงกว่าขั้นบังที่แทนที่ด้วยแป้งพรีเจลติในร์จากเครื่องเอกสารทูเดอร์

โดยโดยของแบ้ง DMF140 จะแสดงสมบัติ Viscoelastic ที่เหมาะสมต่อการผลิตขันมปังปราศจากกัลูเตนมากที่สุด

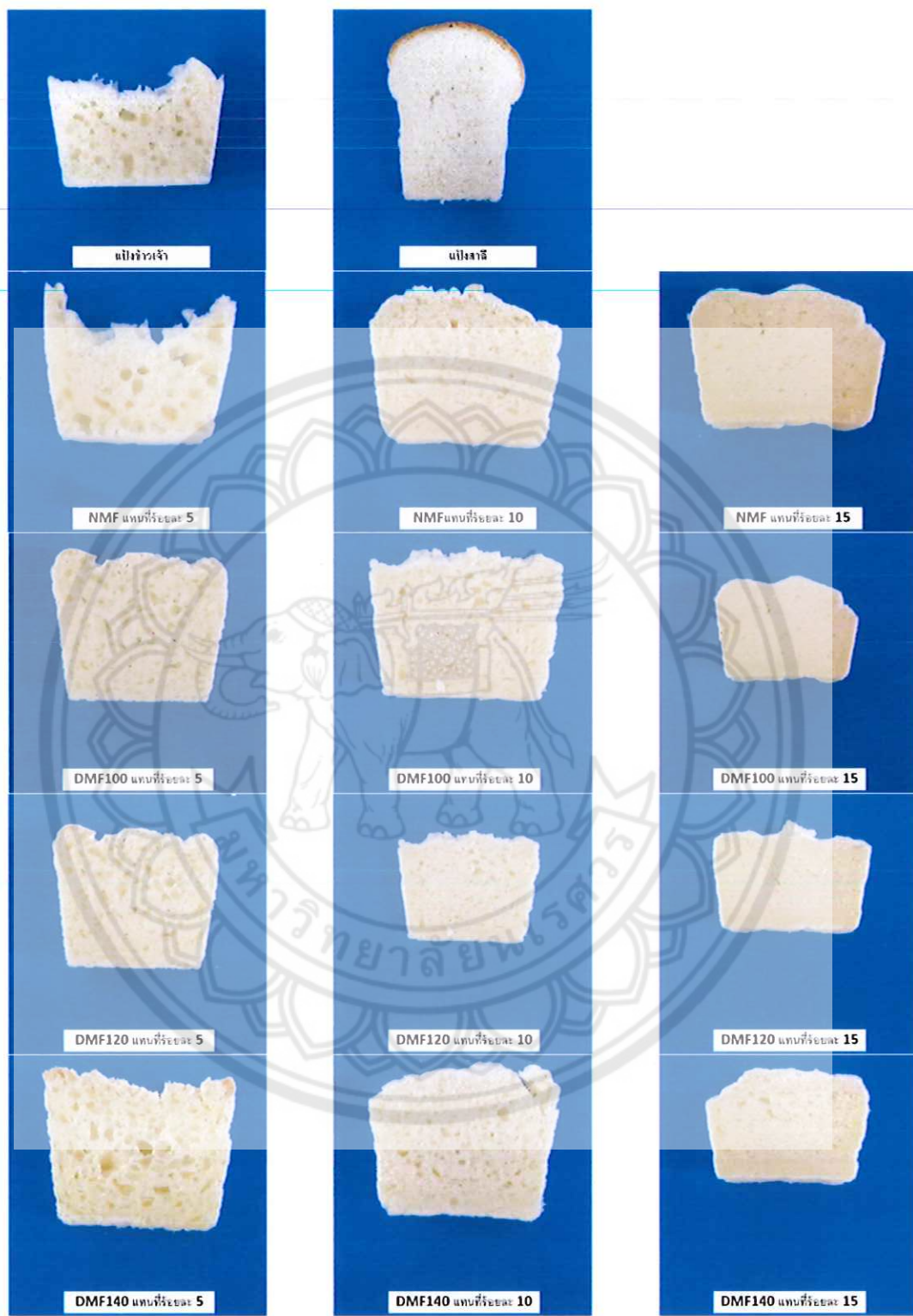
ภาพ 11 แสดงปริมาณของขันมปังปราศจากกัลูเตนสูตรมาตรฐานที่แทนที่แบ้งถัวเฉียวดิบและแบ้งถัวเฉียวพรีเจลาร์ในร้อยละ 5, 10 และ 15 จากผลการทดลองพบว่าขันมปังที่มีการแทนที่ด้วยแบ้งพรีเจลาร์ในร้อยละ 5, 10 และ 15 มีปริมาณมากกว่าขันมปังจากแบ้งถัวเฉียวดิบ และขันมปังที่ผลิตด้วยแบ้งจากเครื่องเอกสาร์ทຽเดอร์ จะมีปริมาณมากกว่าขันมปังที่ผลิตด้วยแบ้งพรีเจลาร์ในร้อยละ 5, 10 และ 15 อย่างมีนัยสำคัญทางสถิติ ($p<0.05$) ทั้งนี้อาจเนื่องจากการทดสอบแบ่งข้าวเจ้าด้วยแบ้งพรีเจลาร์จากถัวเฉียวในระดับที่เพิ่มสูงขึ้น ส่งผลทำให้ได้ความหนืดสูงขึ้น Gill, et al. (2002) ศึกษาคุณภาพของขันมปังที่ได้จากการแทนที่ด้วยแบ้งข้าวบาร์เลย์ชนิดแข็งและชนิดธรรมชาติ ทั้งแบ่งดิบและแบ่งที่ผ่านกระบวนการเอกสาร์ทຽชั้น โดยใช้แบ้งข้าวบาร์เลย์ที่ผ่านกระบวนการเอกสาร์ทຽชั้น 4 สถาบัน (LTLM, LTHM, HTLM และ HTLM) และนำไปแทนที่ 3 ระดับ คือร้อยละ 5, 10 และ 15 ของแบ้งสาลีทำการวิเคราะห์ปริมาณของขันมปังและความแน่นเนื้อ ผลจากการทดลองพบว่าเมื่อแทนที่แบ่งข้าวบาร์เลย์ในปริมาณที่สูงขึ้น ปริมาณของขันมปังจะลดลงและความแน่นเนื้อของขันมปังจะเพิ่มสูงขึ้น โดยการแทนที่ในระดับร้อยละ 5 จะให้ปริมาณและความแน่นเนื้อของขันมปังที่สุด



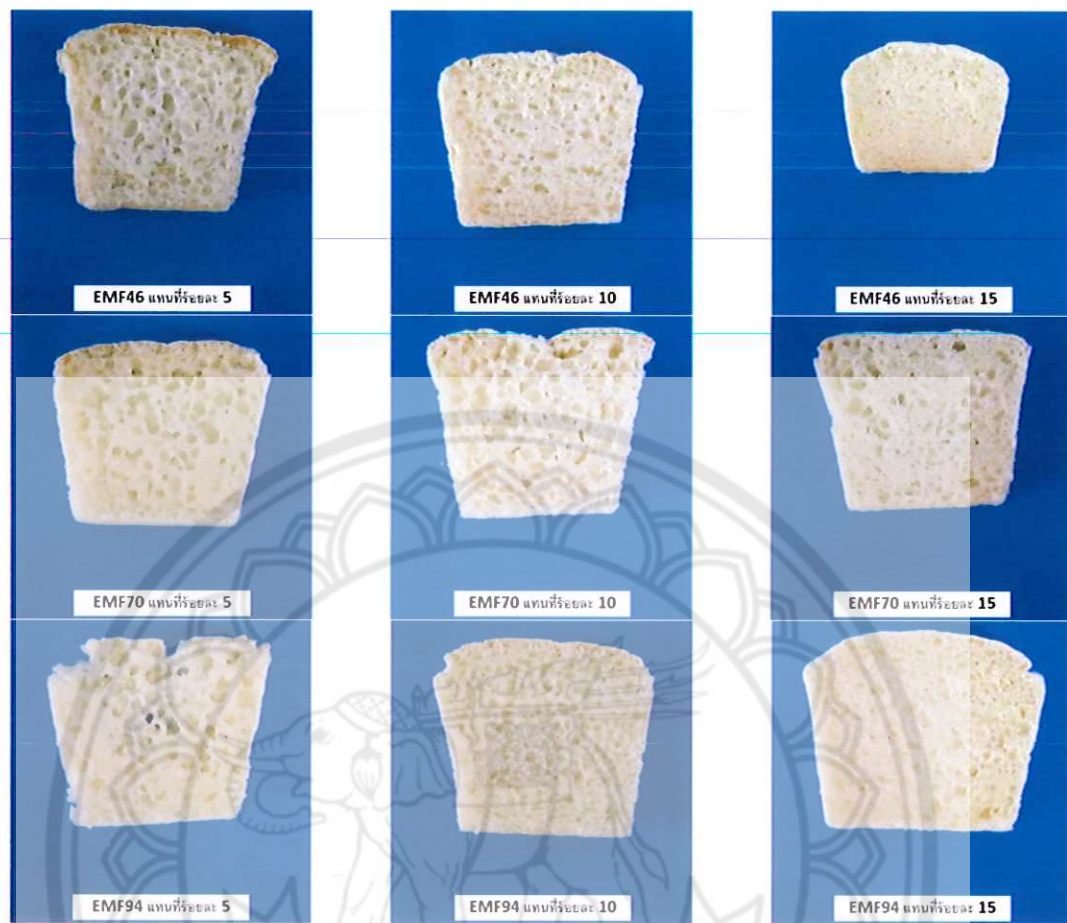
ภาพ 11 ปริมาตรของข้นมปังปราศจากกลูเตนสูตรมาตรฐานที่แทนที่แป้งถั่วเขียวดิบ และแป้งถั่วเขียวพรีเจลาริตี้จากการตัดแปรด้วยเครื่องทำแห้งแบบลูกกลิ้ง และเครื่องเอกซ์ทรูเดอร์ ในปริมาณร้อยละ 5, 10 และ 15 ของแป้งข้าวเจ้า

Curic (2007a) กล่าวว่าความสามารถในการดูดซึมน้ำจะมีความสัมพันธ์กับความหนืด เม็ดสตาร์ทที่เสียหายในระหว่างกระบวนการตัดแปรแป้งจะดูดซึมน้ำและพองตัวทำให้ได้ มีความหนืดสูงขึ้นและช่วยเพิ่มความสามารถของโดในการจับตัวกันน้ำ ในระหว่างทำการผสม และหมักได อย่างไรก็ตามเมื่อเพิ่มระดับการแทนที่ของแป้งพรีเจลาริตี้ในรูมากขึ้น ความสามารถในการขยายตัวของโดจะลดลง เนื่องจากโดยมีความหนืดสูงขึ้น ผลให้ปริมาตรของข้นมปังลดลง

ข้นมปังที่แทนที่ด้วยแป้งพรีเจลาริตี้จากเครื่องทำแห้งแบบลูกกลิ้งจะมีปริมาตร น้อยกว่าข้นมปังที่แทนที่ด้วยแป้งพรีเจลาริตี้จากเครื่องเอกซ์ทรูเดอร์ ทั้งนี้อาจเนื่องมาจากการ ของข้นมปัง ที่แทนที่ด้วยแป้งพรีเจลาริตี้จากเครื่องทำแห้งแบบลูกกลิ้งจะมีความหนืดมากกว่า



ภาพ 12 ขนมปังปราศจากกลูเตนสูตรมาตรฐานที่แทนที่แป้งถั่วเขียวดิบและแป้งถั่วเขียว พรีเจลาร์ตี้ในชีจจากการดัดแปลงด้วยเครื่องทำแห้งแบบลูกกลิ้งและกระบวนการ เอกซ์ทรูชัน ในปริมาณร้อยละ 5, 10 และ 15 ของแป้งข้าวเจ้า



ภาพ 12 (ต่อ)

ตาราง 16 คุณภาพด้านเนื้อสัมผัสของขนมปังปราศจากกลูเตนสูตรมาตรฐานที่แห้งที่แบบร้าวซีรัวดิบและแบบร้าวเชียพรีเจลต์ในชีวาก
การตัดแบบตัวยกวิถีต่างๆ ในปริมาณร้อยละ 5, 10 และ 15 ของแป้งข้าวเจ้า

ตัวอย่าง	ระดับการแทนที่ (ร้อยละ)	Hardness (g)	Gumminess (g)	Adhesiveness (gs)	Cohesiveness (gmm)	Chewiness (mm)	Springiness (mm)
Wheat flour	-	365.83±34.46 ^j	255.24±25.42 ^h	-0.14±0.18 ^a	0.71±0.02 ^{abdef}	1060.37±112.42 ^h	4.19±0.09 ^{bcdaf}
NRF	-	3,062.83±368.49 ^{de}	2,532.74±794.32 ^{do}	-0.30±0.35 ^a	0.83±0.24 ^a	10,479.19±3117.68 ^o	4.15±0.25 ^{def}
NMF	5	2,950.67±606.24 ^{do}	2,378.85±1066.48 ^{of}	-0.40±0.51 ^a	0.78±0.22 ^{abc}	9,584.55±3733.19 ^{of}	4.10±0.26 ^{eg}
	10	4,082.83±656.23 ^c	2,543.58±342.16 ^{do}	-0.41±0.24 ^a	0.63±0.06 ^{def}	10,815.48±1636.39 ^{de}	4.25±0.15 ^{abcd}
	15	4,687.83±1056.46 ^b	3,534.88±1174.83 ^{bc}	-1.04±1.35 ^{ab}	0.74±0.13 ^{abcd}	14,317.92±4596.89 ^{bc}	4.07±0.30 ^{efg}
DMF100	5	1,640.33±272.72 ^{gh}	1,144.85±200.41 ^g	-0.47±0.36 ^a	0.70±0.03 ^{bcdaf}	4,902.60±871.13 ^g	4.28±0.09 ^{abcd}
	10	2,942.67±410.86 ^{de}	2,120.83±317.39 ^{of}	-0.95±0.61 ^a	0.72±0.03 ^{abcd}	9,110.87±1519.91 ^{of}	4.29±0.14 ^{abcd}
	15	6,461.67±525.91 ^a	4,484.28±342.17 ^a	-4.89±7.12 ^c	0.70±0.08 ^{bcdaf}	18,667.56±2324.79 ^a	4.16±0.35 ^{def}
DMF120	5	1,362.33±98.67 ^{gh}	9,26.00±44.20 ^{gh}	-0.61±0.48 ^a	0.68±0.06 ^{bcdaf}	4,024.99±215.56 ^b	4.35±0.10 ^{abcd}
	10	3,092.00±1058.51 ^{de}	2,293.43±721.47 ^{of}	-1.67±1.43 ^{ab}	0.75±0.05 ^{abcd}	9,057.23±2496.47 ^{of}	3.99±0.25 ^{fg}
	15	5,934.17±369.90 ^a	3,997.85±383.19 ^{ab}	-3.17±2.70 ^{bc}	0.69±0.06 ^{bcdaf}	15,750.62±2350.19 ^g	3.93±0.32 ^g
DMF140	5	1,553.50±369.69 ^{gh}	1,038.92±333.25 ^g	-1.10±0.48 ^{ab}	0.66±0.07 ^{cdef}	4,560.96±1435.26 ^g	4.40±0.04 ^{abc}
	10	2,575.83±117.09 ^{of}	1,834.05±123.77 ^f	-1.74±1.08 ^{ab}	0.71±0.03 ^{abcdf}	7,665.37±532.01 ^f	4.18±0.17 ^{cdef}
	15	3,406.33±1179.97 ^d	3,079.66±644.95 ^{cd}	-0.65±0.32 ^a	0.79±0.07 ^{ab}	12,881.14±2199.23 ^{cd}	4.45±0.09 ^a

ตาราง 16 (ต่อ)

ตัวอย่าง	ระดับการนึ่งที่ (ร้อยละ)	Hardness (g)	Gumminess (g)	Adhesiveness (gs)	Cohesiveness (gmm)	Chewiness (mm)	Springiness (mm)
EMF46	5	1,275.00±256.23 ^h	807.73±193.31 ^{gh}	-0.19±0.29 ^a	0.64±0.09 ^{def}	3,567.96±865.89 ^{gh}	4.42±0.08 ^{abc}
	10	1,615.00±301.98 ^{gh}	986.20±151.82 ^g	-0.10±0.15 ^a	0.62±0.05 ^{ef}	4,216.05±595.71 ^g	4.28±0.13 ^{abcd}
	15	3,175.67±138.79 ^{de}	2,010.98±162.15 ^{ef}	-0.67±0.50	0.63±0.03 ^{def}	8,554.12±769.13 ^{ef}	4.25±0.10 ^{abcde}
EMF70	5	1,294.00±208.24 ^h	817.75±129.69 ^{gh}	-0.17±0.21 ^a	0.63±0.05 ^{def}	3,608.36±580.82 ^{gh}	4.41±0.05 ^{abc}
	10	1,442.67±418.54 ^{gh}	877.95±228.64 ^{gh}	-0.37±0.42 ^a	0.61±0.05 ^{ef}	3,860.47±1063.69 ^g	4.38±0.10 ^{abcd}
	15	1,764.67±518.07 ^{gh}	1,094.41±432.66 ^g	-0.35±0.69 ^a	0.60±0.08 ^{ef}	4,696.94±1917.20 ^g	4.27±0.07 ^{abcde}
EMF94	5	1,404.17±410.11 ^{gh}	888.93±271.58 ^{gh}	-0.09±0.10 ^a	0.63±0.06 ^{def}	3,847.36±1244.77 ^g	4.31±0.13 ^{abcde}
	10	1,700.83±204.14 ^{gh}	1,034.78±126.29 ^g	-0.15±0.12 ^a	0.61±0.05 ^{ef}	4,579.08±546.67 ^g	4.43±0.04 ^{ab}
	15	1,788.20±654.00 ^{fg}	1,200.91±240.21 ^g	-0.15±0.12 ^a	0.60±0.05 ^f	5,172.35±1071.70 ^g	4.30±0.07 ^{abcde}

หมายเหตุ: ตัวอักษรที่แต่งต่างกันในหน่วยวัดแสดงความแตกต่างกันอย่างมีนัยสำคัญทางสถิติ ($p<0.05$)

ตาราง 16 แสดงคุณภาพด้านเนื้อสัมผัสของขนมปังปราศจากก๊าซที่แทนที่ด้วยแบงค์ถั่วเขียวดิบและแบงค์ถั่วเขียวพรีเจลาร์ติในรูปจากการดัดแปลงทั้งสองวิธี ในปริมาณร้อยละ 5, 10 และ 15 โดยวิเคราะห์ค่าความแข็ง (Hardness) ค่าความเหนียวนิยามหรือการ (Gumminess) ค่าการเกาะตัวกันของอาหาร (Adhesiveness) ค่าความสามารถเกาะรวมตัวกัน (Cohesiveness) ค่าการทนต่อการเคี้ยว (Chewiness) และค่าความยืดหยุ่น (Springiness)

ขนมปังปราศจากก๊าซที่มีการนำไปเดรตเป็นส่วนประกอบหลัก (Segura and Rosell, 2011) มีลักษณะที่ค่อนข้างแข็งและมีผิวด้านบนแตก จากการทดลองพบว่า ขนมปังปราศจากก๊าซที่แทนที่แบงค์ถั่วเขียวดิบและแบงค์ถั่วเขียวพรีเจลาร์ติในรูปจากการดัดแปลงทั้งสองวิธี จะมีคุณภาพด้านเนื้อสัมผัสที่แตกต่างกัน

ค่าความแข็งหรือค่า Hardness คือ แรงที่ใช้ในการทำให้ตัวอย่างเสียรูป ขนมปังจากแบงค์ข้าวสาลีและขนมปังจากแบงค์ข้าวเจ้ามีค่า Hardness 365.83 g และ 3,062.83 g ตามลำดับ การแทนที่แบงค์ข้าวเจ้าด้วยแบงค์ถั่วเขียวดิบและแบงค์ถั่วเขียวพรีเจลาร์ติในร้อยละ 5 จะทำให้ขนมปังมีค่า Hardness ต่ำกว่าขนมปังที่จากแบงค์ข้าวเจ้า โดยมีค่า Hardness อยู่ในช่วง 1,294.00-2,950.67 g เมื่อระดับการแทนที่แบงค์ถั่วเขียวและแบงค์ถั่วเขียวพรีเจลาร์ติในรูปสูงขึ้นจะทำให้ค่า Hardness ของขนมปังเพิ่มสูงขึ้นตามระดับการแทนที่อย่างมีนัยสำคัญทางสถิติ ($p<0.05$) โดยมีสมพันธ์กับปริมาตรของขนมปัง (Gill, et al., 2002) ขนมปังปราศจากก๊าซที่แทนที่แบงค์ข้าวเจ้าด้วยแบงค์ถั่วเขียวดิบจะมีค่า Hardness สูงที่สุด (2,950.67 g) และขนมปังปราศจากก๊าซที่แทนที่ด้วยแบงค์พรีเจลาร์ติในรูปจากการเคื่องทำแห้งแบบลูกกลิ้งจะมีค่า Hardness (1,362.33-1,640.33 g) สูงกว่าขนมปังปราศจากก๊าซที่แทนที่ด้วยแบงค์พรีเจลาร์ติในรูปจากการเคื่อง เอกซ์ทຽเดอร์ (1,275.00-1,404.17 g) เปรียบเทียบแบ่งที่ใช้วิธีการผลิตวิธีเดียวกันในทุกระดับการแทนที่พบว่าเมื่อมีการแทนที่ด้วยแบงค์ DMF140 ขนมปังที่ได้จะมีค่า Hardness ต่ำกว่าขนมปังที่แทนที่ด้วยแบงค์ DMF100 และ DMF120 ขนมปังปราศจากก๊าซที่แทนที่ด้วยแบงค์พรีเจลาร์ติในรูปจากการเคื่องเอกซ์ทຽเดอร์ชนิด EMF46 จะมีค่า Hardness สูงกว่าแบงค์ EMF70 และ EMF94 แต่เนื้อขนมปังจะมีความสนิม่าเสนอกันทั้งแผ่น แตกต่างกับขนมปังจากแบงค์ EMF70 และ EMF94 ที่เนื้อบริเวณตรงกลางขึ้นขนมปังจะมีความหนาแน่นน้อยกว่าบริเวณด้านข้าง

ค่าความเหนียวนิยามหรือการ (Gumminess) แสดงถึงแรงที่ต้องใช้ในการแยกตัวอย่างที่เป็นกึ่งของแข็งจนกระทั่งเสียรูป จากผลการทดลองพบว่า ตัวอย่างขนมปังที่ผลิตจากแบงค์ข้าวสาลีและขนมปังที่ผลิตจากแบงค์ข้าวเจ้า จะมีค่า Gumminess เท่ากับ 255.24 และ 2,532.74 g ตามลำดับ ค่า Gumminess จะเพิ่มขึ้น เมื่อระดับการแทนที่แบงค์ข้าวเจ้าเพิ่มมากขึ้น โดย

ในทุกตัวอย่างของขنمปังปราศจากกสูทนที่แทนที่แบงช้าเจาด้วยแบงพรีเจลติในซ์จากเครื่องทำแห้งแบบลูกกลิ้งร้อยละ 5 และ 10 จะมีค่า Gumminess ต่ำกว่าขnmปังปราศจากกสูทนที่ผลิตจากแบงช้าเจา แต่จะมีค่าสูงมากกว่าเมื่อแทนที่แบงถัวเขียวและแบงถัวเขียวพรีเจลติในซ์ร้อยละ 15 ขnmปังปราศจากกสูทนที่แทนที่ด้วยแบงพรีเจลติในซ์จากเครื่องเอกซ์ทูเดอร์ จะมีค่า Gumminess ต่ำกว่าขnmปังปราศจากกสูทนที่ผลิตจากแบงช้าเจาในทุกระดับการแทนที่

ค่าการเกาะตัวกันของอาหาร (Adhesiveness) แสดงถึงพลังงานที่ใช้ในการแยกแยะ ดึงดูดระหว่างอาหารกับพื้นผิวที่สัมผัส จากการทดลองพบว่าขnmปังปราศจากกสูทนที่ผลิตจากแบงช้าเจา จะมีค่า Adhesiveness สูงกว่าขnmปังจากแบงสาลี และมีค่าเพิ่มขึ้นเมื่อมีการแทนที่แบงช้าในระดับที่สูงขึ้น

ค่าความสามารถเกาะรวมตัวกัน (Cohesiveness) แสดงถึงความแข็งแรงของพันธะภายในตัวอย่างอาหาร จากผลการทดลองพบว่าขnmปังปราศจากกสูทนที่แทนที่แบงช้าด้วยแบงถัวเขียวและแบงถัวเขียวพรีเจลติในซ์ มีค่า Cohesiveness ต่ำกว่าขnmปังปราศจากกสูทนที่ผลิตจากแบงช้าเจา (0.83) โดยขnmปังปราศจากกสูทนที่แทนที่แบงช้าเจาด้วยแบงถัวเขียวดิบ (0.63-0.78) และขnmปังปราศจากกสูทนที่แทนที่ด้วยแบงพรีเจลติในซ์จากเครื่องทำแห้งแบบลูกกลิ้ง (0.66-0.79) จะมีค่า Cohesiveness สูงกว่าขnmปังปราศจากกสูทนที่แทนที่ด้วยแบงพรีเจลติในซ์จากเครื่องเอกซ์ทูเดอร์ (0.60-0.64)

ค่าการหนต่อการเคี้ยว (Chewiness) แสดงถึงแรงที่ใช้ในการเคี้ยวหรือบดตัวอย่างจนกระทั้งเสียรูป ขnmปังปราศจากกสูทนที่ผลิตจากแบงช้าเจาจะมีค่า Chewiness (10,479.19 gmm) สูงกว่าขnmปังจากแบงช้าสาลี (1,060.37 gmm) อย่างมีนัยสำคัญทางสถิติ ($p<0.05$) และเมื่อเติมแบงถัวเขียวและแบงถัวเขียวพรีเจลติในซ์ลงไปแทนที่แบงช้าเจา จะทำให้ค่า Chewiness ลดลง เมื่อแทนที่แบงช้าเจาด้วยแบงถัวเขียวดิบและแบงพรีเจลติในซ์จากเครื่องทำแห้งแบบลูกกลิ้งร้อยละ 5 และ 10 จะมีค่า Chewiness ต่ำกว่าขnmปังปราศจาก กสูทนที่ผลิตจากแบงช้าเจา แต่เมื่อแทนที่ร้อยละ 15 ขnmปังที่ได้จะมีค่า Chewiness สูงมากขึ้น ส่วนขnmปังปราศจากกสูทนที่แทนที่ด้วยแบงพรีเจลติในซ์จากเครื่องเอกซ์ทูเดอร์ ทุกระดับจะมีค่า Chewiness ลดลงเมื่อเปรียบเทียบกับขnmปังปราศจาก กสูทนที่ผลิตจากแบงช้าเจา

ค่าความยืดหยุ่น (Springiness) คือ อัตราการคืนตัวอย่างยืดหยุ่นที่เกิดขึ้นเมื่อถอนแรงบีบอัดออก ค่า Springiness ของทุกตัวอย่างมีแนวโน้มลดลงเมื่อมีการแทนที่แบงช้าเจาในระดับที่สูงขึ้น ขnmปังจากแบงช้าเจาจะมีเมื่อสัมผัสถี่แข็ง การแทนที่แบงช้าเจาด้วยแบงพรีเจลติในซ์

ร้อยละ 5 จะให้ขั้นบังที่มีเนื้อส้มผัดดีที่สุด เมื่อเปรียบเทียบขั้นบังแต่ละสูตร พบร่วงขั้นบังจากแบง DMF140 และ EMF46 ที่ระดับการแทนที่แบงข้าวเจ้าร้อยละ 5 จะมีลักษณะของฟองอากาศ (Gas cell) สม่ำเสมอทั้งแผ่น และมีเนื้อส้มผัดดีกว่าขั้นบังสูตรอื่นๆ (ภาพ 12)

ตาราง 17 แสดงค่าสีของผลิตภัณฑ์ขั้นบังสูตรควบคุมที่ผลิตจากแบงข้าวสาลีและจากแบงข้าวเจ้า และขั้นบังปราศจากกลูเตน ที่แทนที่แบงข้าวเจ้าด้วยแบงถั่วเขียวดิบและแบงถั่วเขียวพรีเจลาติไนซ์ที่ผ่านการดัดแปลงทั้งสองวิธี ปริมาณร้อยละ 5, 10 และ 15 จากการทดลองพบว่าเปลี่ยนออกของขั้นบังจากแบงข้าวสาลีมีสีเหลืองอมน้ำตาล ส่วนเปลี่ยนออกของขั้นบังปราศจากกลูเตนจะมีสีขาว ทั้งนี้อาจเนื่องมาจากการแบงข้าวเจ้ามีปริมาณโปรตีนน้อยกว่าโปรตีนในแบงข้าวสาลี ทำให้ไม่เกิดปฏิกิริยาการเกิดสีน้ำตาลที่ไม่เกี่ยวข้องกับเอนไซม์ (Non enzymatic browning reaction) หรือปฏิกิริยาเมลลาร์ด (Maillard reaction) ในระหว่างการอบด้วยความร้อนสูง (Matos and Rosell, 2011)

จากการวิเคราะห์ค่าความสว่าง (L^*) และค่าสีเหลือง (b^*) ของเปลี่ยนออกและเนื้อในของขั้นบัง พบร่วงค่าความสว่างของเปลี่ยนออกของขั้นบังจากแบงข้าวสาลี ($L^* = 56.84$) จะมีค่าแตกต่างอย่างมีนัยสำคัญทางสถิติ ($p < 0.05$) กับขั้นบังปราศจากกลูเตน ($L^* = 63.64-80.74$) โดยเปลี่ยนออกของขั้นบังจากแบงข้าวสาลีจะค่าความสว่างต่ำที่สุด 硕ดคล่องกับงานวิจัยของ Alvarenga, et al. (2011) ที่ศึกษาความแตกต่างของลักษณะของขั้นบังปราศจากกลูเตน จากแบงข้าวโพด แบงข้าวเจ้าและแบงมันสำปะหลัง กับขั้นบังจากแบงข้าวสาลี และพบว่าสีเปลี่ยนออกของขั้นบังปราศจากกลูเตนมีค่าความสว่างสูงกว่าขั้นบังจากแบงข้าวสาลี เนื่องจากไม่มีโปรตีนกลูเตนที่สามารถนำไปสู่ปฏิกิริยาเมลลาร์ด (Maillard reaction)

ค่าสีเหลืองของเปลี่ยนออกของขั้นบังปราศจากกลูเตนที่แทนที่แบงข้าวเจ้าด้วยแบงถั่วเขียวดิบและแบงถั่วเขียวพรีเจลาติไนซ์จากการดัดแปลงด้วยเครื่องทำแห้งแบบสูกกลิ้ง และเครื่องเอกสาร์ทรูเดอร์ มีค่าสีเหลืองอยู่ในช่วง 9.84-13.98 และ 11.89-30.30 ตามลำดับ จากผลการทดลองดังกล่าวพบว่าค่าสีของเปลี่ยนออกของขั้นบังปราศจากกลูเตนจะมีค่าอยู่ในช่วงกว้าง และมีแนวโน้มไม่ซัดเจน เนื่องจากเปลี่ยนออกของขั้นบังมีลักษณะที่ไม่สม่ำเสมอ

ตาราง 17 ค่าสีเพล็กกนออกไซด์เนื้อในของขนมปังมาตรฐานสูตรมาตรฐานที่แห้งตัวเขียวดับเบิลยูพาร์เจลต้านชีวจุลทรรศน์ ในการตัดแบบครึ่องทำให้เป็นแบบลูกกลิ้งและเคลือบด้วยพาร์ฟูมเมอร์ ในปริมาณต่ออย่างละ 5, 10 และ 15 ข้อแนะนิญ

ตัวอย่าง	ระดับการแห้งที่ (ร้อยละ)	สีเพล็กกนออกไซด์			สีเนื้อใน		
		L*	a*	b*	L*	a*	b*
Wheat flour	-	56.84±6.78 ^g	8.33±5.66 ^a	26.63±6.11 ^{bc}	57.33±3.37 ^{gh}	-1.20±0.11 ^a	6.76±0.37 ^{dghi}
NRF	-	72.35±4.00 ^{bcd}	-1.28±0.31 ^{fg}	10.53±4.82 ^{hl}	55.45±2.63 ^{ghij}	-1.93±0.13 ^e	6.60±0.35 ^{efgh}
NMF	5	70.44±4.39 ^{bcd}	-0.83±0.74 ^{efg}	13.48±3.51 ^{gh}	57.39±6.75 ^{defgh}	-1.76±0.11 ^{cde}	6.77±1.14 ^{defg}
	10	63.64±4.18 ^f	-0.25±1.65 ^{efg}	12.62±3.11 ^{hl}	59.56±3.95 ^{def}	-1.87±0.22 ^{de}	6.61±0.52 ^{efgh}
	15	64.72±1.16 ^f	-1.50±0.20 ^g	9.90±0.44 ^l	60.14±2.82 ^{de}	-1.79±0.16 ^{cde}	7.22±0.78 ^{cde}
DMF100	5	73.57±8.24 ^{bcd}	0.36±0.81 ^{defg}	13.22±3.38 ^{hl}	51.84±6.30 ^j	-1.66±0.17 ^{cde}	6.51±0.51 ^{efgh}
	10	72.17±6.18 ^{bcd}	-0.04±1.35 ^{efg}	12.85±4.76 ^{hl}	64.63±0.70 ^c	-1.70±0.09 ^{cde}	7.03±0.32 ^{cdef}
	15	72.39±6.11 ^{bcd}	-0.95±0.25 ^{fg}	11.42±1.69 ^{hl}	68.97±2.38 ^{ab}	-1.63±0.10 ^{cde}	9.06±0.80 ^a
DMF120	5	71.18±4.64 ^{bcd}	-0.57±0.99 ^{fg}	10.57±2.47 ^{hl}	58.22±3.33 ^{eg}	-1.70±0.05 ^{cde}	6.39±0.40 ^{efgh}
	10	70.71±3.17 ^{bcd}	-0.99±0.11 ^{fg}	9.94±1.82 ^l	66.13±1.77 ^{bc}	-1.71±0.07 ^{cde}	8.11±0.52 ^b
	15	66.97±5.37 ^{ef}	-0.80±0.29 ^{fg}	11.17±2.00 ^{hl}	69.83±2.27 ^{ab}	-1.22±1.21 ^{ab}	9.08±0.29 ^a
DMF140	5	71.45±3.23 ^{bcd}	-0.14±1.26 ^{defg}	13.98±2.77 ^{gh}	54.94±4.68 ^{ghj}	-1.68±0.14 ^{cde}	6.08±0.34 ^{ghj}
	10	72.14±0.90 ^{bcd}	-1.12±0.44 ^{fg}	10.08±1.46 ^l	63.35±2.00 ^{cd}	-1.68±0.13 ^{cde}	7.36±0.49 ^{cd}
	15	69.91±3.01 ^{cde}	-1.06±0.15 ^{fg}	9.84±0.68 ^l	70.47±5.16 ^a	-1.51±0.30 ^{abcd}	8.83±0.33 ^a

ตาราง 17 (ต่อ)

ตัวอย่าง	รูบตัวการแพทย์ (ร้อยละ)	สีเปลือกนกออก			สีเขียวใน		
		L*	a*	b*	L*	a*	b*
EMF46	5	67.45±3.70 ^{ef}	6.60±3.63 ^{ab}	29.40±4.90 ^{ab}	51.28±3.40 ^j	-1.58±0.22 ^{cde}	4.77±0.91 ^l
	10	74.87±2.69 ^{bc}	2.05±0.62 ^d	19.32±1.61 ^{ef}	57.70±3.99 ^{egh}	-1.66±0.09 ^{cde}	6.17±0.55 ^{gh}
	15	80.74±3.94 ^a	-0.34±1.05 ^{fg}	11.89±2.40 ^{hi}	64.72±1.39 ^g	-1.63±0.12 ^{cde}	7.61±0.50 ^{bc}
EMF70	5	71.08±3.15 ^{bcd}	1.95±1.02 ^d	22.08±3.11 ^{de}	53.07±5.01 ^{ll}	-1.63±0.22 ^{cde}	5.25±0.74 ^k
	10	68.21±5.49 ^{def}	7.27±2.76 ^a	30.30±3.26 ^a	53.43±2.19 ^{hj}	-1.54±0.19 ^{bcd}	5.44±0.63 ^{jk}
	15	75.54±3.49 ^b	0.76±1.30 ^{def}	16.75±3.68 ^{fg}	57.07±5.23 ^{eghi}	-1.48±0.14 ^{abc}	6.26±0.92 ^{ghi}
EMF94	5	71.23±4.61 ^{bcd}	1.07±1.61 ^{de}	19.19±3.00 ^{ef}	53.97±5.17 ^{ghi}	-1.53±0.16 ^{abcd}	6.48±0.54 ^{ghi}
	10	67.84±6.34 ^{ef}	5.27±1.56 ^{bcd}	26.69±2.80 ^{bc}	54.18±1.47 ^{ghi}	-1.46±0.23 ^{abc}	6.02±0.44 ^{hi}
	15	70.19±3.33 ^{bcd}	4.18±0.88 ^c	23.67±2.25 ^{cd}	57.33±3.12 ^{eghi}	-1.43±0.22 ^{abc}	5.97±1.04 ^{lj}

หมายเหตุ: ตัวอักษรที่แตกต่างกันในแนวนอนและองค์ความแตกต่างในยกระดับสำคัญทางสถิติ ($p<0.05$)

สีเนื้อในขnmปังจากแบงข้าวสาลี มีค่าความสว่าง (L^*) ค่าสีแดง (a^*) และค่าสีเหลือง (b^*) เท่ากับ 57.33-1.20 และ 6.76 ตามลำดับ ซึ่งแตกต่างกันอย่างมีนัยสำคัญทางสถิติ ($p<0.05$) กับขnmปังปราศจากกลูเตน สีเนื้อในขnmปังปราศจากกลูเตนที่ผลิตจากแบงถั่วเขียวพรีเจลาติในร์ มีค่าความสว่างและค่าสีเหลืองมากกว่าขnmปังจากแบงข้าวเจ้าและขnmปังที่มีการแทนที่ด้วย แบงถั่วเขียวดิน เนื่องจากค่าสีของขnmปังจะขึ้นอยู่กับวัตถุดินที่นำมาใช้ (Ozola, et al., 2012) ซึ่งสัมพันธ์กับค่าความสว่างและค่าสีเหลืองของแบงพรีเจลาติในร์ และเมื่อแทนที่แบงพรีเจลาติในร์ ปริมาณมากขึ้น จะส่งผลให้ค่าความสว่างของขnmปังเพิ่มขึ้น

จากการศึกษาสมบัติแบงถั่วเขียวและแบงพรีเจลาติในร์จากถั่วเขียวและศึกษาระดับ การแทนที่ที่เหมาะสมจากการแทนที่แบงพรีเจลาติในร์ทัดแทนแบงข้าวเจ้าในปริมาณร้อยละ 5, 10 และ 15 ของน้ำหนักแบงข้าวเจ้า ต่อคุณสมบัติของโดยและคุณภาพของขnmปังเพื่อใช้ผลิตขnmปัง ปราศจากกลูเตนสูตรมาตรฐาน โดยคัดเลือกสูตรมาตรฐานจากคุณสมบัติทางเคมี กายภาพ และคุณสมบัติของโดย พนว่าการแทนที่แบงข้าวเจ้าด้วยแบงพรีเจลาติในร์จากถั่วเขียวร้อยละ 5 จะเป็นระดับการแทนที่ที่เหมาะสมสมต่อคุณสมบัติของโดยและคุณภาพของขnmปังปราศจากกลูเตน การเติมแบง DMF140 ซึ่งเป็นแบงพรีเจลาติในร์จากเครื่องทำแห้งแบบถูกกลึง และ แบงพรีเจลาติในร์ EMF46 จากเครื่องเอกซ์ทรูเดอร์ จะช่วยปรับปรุงคุณภาพของโดยและลักษณะทาง กายภาพของขnmปังปราศจากกลูเตนได้ดีที่สุด

สูตรขnmปังที่ได้จากการทดลองขั้นตอนนี้จะใช้เป็นสูตรมาตรฐานเพื่อนำใช้ในการศึกษา ผลของปริมาณน้ำและไฮโดรคออลลอยด์ในขnmปังปราศจากกลูเตน โดยใช้ RSM ต่อไป

ตอนที่ 3 การศึกษาปริมาณน้ำและ HPMC ที่เหมาะสมต่อการผลิตขnmปังปราศจากกลูเตน ที่ผลิตจากแบงข้าวเจ้าและแบงถั่วเขียวพรีเจลาติในร์

ขnmปังปราศจากกลูเตนที่ผลิตด้วยสูตรมาตรฐานที่ได้จากการเติมแบงถั่วเขียวพรีเจลาติในร์ลงไปนั้น ยังคงมีลักษณะทางกายภาพที่ไม่ดีเท่าที่ควร ดังนั้นการเติมไฮโดรคออลลอยด์อาจช่วยในการปรับปรุงคุณภาพของขnmปังปราศจากกลูเตน อย่างไรก็ตามการเติมไฮโดรคออลลอยด์ลงไปในส่วนผสม จะทำให้ความหนืดของโดยเพิ่มขึ้น ดังนั้นจึงจำเป็นต้องมีการ ประมวลผลปริมาณน้ำที่ใช้ในสูตร

การทดลองนี้จะมีการใช้ HPMC เป็นอนุพันธ์อีเทอร์ของเซลลูโลสที่มีหมู่อีเทอร์ 2 ชนิด ในสายโมเลกุล คือ $-OCH_2CH(OH)CH_3$ และ $-OCH_3$ มีคุณสมบัติละลายได้ในน้ำเย็น ดูดน้ำได้ ให้สารละลายที่มีความหนืด ๒๕ และเนียน เกิดเจลได้ ขณะร้อน (50-85 องศาเซลเซียส) (วรรณา ตุลยธัญ, 2549) HPMC เป็นไฮโดรคออลลอยด์ที่นิยมนิยมนำมาใช้ในการผลิตขnmปังจาก

แบ่งข้าวเจ้า เนื่องจากมีความสามารถในการดูดซึมน้ำและเกิดเป็นฟิล์มนบาง ๆ ได้ในระหว่างการหมัก จึงช่วยให้ได้สามารถกักเก็บก๊าซที่เกิดขึ้นในระหว่างกระบวนการหมักได้ดีขึ้น มีผลให้โครงสร้างภายในขنمปังเรียบเนียนและมีการกระจายตัวของพวงอากาศสม่ำเสมอ (จริยา สุขสวัสดิ์, 2554; Gujral and Rosell, 2004; Barcenas and Rosell, 2005)

ในการทดลองนี้ทำการศึกษาปริมาณน้ำและ HPMC ที่เหมาะสมต่อการผลิตขنمปังปราศจากกลูเตนที่ผลิตจากแบ่งข้าวเจ้าและแบ่งถั่วเขียวพรีเจเลตีน์โดยใช้วิธี RSM วางแผนการทดลองแบบ CCD (ตาราง 18) ขnmปัง ODMF140 จะผลิตจากแบ่งพรีเจเลตีน์ DMF140 และขnmปัง OEMF46 ที่ผลิตจากแบ่ง EMF46 ซึ่งทดลองแบ่งข้าวเจ้าในปริมาณร้อยละ 5 ทำการวิเคราะห์น้ำหนัก ปริมาตร เนื้อสันผั้ส และวิเคราะห์ค่าสี ทั้งส่วนเนื้อในและเปลือกนอกของขnmปัง ตัวแปรอิสระจะถูกเข้ารหัสให้อยู่ในช่วงระดับสูง (1) และระดับต่ำ (-1) ประปริมาณน้ำอยู่ในช่วง 90-110 มิลลิลิตร และเติม HPMC ในช่วงร้อยละ 0.5-1.5 ของน้ำหนักแบ่งทั้งหมด กำหนดให้ 1 ตัวอย่างการทดลอง จะมีจำนวนครั้งของจุดศูนย์กลางการทดลองเท่ากับ 5 จะได้ทั้งหมด 13 ชุดการทดลอง ดังตาราง 19

จากการทดลองเมื่อนำข้อมูลจากการทดลองมาสร้างเป็นสมการทางคณิตศาสตร์ซึ่งใช้อธิบายความสัมพันธ์ระหว่างปัจจัยที่ศึกษา คือปริมาณน้ำและ HPMC การวิเคราะห์ความสัมพันธ์ของปัจจัยที่ต้องการศึกษากับค่ากรัดดับสนองของปัจจัยสามารถวิเคราะห์โดยใช้แบบจำลองการทดสอบที่ระดับนัยสำคัญ $\alpha = 0.05$ แบบจำลองที่มีความเหมาะสม จะพิจารณาจากค่า p-value ที่น้อยกว่า 0.0001 ($p < 0.0001$) lack of fit ที่มากกว่า 0.05 ($p > 0.05$) และค่าสัมประสิทธิ์สัมพันธ์ (R^2) ที่มีค่าใกล้ 1 มาสร้างกราฟพื้นผิวตอบสนอง

ตาราง 18 ส่วนผสมของขnmปังสูตรมาตรฐาน

ส่วนผสม	ร้อยละของน้ำหนักแบ่งทั้งหมด
แบ่งข้าวเจ้า	95
แบ่งพรีเจเลตีน์จากถั่วเขียว	5
นมผง	10
ยีสต์แห้ง	3
น้ำตาล	5
เกลือ	1
น้ำมันพีช	2

ข้อมูลคุณภาพที่ได้ จะนำไปวิเคราะห์หาความสัมพันธ์โดยสมการถดถอยกับสูตรของ สภาวะการผลิตขั้นตอนปั๊ปปราศจากกลูเตนที่ผลิตจากแป้งข้าวเจ้าและแป้งถั่วเขียวพรีเจลาร์ตินซ์ ซึ่งได้แก่สมการของปริมาตรของขنمปัง ตามลำดับ ผลการวิเคราะห์หารูปแบบสมการแสดง ความสัมพันธ์ของปริมาณน้ำ (X_1) และ HPMC (X_2) ต่อปริมาตรของขنمปัง (Y) มีรูปแบบ ความสัมพันธ์ระหว่างปั๊ปจัยกับค่าตอบสนองของปั๊ปจัยเป็นสมการถดถอยดังตาราง 20 และ 21 จากการพิจารณาสมการถดถอยของปริมาตรของขنمปังจะเห็นว่า ค่าปริมาตรของขنمปัง จะได้รับอิทธิพลจากปริมาณน้ำและ HPMC โดยมีความสัมพันธ์แบบสมการเส้นตรง โดยปริมาตร ของขنمปังจะเพิ่มขึ้น เมื่อปริมาณของน้ำและ HPMC เพิ่มขึ้น ซึ่งสอดคล้องกับงานวิจัย ของ McCarthy, et al. (2005; Gallagher, et al., 2003) ที่รายงานว่าการเติม HPMC เป็นสาร เพิ่ม ความชื้นหนึ่ด หมุ่ยื่นดรอกซิล ของ HPMC จะเข้าจับกับน้ำเพิ่มการคุ้งชับน้ำมากขึ้น สงผลให้ความ หนืดของโดเพิ่มขึ้น แต่หากโดยมีความหนืดมากเกินไปสงผลให้โดยขยายตัวได้ยาก การเติมน้ำจะช่วย ปรับปรุงให้ความหนืดของโดที่เติม HPMC ลดลง เพื่อให้สามารถขยายตัวในระหว่าง การหักได้ ดังนั้นปริมาตรของขنمปังจึงเพิ่มขึ้น

ตาราง 19 สภาวะและรหัสของปริมาณน้ำและ HPMC ที่ใช้ในการผลิตขั้นตอนปั๊ปปราศจาก กลูเตนจากการออกแบบการทดลองด้วย RSM วางแผนการทดลองแบบ CCD

สภาวะ	รหัส		น้ำ (มิลลิลิตร)	HPMC (ร้อยละ)
	น้ำ	HPMC		
1	-1	-1	90.00	0.50
2	+1	-1	110.00	0.50
3	-1	+1	90.00	1.50
4	+1	+1	110.00	1.50
5	-1.414	0	85.86	1.00
6	+1.414	0	114.14	1.00
7	0	-1.414	100.00	0.29
8	0	+1.414	100.00	1.71
9	0	0	100.00	1.00
10	0	0	100.00	1.00
11	0	0	100.00	1.00
12	0	0	100.00	1.00
13	0	0	100.00	1.00

ตาราง 20 แบบจำลองคุณภาพสำหรับการหาปริมาณน้ำและ HPMC ที่เหมาะสมต่อการผลิตข้นมปังปราศจากกลูเตน ODMF140

ค่าคุณภาพ	Model	Prob (P)>F		
		Model	Lack-of-Fit	R ²
น้ำหนักข้นมปัง	Linear	< 0.0001	p>0.05 (0.8890)	0.90
ปริมาณร่วนมปัง	Linear	< 0.0001	p>0.05 (0.1344)	0.88
hardness	Quadratic	< 0.0001	p>0.05 (0.7599)	0.98
Gumminess	Linear	< 0.0001	p>0.05 (0.5339)	0.85
chohesiveness	Linear	0.0648	p>0.05 (0.3318)	0.54
chewiness	Linear	< 0.0001	p>0.05 (0.5098)	0.87
springiness	Linear	0.0706	p>0.05 (0.3079)	0.41

หมายเหตุ: ข้นมปัง ODMF140 คือ ข้นมปังที่ได้จากการออกแบบการทดลองด้วย RSM ที่ผลิตด้วยแป้ง DMF140 น้ำ 110 มิลลิลิตรและ HPMC ร้อยละ 1.5 ของน้ำหนักแป้งทั้งหมด

ตาราง 21 แบบจำลองคุณภาพสำหรับการหาปริมาณน้ำและ HPMC ที่เหมาะสมต่อการผลิตข้นมปังปราศจากกลูเตน OEMF46

ค่าคุณภาพ	Model	Prob (P)>F		
		Model	Lack-of-Fit	R ²
น้ำหนักข้นมปัง	Linear	< 0.0001	p>0.05 (0.1141)	0.88
ปริมาณร่วนมปัง	Linear	< 0.0001	p>0.05 (0.3833)	0.87
hardness	Quadratic	< 0.0001	P<0.05 (0.0035)	0.96
Gumminess	Quadratic	0.0006	P<0.05 (0.0171)	0.93
chohesiveness	Linear	0.0003	p>0.05 (0.6738)	0.81
chewiness	Quadratic	0.0007	P<0.05 (0.0368)	0.93
springiness	Linear	-	P<0.05 (0.0100)	0

หมายเหตุ: ข้นมปัง OEMF46 คือ ข้นมปังที่ได้จากการออกแบบการทดลองด้วย RSM ที่ผลิตด้วยแป้ง EMF46, น้ำ 110 มิลลิลิตรและ HPMC ร้อยละ 1.5 ของน้ำหนักแป้งทั้งหมด

การทดลองเพื่อทำนายปริมาณของขnmปงปราชจากกฐтенแล้ว จึงนำมาสร้างกราฟ
สามมิติของพื้นผิวตอบสนองต่อน้ำหนักและปริมาณของขnmปงปราชจากกฐтен ดังภาพ 13
และ 14 จากภาพพบว่าปริมาณน้ำและ HPMC ที่เหมาะสม (Optimization) ต่อการผลิตขnmปงคือ¹³
สูตรที่เติมน้ำ 110 มิลลิลิตร และ HPMC ร้อยละ 1.5 ของน้ำหนักแป้งทั้งหมด (ส่วน率 4) โดยให้
น้ำหนักและปริมาณของขnmปงมากที่สุด

จากการทดลองข้าเพื่อยืนยันการวิเคราะห์ข้อมูลด้วยวิธีพื้นผิวตอบสนอง โดยใช้สูตร
ขnmปงที่ได้จากการออกแบบการทดลองด้วย RSM (ขnmปง ODMF140 และ OEMF46)
เปรียบเทียบกับขnmปงจากการทดลองเพื่อยืนยันผล พบว่าค่าที่ได้จากการประมาณจากสมการ
ที่ใช้ทำนายของขnmปง ODMF140 และขnmปง OEMF46 มีน้ำหนักเท่ากับ 191.43 และ 190.17 กรัม
และมีปริมาตร 468.67 และ 459.95 มิลลิลิตร ตามลำดับ ซึ่งมีค่าใกล้เคียงกับน้ำหนักและปริมาตร
ของขnmปงที่ได้จากการทดลองยืนยันผล โดยที่น้ำหนักของขnmปง ODMF140 และขnmปง
OEMF46 เท่ากับ 189.37 และ 191.48 กรัม และปริมาตรเท่ากับ 461.67 และ 470.00 มิลลิลิตร
ตามลำดับ

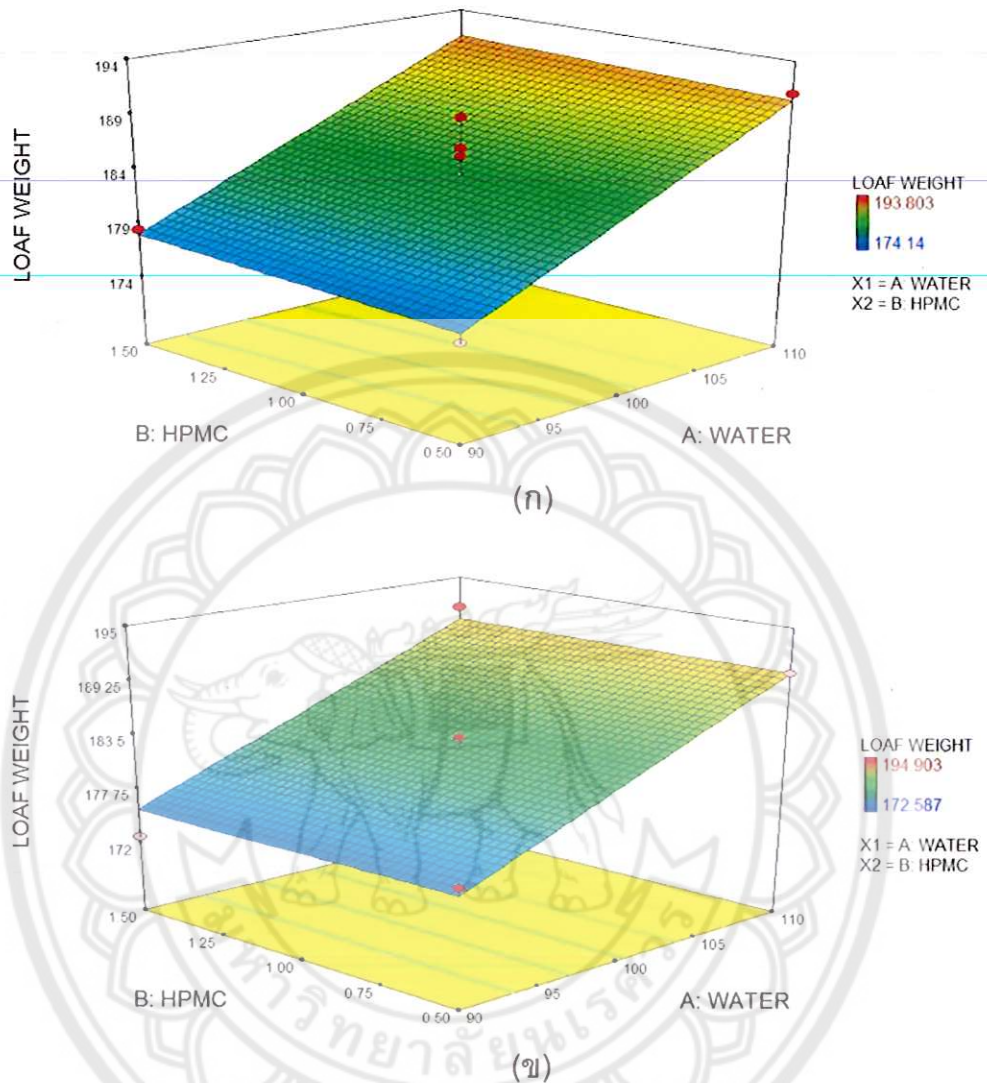
จากตาราง 20 และ 21 แสดงแบบจำลองคุณภาพสำหรับการหาส่วน率ที่เหมาะสมของ
ขnmปงปราชจากกฐтен ODMF140 และ OEMF46 เมื่อนำข้อมูลจากการทดลองมาสร้างเป็น¹⁴
สมการทางคณิตศาสตร์ซึ่งใช้อธิบายความสัมพันธ์ระหว่างปัจจัยที่ศึกษา คือปริมาณน้ำและ
HPMC ทำการคัดเลือกเฉพาะสมการที่มีค่า p-value ที่น้อยกว่า 0.0001 ($p<0.0001$), lack of fit
ที่มากกว่า 0.05 ($p>0.05$) และค่าสัมประสิทธิ์สัมพันธ์ (R^2) ที่มีค่าใกล้ 1 มาสร้างกราฟพื้นผิว
ตอบสนอง ซึ่งได้แก่สมการของน้ำหนักและปริมาณของขnmปง โดยแสดงสมการดังตาราง 22

ตาราง 22 สมการของน้ำหนักและปริมาณของขnmปงปราชจากกฐтен ODMF140 และ
OEMF46 จากการออกแบบการทดลองด้วย RSM

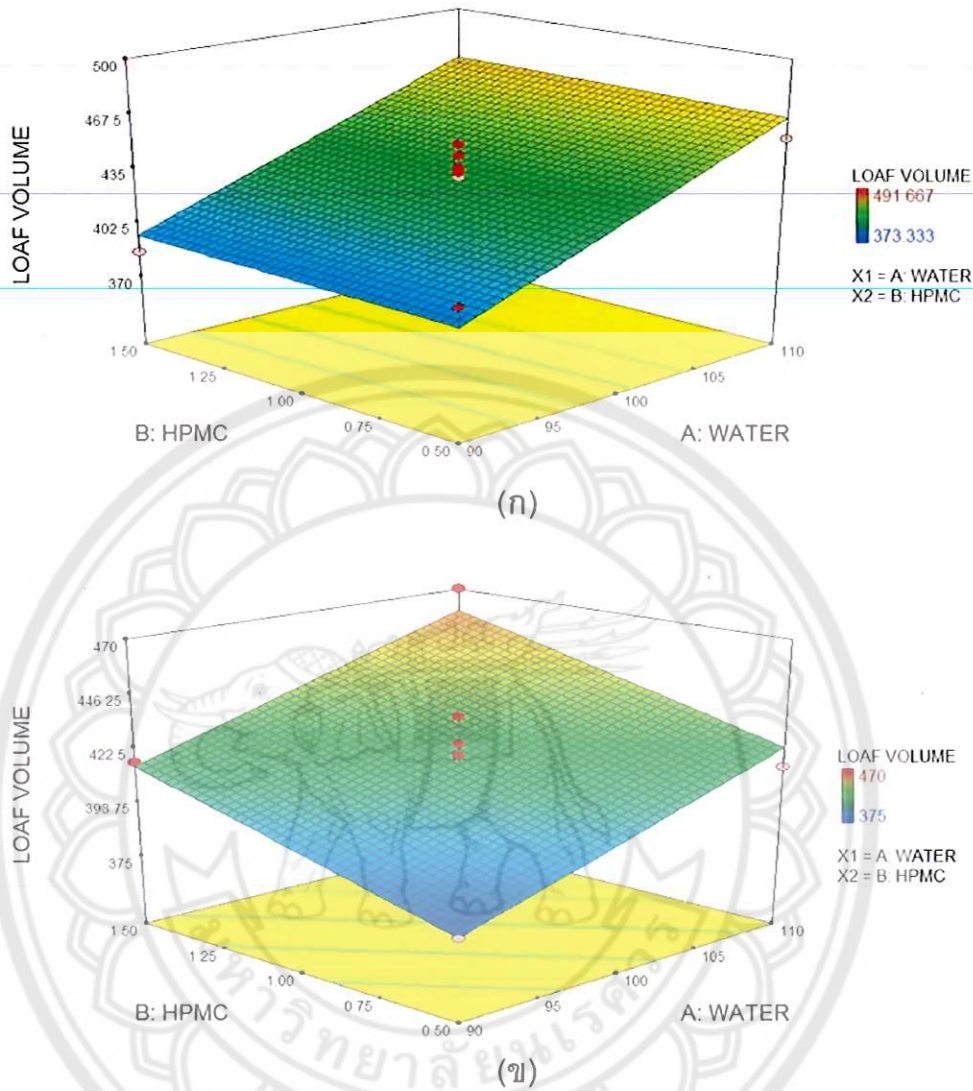
ตัวอย่าง	ค่าคุณภาพ	สมการ	R^2
ODMF140	น้ำหนัก	$Y = 148.24 + 6.71X_1 + 0.48X_2$	0.90
	ปริมาตร	$Y = 60.1885 + 3.6752X_1 + 2.8036X_2$	0.88
OEMF46	น้ำหนัก	$Y = 182.98 + 7.28X_1 - 0.082X_2$	0.88
	ปริมาตร	$Y = 158.6034 + 2.2446X_1 + 36.2970X_2$	0.87

หมายเหตุ: X_1 หมายถึง ปริมาณน้ำ (มิลลิลิตร)

X_2 หมายถึง ปริมาณ HPMC (ร้อยละของน้ำหนักแป้งทั้งหมด)



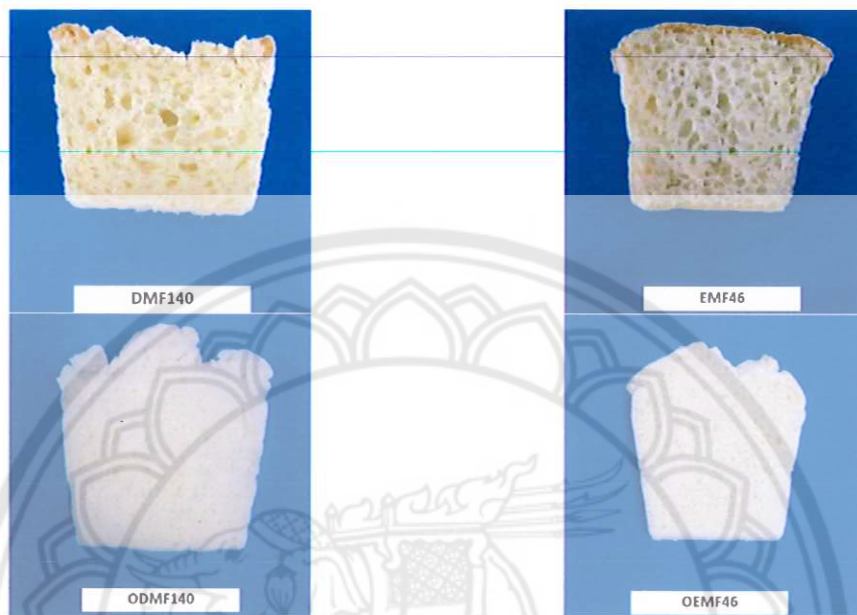
ภาพ 13 กราฟสามมิติของพื้นผิวตอบสนองต่อหน้าหักของขนมปังปราศจากกลูเตน โดยแสดงความสัมพันธ์ระหว่างปริมาณน้ำและ HPMC ที่ใช้ในการผลิตขนมปังปราศจากกลูเตนที่ผลิตจากแป้งข้าวเจ้าและแป้งถั่วเขียวพรีเจลาราดีไนซ์;
 (ก) ขนมปังปราศจากกลูเตน ODMF140, (ข) ขนมปังปราศจากกลูเตน OEMF46



ภาพ 14 グラフสามมิติของพื้นผิวตอบสนองต่อปริมาณของขนมปังปราศจากกลูเตน โดยแสดงความสัมพันธ์ระหว่างปริมาณน้ำและ HPMC ที่ใช้ในการผลิตขนมปังปราศจากกลูเตนที่ผลิตจากแป้งข้าวเจ้าและแป้งถั่วเขียวพรีเจลาร์ในชุด (ก) ขนมปังปราศจากกลูเตน ODMF140, (ข) ขนมปังปราศจากกลูเตน OEMF46

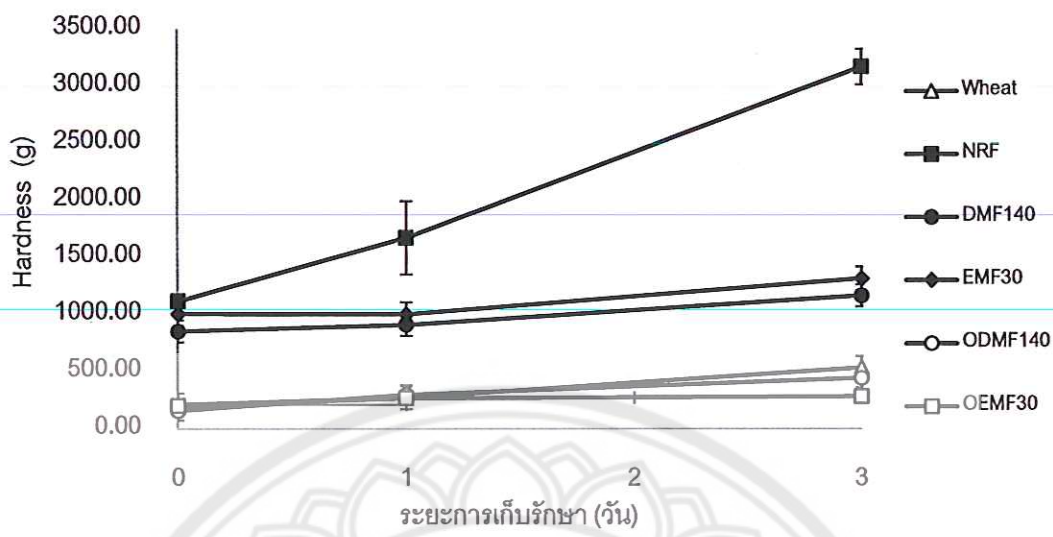
ขนมปังปราศจากกลูเตน ODMF140 และ OEMF46 สูตรที่ผลิตด้วยแป้งข้าวเจ้าและแป้งถั่วเขียวพรีเจลาร์ที่ระดับการแทนที่ร้อยละ 5 ที่มีการใช้น้ำ 110 มิลลิลิตร และ HPMC ร้อยละ 1.5 ของน้ำหนักแป้งทั้งหมด จะมีคุณภาพดีขึ้นกว่าขนมปังสูตรมาตรฐานที่ไม่มีการเติมไฮโดรคออลลอยด์ เช่น ปริมาณของขนมปังเพิ่มขึ้น และมีลักษณะของฟองอากาศเล็กและสม่ำเสมอ กระจายทั่วทั้งแผ่นขนมปัง (ภาพ 15) แสดงให้เห็นว่าการผลิตขนมปังปราศจากกลูเตนด้วยสูตร

ที่ได้จากการออกแบบการทดลองด้วย RSM วางแผนการทดลองแบบ CCD สามารถปรับปรุงคุณภาพของขนมปังปราศจากกลูเตนให้มีคุณภาพที่ดีขึ้นได้



ภาพ 15 เปรียบเทียบขนมปังปราศจากกลูเตนสูตรมาตรฐาน (DMF140 และ EMF46) และขนมปังที่ได้จากการออกแบบการทดลองด้วย RSM (ODMF140 และ OEMF46)

ตอนที่ 4 ผลศึกษาการเปลี่ยนแปลงในระหว่างการเก็บรักษาขนมปังปราศจากกลูเตนจากการทดลองในตอนที่ 3 ได้ทำการคัดเลือกสูตรที่ใช้ปริมาณน้ำและ HPMC ที่เหมาะสมต่อการผลิตขนมปังปราศจากกลูเตน ได้แก่ สูตรที่เติมน้ำ 110 มิลลิลิตร และเติม HPMC ร้อยละ 1.5 ของน้ำหนักแป้งทั้งหมด โดยใช้แป้ง DMF140 และแป้ง EMF46 ร้อยละ 5 นำมาศึกษาการเปลี่ยนแปลงในระหว่างการเก็บรักษา โดยทำการเก็บรักษาขนมปังในถุงพลาสติกชนิด PP ที่ปิดผนึกสนิท เก็บที่อุณหภูมิห้อง เป็นเวลา 3 วัน ได้แก่ วันที่ 0, 1 และ 3 เปรียบเทียบกับขนมปังจากแป้งสาลี ขนมปังจากแป้งข้าวเจ้าและขนมปังปราศจากกลูเตนผลิตจากสูตรฐานที่ไม่มีการเติม HPMC



ภาพ 16 การเปลี่ยนแปลงของค่า Hardness ของขนมปังปราศจากกลูเตนระหว่างการเก็บรักษา 0, 1 และ 3 วัน

ภาพ 16 แสดงการเปลี่ยนแปลงของค่า Hardness ของขนมปังปราศจากกลูเตนระหว่างจากการทดลองพบว่า ขนมปังมีความแน่นเนื้อหรือความแข็งเพิ่มขึ้น เมื่อเก็บรักษาเป็นระยะเวลานานนี้ ทั้งนี้อาจเกิดจากการเสื่อมเสียที่เรียกว่า สเตลิง (Staling) ซึ่งมีสาเหตุมาจาก 2 ปัจจัย คือ น้ำที่บริโภคนำเข้าขนมปังเกิดการเคลื่อนย้ายไปยังผิวเปลือกนอกของขนมปัง (Baik and Chinachoti, 2000) และสตาร์ชเกิดริพาระเดชัน (Cauvain, 1998) จากการศึกษาของ Seyhun, et al. (2005) พบว่าการตกผลึกข้าว (recrystallization) ของสตาร์ช จะส่งผลต่อค่าความแน่นเนื้อของขนมปัง มีค่าเพิ่มขึ้น

ในวันที่ 0 ของการเก็บรักษาขนมปังจากแบ้งข้าวเจ้าจะมีค่า Hardness มากที่สุด (1,115.33 g) เมื่อเปรียบเทียบกับขนมปังชนิดอื่น และในวันที่ 3 ของการเก็บรักษา ค่า Hardness ของขนมปังจากแบ়งข้าวเจ้าจะเพิ่มขึ้นอย่างมีนัยสำคัญทางสถิติ ($p<0.05$) และมีอัตราการเพิ่มขึ้นของค่า Hardness สูงที่สุด ดังแสดงในภาพ 15 ขนมปังปราศจากกลูเตน ODMF140 และ OEMF46 จะมีความแน่นเนื้อและมีอัตราการเพิ่มขึ้นของค่า Hardness ต่ำกว่าขนมปังจากแบ়งข้าวเจ้า สันนิษฐานได้ว่าแบ়งพรีเจลلاتีไนซ์มีส่วนช่วยเพิ่มความสามารถในการจับกันน้ำมากขึ้น สายใยของ HPMC จะเข้าไปสร้างพันธะกับสายพอลิเมอร์ของแบ়ง ผลให้ขัดขวางการคืนตัวของแบ়ง ดังนั้นการเพิ่มแบ়งพรีเจลلاتีไนซ์จากถั่วเขียวและ HPMC เข้าไปในสูตรขนมปังปราศจากกลูเตน จะสามารถช่วยลดการเกิดสเตลิงได้ (Barcenas and Rosell, 2005)

ข้นมปงปราชจากกฐูเตนมีการเปลี่ยนแปลงความชื้นเพิ่มขึ้นจากความชื้นเริ่มต้นร้อยละ 1-2 (ไม่แสดงข้อมูล) ในระหว่างการเก็บรักษา พบรอยน้ำเกาะอยู่ที่เปลือกนอกของข้นมปง สันนิษฐานว่าไอน้ำดังกล่าวมาจากการเคลื่อนย้ายของน้ำจากเนื้อของข้นมปงไปยังเปลือกนอก อีกทั้งถุงพลาสติกชนิด PP ป้องกันการซึมผ่านของไอน้ำได้ จึงเป็นผลให้ทำให้เปลือกนอกของข้นมปงชื้นและนิ่ม

เมื่อนำข้นมปงปราชจากกฐูเตน ODMF140 และ OEMF46 ไปศึกษาค่าเอนทาลปีของ การเกิดริโทรเกรเดชั่น พบร่วมกับข้นมปงปราชจากกฐูเตน ODMF140 (0.49 Jg^{-1}) จะมีค่าเอนทาลปีของ การเกิดริโทรเกรเดชั่นสูงกว่าข้นมปงปราชจากกฐูเตน OEMF46 (0.21 Jg^{-1}) ซึ่งสอดคล้องกับค่า Hardness ที่ทำการศึกษา

ตาราง 23 ปริมาณจุลินทรีย์ทั้งหมดและปริมาณยีสต์รวมของข้นมปงปราชจากกฐูเตน

ตัวอย่าง	จำนวนจุลินทรีย์ทั้งหมด (cfu/g)			ยีตส์และรา (cfu/g)		
	วันที่ 0	วันที่ 1	วันที่ 3	วันที่ 0	วันที่ 1	วันที่ 3
Wheat	<10	2.50×10^4	2.40×10^6	<100	<100	5.00×10^2
NRF	<10	1.46×10^6	4.40×10^7	<100	<100	2.30×10^2
DMF140	<10	3.20×10^5	3.08×10^7	<100	<100	9.00×10^2
EMF46	<10	1.10×10^4	1.50×10^7	<100	<100	2.70×10^3
ODMF140	<10	1.63×10^6	5.20×10^7	<100	<100	2.62×10^2
OEMF46	<10	1.34×10^6	3.60×10^7	<100	<100	1.89×10^2

หมายเหตุ: * <10 , * <100 ตรวจไม่พบ (ในตัวอย่างที่เจือจากต้มสุก)

ตาราง 23 แสดงการเปลี่ยนแปลงปริมาณจุลินทรีย์ทั้งหมดและปริมาณยีสต์รวมของข้นมปงปราชจากกฐูเตนระหว่างการเก็บรักษา 0, 1 และ 3 วัน จากการทดลองพบว่าปริมาณเชื้อจุลินทรีย์ของข้นมปงปราชจากกฐูเตนและข้นมปงปูตระกวนคุณมีปริมาณเพิ่มมากขึ้นเมื่อระยะเวลาในการเก็บรักษานานขึ้น เมื่อเปรียบเทียบผลการทดลองกับเกณฑ์มาตรฐานผลิตภัณฑ์ชุมชนว่าด้วยเรื่อง ข้นมปงปอนด์ (มพช.747/2548) ที่ระบุว่าจำนวนจุลินทรีย์ทั้งหมดต้องไม่เกิน 1×10^4 โคลนีต่อตัวอย่าง 1 กรัม พบร่วมกับจำนวนจุลินทรีย์ทั้งหมดของข้นมปงในทุกตัวอย่างจะเกินเกณฑ์มาตรฐานที่กำหนดไว้ ตั้งแต่วันที่ 1 และ 3 ของการเก็บรักษา ปริมาณยีสต์และราจะตรวจไม่พบในวันที่ 0

และ 1 ของการเก็บรักษา แต่จะตรวจพบปริมาณยีสต์และราเกินกว่าเกณฑ์มาตรฐานผลิตภัณฑ์ชุมชนในวันที่ 3 ของการเก็บรักษา โดยมาตรฐานผลิตภัณฑ์ชุมชนกำหนดให้ว่าปริมาณยีสต์และราก้อนน้อยกว่า 100 โคลินีต่อตัวอย่าง 1 กรัม ทั้งนี้การที่ปริมาณจุลินทรีย์ทั้งหมดและปริมาณยีสต์รวมของขนมปังปราศจากกลูเตนและขนมปังสูตรควบคุมมีค่าเกินกว่าเกณฑ์ที่กำหนดในระยะเวลาการเก็บรักษาที่สั้นนั้น อาจเนื่องจากขนมปังในทุกตัวอย่างมีความชื้นเพิ่มขึ้น สงผลให้จุลินทรีย์เจริญได้มากขึ้น



บทที่ 5

บทสรุป

ตอนที่ 1 การศึกษาองค์ประกอบทางเคมี ภายในภาพของแป้งถั่วเขียวดิบ แป้งข้าวเจ้า ทางการค้าและแป้งถั่วเขียวพรีเจลาร์ตินซ์

แป้งพรีเจลาร์ตินซ์จากถั่วเขียว ที่ดัดแปลงโดยใช้เครื่องทำแห้งแบบลูกกลิ้ง และเครื่องเอกสาร์ ทຽดเดอร์ มีค่าดัชนีการดูดซับน้ำ กำลังการพองตัวและการละลายเพิ่มขึ้นเมื่อเปรียบเทียบกับแป้งถั่วเขียวดิบ และค่าดังกล่าวจะเพิ่มขึ้นเมื่อระดับการเกิดพรีเจลาร์ตินซ์ของแป้งสูงขึ้น แป้งพรีเจลาร์ตินซ์ มีค่าความสว่างลดลง และมีค่าสีเหลืองเพิ่มสูงขึ้น ค่าพลังงานในการเกิดเจลาร์ตินซ์ขึ้นของแป้งพรีเจลาร์ตินซ์ มีค่าต่ำกว่าแป้งถั่วเขียวดิบ Peak viscosity และ Set back ที่วิเคราะห์ด้วยเครื่อง RVA จะมีค่าลดลงเมื่อเปรียบเทียบกับแป้งถั่วเขียวดิบ โดยแป้ง DMF140 และแป้ง EMF46 มีค่าการดันตัวต่ำกว่าแป้งพรีเจลาร์ตินซ์ฯ ที่ผลิตด้วยวิธีเดียวกัน การดัดแปลงโดยใช้เครื่องทำแห้งแบบลูกกลิ้งและเครื่องเอกสาร์ทຽดเดอร์ จะทำให้มีดีแป้งสูญเสียโครงสร้างและสูญเสียลักษณะไบรีฟิงเจนส์

ตอนที่ 2 การศึกษาปริมาณแป้งพรีเจลาร์ตินซ์จากถั่วเขียวที่เหมาะสมสมดุลคุณสมบัติของได และคุณภาพของขนมปังเพื่อใช้ผลิตขนมปังปราศจากกลูเตนสูตรมาตรฐาน

แป้ง DMF140 และ EMF46 ที่ระดับการแทนที่แป้งข้าวเจ้าร้อยละ 5 สามารถนำมาพัฒนาเป็นขนมปังปราศจากกลูเตนที่มีคุณภาพ มีลักษณะของฟองอากาศ (Gas cell) สม่ำเสมอ ทั้งแห่น และมีเนื้อสัมผัสตื้อกว่าขนมปังสูตรอื่น และขนมปังจากแป้ง EMF46 จะมีปริมาตรสูงกว่า ขนมปังจากแป้ง DMF140 ขนมปังจากแป้งข้าวเจ้าจะมีเนื้อสัมผัสที่แข็งและเมื่อมีการแทนที่ด้วยแป้งพรีเจลาร์ตินซ์จะทำให้ค่าความแข็งของขนมปังลดลง เมื่อเพิ่มระดับการแทนที่ของแป้งพรีเจลาร์ตินซ์มากขึ้นขนมปังจะมีปริมาตรลดลงและมีค่าความแข็งของขนมปังสูงขึ้น

ขนมปังปราศจากกลูเตนจะมีค่าความสว่างที่เปลี่ยนออกของขนมปังมากกว่าขนมปังจากแป้งสาลี และมีค่าสีเหลืองของเนื้อขนมปังมากกว่าขนมปังจากแป้งข้าวเจ้าและขนมปังที่มีการแทนที่ด้วยแป้งถั่วเขียวดิบ โดยมีความสัมพันธ์เชิงบวกกับค่าความสว่างและความแข็งของแป้งพรีเจลาร์ตินซ์ที่มีค่าเพิ่มขึ้นเมื่อผ่านกระบวนการการดัดแปลง

ตอนที่ 3 การศึกษาปริมาณน้ำและ HPMC ที่เหมาะสมต่อการผลิตขnmปั้งปราศจากกลูเตนที่ผลิตจากแป้งข้าวเจ้าและแป้งถั่วเขียวพรีเจลาร์ไนซ์

จากการประยุกต์ใช้ RSM เพื่อหาปริมาณน้ำและไฮดร็อกอลลอยด์ที่เหมาะสมต่อการผลิตขnmปั้งปราศจากกลูเตนที่ผลิตจากแป้งข้าวเจ้าและแป้งถั่วเขียวพรีเจลาร์ไนซ์ พบร่วมกับการใช้น้ำ 110 มิลลิลิตร และ HPMC ร้อยละ 1.5 ของน้ำหนักแป้งทั้งหมด ในสูตร จะทำให้ขnmปั้งมีน้ำหนักและปริมาตรของขnmปั้งมากที่สุด

ตอนที่ 4 ผลศึกษาการเปลี่ยนแปลงในระหว่างการเก็บรักษาขnmปั้งปราศจากกลูเตน

ความแข็งของเนื้อขnmปั้งจะมีค่าเพิ่มขึ้น เมื่อเก็บรักษาเป็นระยะเวลานานขึ้น เกิดจากการเกิดรีไทร์เรเดชั่นของสตาร์ช ขnmปั้งที่เติม HPMC จะชะลอการเกิดรีไทร์เรเดชั่นได้ ขnmปั้ง ODMF140 และ OEMF46 จะมีค่าความแข็งของขnmปั้งที่ต่ำกว่าขnmปั้งจากแป้งข้าวเจ้า และขnmปั้งที่ไม่มีการเติม HPMC

ปริมาณเชื้อจุลินทรีย์ของขnmปั้งปราศจากกลูเตนและขnmปั้งสูตรควบคุมมีปริมาณเพิ่มมากขึ้นเมื่อระยะเวลาในการเก็บรักษานานขึ้น โดยขnmปั้งจะเสื่อมเสียภายในระยะเวลา 3 วัน



บรรณานุกรม

- กล้านรงค์ ศรีรอด และเกื้อฤทธิ์ ปิยะจอมขวัญ. (2546). เทคนิโอลายแบ่ง (พิมพ์ครั้งที่ 3). กรุงเทพฯ: สำนักพิมพ์มหาวิทยาลัยเกษตรศาสตร์.
- งานชื่น คงเดรี. (2537). ศักยภาพพันธุ์ข้าวไทยสู่การเปลี่ยนแปลง. ใน การประชุมวิชาการมหาวิทยาลัยเกษตรศาสตร์ ครั้งที่ 32 สาขาวิชาอุตสาหกรรมเกษตร ศักยภาพข้าวไทยทิศทางใหม่สู่อุตสาหกรรม (น. 5-17). กรุงเทพฯ: คณะอุตสาหกรรมเกษตร มหาวิทยาลัยเกษตรศาสตร์.
- จริยา สุขสวัสดิ์. (2554). ผลของวิธีสแทนต์สตาร์ช ซูโคโรสเอสเทอร์ และไฮดรอกซีโพรพิลเมทิล เชลลูโลสต่อคุณภาพของโดยและขนมปัง. ว. วิทยาศาสตร์เกษตร. 42(2 พิเศษ), จิตชนก แจ่มเมฆ และอรอนงค์ นัยวิกุล. (2541). แบกอวีเทคนิโอลายเบื้องต้น (พิมพ์ครั้งที่ 5). กรุงเทพฯ: สำนักพิมพ์มหาวิทยาลัยเกษตรศาสตร์.
- ไชยา เพ็งอุ่น. (2539). ถัวและพิชคลุณคิน. สุพรรณบุรี: ศูนย์เทคโนโลยีเพื่อสังคม.
- ดาวรัตน์ นาคลอ, อาภัสรา แสงนาค, และกุลดยา ลิ้มรุ่งเรืองรัตน์. (2554). การปรับปรุงคุณภาพของแป้งเมล็ดขั้นตอนโดยวิธีการพรีเจลตีไนซ์. วารสารวิทยาศาสตร์บูรพา, 16(1), 12-21.
- ทรงชาร์ อินสมพันธ์. (2545). เอกสารประกอบคำสอนถัวเชี่ยว. เรียนใหม่: ภาควิชาพืชไร่ คณะเกษตรศาสตร์ มหาวิทยาลัยเชียงใหม่.
- นิธิยา รัตนابةเนนท์. (2545). เกมอาหาร. กรุงเทพฯ: โอ เอส พรินติ้ง เอ็กซ์.
- ปราบดา ชุนแอก. (2550). ผลของการดัดแปลงด้วยวิธีความร้อนชื้นต่อสมบัติทางรีโอลายและการเกิดริ่ทธิการเดชชั่นของสตาร์ชข้าวที่มีปริมาณอะไมโน酳แทกต่างกัน.(วิทยานิพนธ์ปริญญามหาบัณฑิต). สงขลา: มหาวิทยาลัยสงขลานครินทร์.
- พนิดา โนนไหญ์. (2549). ผลของการดัดแปลงด้วยวิธีการให้ความร้อนชื้นต่อคุณสมบัติของสตาร์ช ข้าวเจ้า (วิทยานิพนธ์ปริญญามหาบัณฑิต). กรุงเทพฯ: มหาวิทยาลัยศิลปากร.
- พนิดา วงศ์ปรีดี. (2552). การพัฒนาวิธีการผลิตแป้งข้าวเจ้าที่ละลายในน้ำเย็น (วิทยานิพนธ์ปริญญามหาบัณฑิต). มหาสารคาม: มหาวิทยาลัยมหาสารคาม.
- ภรณี ลิมปิสุต. (2540). การใช้แป้งถัวเชี่ยวผักในแป้งสาลีในผลิตภัณฑ์ขนมอน (รายงานการวิจัย). กรุงเทพฯ: สถาบันเทคโนโลยีพระจอมเกล้าพระนครเหนือ.

ภาณุมาศ รุ่งเรืองอารี. (2541). ผลของแบ่งข้าวเจ้าพรีเจเลตติไนซ์และการเสริมโปรดีนต่อคุณภาพของข้าวบึงจากแบ่งข้าวเจ้า (วิทยานิพนธ์ปริญญามหาบัณฑิต). กรุงเทพฯ: มหาวิทยาลัยเกษตรศาสตร์.

ราชบัณฑิตยสถาน. (2525). พจนานุกรมฉบับราชบัณฑิตยสถาน พ.ศ. 2525. กรุงเทพฯ: อักษรเจริญทศน.

ลัดดาวัลย์ ไกรพานนท์. (2550). การดัดแปลงตัวชี้วัดความร้อนชื้นร่วมกับวิธีการทางเคมี (วิทยานิพนธ์ปริญญามหาบัณฑิต). กรุงเทพฯ: มหาวิทยาลัยศิลปากร.

ล้านแก้ว แพงอุดม. (2554). การพัฒนาอาหารวัยอ่อนและการใช้ประโยชน์แบ่งดัดแปลงในอาหารระยะเริ่มต้นสำหรับปลาดุกฉูกผสม (*Clarias macrocephalus x Clarias gariepinus*) (วิทยานิพนธ์ปริญญามหาบัณฑิต). กรุงเทพฯ: มหาวิทยาลัยเกษตรศาสตร์.

วรรณฯ ตุลยธัญ. (2549). เคมีอาหารของควรนำไปตรวจสอบ. กรุงเทพฯ: สำนักพิมพ์แห่งจุฬาลงกรณ์มหาวิทยาลัย.

วีไล รังสรรค์ทอง. (2545). เทคนิคในการแปลงอาหาร (พิมพ์ครั้งที่ 2). กรุงเทพฯ: โอเดียนสโตร์.

สมาคมผู้ส่งออกข้าวไทย. (2559). แนวโน้มและทิศทางการส่งออกข้าวไทย ในปี 2559. สีบคัน 27 สิงหาคม 2559, จาก <http://fic.nfi.or.th/foodsectordatabase-detail.php?id=9>

สมาคมพ่อค้าข้าวโพดและพืชพันธุ์ไทย. (2559). ถัวเฉียบ. สีบคัน 27 สิงหาคม 2559, จาก <http://www.thaimaizeandproduce.org/thaimaize/botany-green-bean>

สวัสดิ์ จันทร์เทพอธิมาภูล. (2551). คุณสมบัติทางวิเคราะห์ของโดยผลิตภัณฑ์อาหารเจ้าสำเร็จรูป. กรุงเทพฯ: มหาวิทยาลัยเกษตรศาสตร์.

สำนักงานมาตรฐานผลิตภัณฑ์อุตสาหกรรม. (2529). มาตรฐานผลิตภัณฑ์อุตสาหกรรมแบ่งข้าวเจ้า มอก.638-2529. กรุงเทพฯ: สำนักงานมาตรฐานผลิตภัณฑ์อุตสาหกรรม.

สำนักงานมาตรฐานผลิตภัณฑ์อุตสาหกรรม. (2535). มาตรฐานผลิตภัณฑ์แบ่งดัดแปลงสำหรับอุตสาหกรรมอาหาร มอก. 1073-2535. กรุงเทพฯ: สำนักงานมาตรฐานผลิตภัณฑ์อุตสาหกรรม.

สำนักงานเศรษฐกิจการเกษตร. (2557). ถัวเฉียบ. สีบคันเมื่อ 27 สิงหาคม 2559. จาก www.oae.go.th/download/document_tendency/journalofecon2558

สุนีย์ ใชตินีรนาท, กำไล เลาหพัฒนาเลิศ, เอ็จ สโบรล, และกลัณรงค์ ศรีรอด. (1-4 กุมภาพันธ์ 2543). สมบัติทางพิสิกส์เคมีของแบ่งถัวเฉียบที่สกัดจากพันธุ์ที่พัฒนาในประเทศไทย. ใน การประชุมทางวิชาการของมหาวิทยาลัยเกษตรศาสตร์ ครั้งที่ 38 สาขาวิชาก绒รวมศาสตร์ และสาขาอุตสาหกรรมเกษตร. กรุงเทพฯ: สำนักพิมพ์มหาวิทยาลัยเกษตรศาสตร์.

- ธรรมรงค์ นัยวิกุล. (2550). ข้าว: วิทยาศาสตร์และเทคโนโลยี (พิมพ์ครั้งที่ 2). กรุงเทพฯ: สำนักพิมพ์มหาวิทยาลัยเกษตรศาสตร์.
- ธรรมรงค์ นัยวิกุล, และลินดา พงศ์ผาสุก. (2536). อาหารเข้าจากธัญชาติ. วารสารอุดสาหกรรมเกษตร, 4(3), 5-14.
- ธรรมรงค์ นัยวิกุล. (2538). เคมีทางธัญญาหาร. กรุงเทพฯ: ภาควิชาวิทยาศาสตร์และเทคโนโลยีการอาหาร คณะอุดสาหกรรมเกษตร มหาวิทยาลัยเกษตรศาสตร์.
- Alvarenga, N. B., Cebola Lidon, F., Belga, E., Motrena, P., Guerreiro, S., & Carvalho, M. J. (2011). Characterization of gluten-free bread prepared from maize, rice and tapioca flours using the hydrocolloid seaweed agar-agar. *Recent Research in Science and Technology*, 3, 64-68.
- Amemiya, J., & Menjivar, J. (1992). Comparison of small and large deformation measurements to characterize the rheology of wheat flour doughs. *Journal of Food Engineering*, 16(1), 91-108.
- Anderson, R., Conway, H., Pfeifer, V., & Griffin, E. (1969). Gelatinization of corn grits by roll and extrusion cooking. *Cereal Science Today*, 14(1), 4-12.
- AOAC. (2000). *Official method of analysis of AOAC international* (17th ed.). Virginia: The association of official analytical chemists.
- Bacteriological Analytical Manual Online. (2001). *Food and drug administration, USA Chapter 18, Yeasts, Molds and Mycotoxins*. USFDA. Retrieved May 10, 2016, from <http://www.fda.gov/Food/ScienceResearch/LaboratoryMethods/BacteriologicalAnalyticalManualBAM/ucm063346.htm>
- Bacteriological analytical manual Online. (2001). *Food and drug administration, USA Chapter 3, Aerobic plate count*. USFDA. Retrieved May 10, 2016, from <http://www.fda.gov/Food/ScienceResearch/LaboratoryMethods/BacteriologicalAnalyticalManualBAM/ucm063346.htm>
- Barcenas, M. E., & Rosell, C. M. (2005). Effect of HPMC addition on the microstructure, quality and aging of wheat bread. *Food hydrocolloids*, 19(6), 1037-1043.
- Bemiller, J. N. (1997). Starch modification: challenges and prospects. *Starch-Stärke*, 49(4), 127-131.

- Beynum, G.M.A., & Roels J.A. (1985). *Starch Conversion Technology*. New York: Academic Press:
- Chang, Y. H., Lin, C. L., & Chen, J. C. (2006). Characteristics of mung bean starch isolated by using lactic acid fermentation solution as the steeping liquor. *Food Chemistry*, 99(4), 794-802.
- Chartrand, L. J., Russo, P. A., Duhaime, A. G., & Seidman, E. G. (1997). Wheat starch intolerance in patients with Celiac disease. *Journal of the American Dietetic Association*, 97(6), 612-618.
- Cheftel, J. C. (1986). Nutritional effects of extrusion-cooking. *Food Chemistry*, 20(4), 263-283.
- Chiu, C. w., & Solarek, D. (2009). *Modification of starches. Starch: Chemistry and technology* (3rd ed.). New York: Academic Press is an imprint of Elsevier.
- Curic, D., Novotni, D., Bauman, I., Kricka, T., & Dugum, J. (2007a). Optimization of extrusion cooking of cornmeal as raw material for bakery products. *Journal of Food process engineering*, 32(2), 294-317.
- Curic, D., Novotni, D., Tušak, D., Bauman, I., & Gabric, D. (2007b). Gluten-free bread production by the corn meal and soybean flour extruded blend usage. *Agriculturae Conspectus Scientificus (ACS)*, 72(3), 227-232.
- Czuchajowska, Z., & Pomeranz, Y. (1989). in Crumb Center and Near-Crust Zones of Bread During Storage. *Cereal Chemistry*, 66(4), 305-309.
- De la Hera, E., Martínez, M., & Gómez, M. (2013). Influence of flour particle size on quality of gluten-free rice bread. *LWT-Food Science and Technology*, 54(1), 199-206.
- Demirkesen, I., Campanella, O. H., Sumnu, G., Sahin, S., & Hamaker, B. R. (2014). A study on staling characteristics of gluten-free breads prepared with chestnut and rice flours. *Food and bioprocess technology*, 7(3), 806-820.
- Ding, Q.-B., Ainsworth, P., Tucker, G., & Marson, H. (2005). The effect of extrusion conditions on the physicochemical properties and sensory characteristics of rice-based expanded snacks. *Journal of Food Engineering*, 66(3), 283-289.

- Dobraszczyk, B., & Morgenstern, M. (2003). Rheology and the breadmaking process. *Journal of Cereal Science*, 38(3), 229-245.
- Dogan, S. F., Sahin, S., & Sumnu, G. (2005). Effects of soy and rice flour addition on batter rheology and quality of deep-fat fried chicken nuggets. *Journal of Food Engineering*, 71(1), 127-132.
- Doublier, J., Colonna, P., & Mercier, C. (1986). Extrusion cooking and drum drying of wheat starch. II. Rheological characterization of starch pastes. *Cereal Chemistry*, 63(3), 240-246.
- Eliasson, A., & Larsson, K. (1993). *Physicochemical behavior of the components of wheat flour: Cereals in Breadmaking*. New York: Marcel Dekker.
- Filli, K., Nkama, I., Abubakar, U., & Jideani, V. (2010). Influence of extrusion variables on some functional properties of extruded millet-soybean for the manufacture of fura: A Nigerian traditional food. *African Journal of Food Science*, 4(6), 342-352.
- Fordham, J., Wells, C., & Chen, L. (1975). Sprouting of seeds and nutrient composition of seeds and sprouts. *Journal of Food Science*, 40(3), 552-556.
- French, D. (1984). *Organization of starch granules. Starch: Chemistry and technology* (2nd ed.). New York: Academic Press.
- Gallagher, E., Gormley, T., & Arendt, E. (2003). Crust and crumb characteristics of gluten free breads. *Journal of Food Engineering*, 56(2), 153-161.
- Gallagher, E., Gormley, T., & Arendt, E. (2004). Recent advances in the formulation of gluten-free cereal-based products. *Trends in Food Science and Technology*, 15(3), 143-152.
- Gibson, T., Solah, V., & McCleary, B. (1997). A procedure to measure amylose in cereal starches and flours with concanavalin A. *Journal of Cereal Science*, 25(2), 111-119.
- Gill, S., Vasanthan, T., Ooraikul, B., & Rossnagel, B. (2002). Wheat bread quality as influenced by the substitution of waxy and regular barley flours in their native and extruded forms. *Journal of Cereal Science*, 36(2), 219-237.

- Glicksman, M. (1969). *Gum Technology in Food Industry*. New York: Academic Press.
- Guilbot, A., & Mercier, C. (1985). *Starch. The polysaccharides* (3rd ed.). New York: Academic Press.
- Gujral, H. S., & Rosell, C. M. (2004). Functionality of rice flour modified with a microbial transglutaminase. *Journal of Cereal Science*, 39(2), 225-230.
- Gujral, H. S., Haros, M., & Rosell, C. M. (2004). Improving the texture and delaying staling in rice flour chapati with hydrocolloids and α -amylase. *Journal of Food Engineering*, 65(1), 89-94.
- Gutkoski, L., & El-Dash, A. (1999). Effect of extrusion process variables on physical and chemical properties of extruded oat products. *Plant Foods for Human Nutrition*, 54(4), 315-325.
- Hagenimana, A., Ding, X., & Fang, T. (2006). Evaluation of rice flour modified by extrusion cooking. *Journal of Cereal Science*, 43(1), 38-46.
- He, H., & Hoseney, R. (1991). Gas retention in bread dough during baking. *Journal of Cereal Chemistry*, 68(4), 334-336.
- Hsu, S., Lu, S., & Huang, C. (2000). Viscoelastic changes of rice starch suspensions during gelatinization. *Journal of Food Science*, 65(2), 215-220.
- Jambrak, A. R., Herceg, Z., Šubarić, D., Babić, J., Brnčić, M., Brnčić, S. R., ... Gelo, J. (2010) Ultrasound effect on physical properties of corn starch. *Carbohydrate Polymers*, 79(1), 91-100.
- Juliano, B. (1984). *Rice starch: production, properties and uses. Starch: Chemistry and technology* (2nd ed.). N.P.: Academic Press: Imprint.
- Kaur, M., Sandhu, K. S., Singh, N., & Lim, S. T. (2011). Amylose content, molecular structure, physicochemical properties and in vitro digestibility of starches from different mung bean (*Vigna radiata* L.) cultivars. *Starch Stärke*, 63(11), 709-716.
- Kim, S. H., Lee, B. H., Baik, M. Y., Joo, M. H., & Yoo, S. H. (2007). Chemical structure and physical properties of mung bean starches isolated from 5 domestic cultivars. *Journal of Food Science*, 72(9), C471-C477.

- Kim, S., & D'appolonia, B. (1977). Bread staling studies, III: Effect of pentosans on dough, bread, and bread staling rate. *Cereal Chemistry*, 54, 225-229.
- Lazaridou, A., Duta, D., Papageorgiou, M., Belc, N., & Biliaderis, C. (2007). Effects of hydrocolloids on dough rheology and bread quality parameters in gluten-free formulations. *Journal of Food Engineering*, 79(3), 1033-1047.
- León, A. E., Barrera, G. N., Pérez, G. T., Ribotta, P. D., & Rosell, C. M. (2006). Effect of damaged starch levels on flour-thermal behaviour and bread staling. *European Food Research and Technology*, 224(2), 187-192.
- Li, S., Ward, R., & Gao, Q. (2011). Effect of heat-moisture treatment on the formation and physicochemical properties of resistant starch from mung bean (*Phaseolus radiatus*) starch. *Food hydrocolloids*, 25(7), 1702-1709.
- Light, J. M. (1990). Modified food starches: why, what, where, and how. *Cereal Foods World*, 35(11), 1081-1092.
- Majzoobi, M., Radi, M., Farahnaky, A., Jamalian, J., Tongtang, T., & Mesbahi, G. (2010). Physicochemical properties of pre-gelatinized wheat starch produced by a twin drum dryer. *Journal of Agricultural Science and Technology*, 13, 193-202.
- Mariotti, M., Pagani, M. A., & Lucisano, M. (2013). The role of buckwheat and HPMC on the breadmaking properties of some commercial gluten-free bread mixtures. *Food hydrocolloids*, 30(1), 393-400.
- McCarthy, D., Gallagher, E., Gormley, T., Schober, T., & Arendt, E. (2005). Application of response surface methodology in the development of gluten-free bread. *Cereal Chemistry*, 82(5), 609-615.
- Meiners, C. R., Derise, N. L., Lau, H. C., Crews, M. G., Ritchey, S., & Murphy, E. W. (1976). The content of nine mineral elements in raw and cooked mature dry legumes. *Journal of Agricultural and Food Chemistry*, 24(6), 1126-1130.
- Mendoza, N. (2005). Coeliac disease: an overview of the diagnosis, treatment and management. *Nutrition Bulletin*, 30(3), 231-236.

- Menegassi, B., Pilosof, A. M., & Areas, J. A. (2011). Comparison of properties of native and extruded amaranth (*Amaranthus cruentus* L. – BRS Alegria) flour. *LWT Food Science and Technology*, 44(9), 1915-1921.
- Mercier, C., & Feillet, P. (1975). Modification of carbohydrate components by extrusion-cooking of cereal products [Wheat, rice, corn]. *Cereal Chemistry*, 52, 283-297.
- Miñarro, B., Albanell, E., Aguilar, N., Guamis, B., & Capellas, M. (2012). Effect of legume flours on baking characteristics of gluten-free bread. *Journal of Cereal Science*, 56(2), 476-481.
- Morris, E. (1995). Polysaccharide rheology and in-mouth perception. In Stephen, A.M. (Ed.), *Food polysaccharides and their applications*, New York: Academic Press.
- Nakorn, K. N., Tongdang, T., & Sirivongpaisal, P. (2009). Crystallinity and rheological properties of pregelatinized rice starches differing in amylose content. *Starch-Stärke*, 61(2), 101-108.
- Nishita, K., & Bean, M. (1979). Physicochemical properties of rice in relation to rice bread. *Cereal Chemistry*, 56(3), 185-189.
- Ozola, L., Straumite, E., Galoburda, R., & Klava, D. (2012). Application of extruded maize flour in gluten-free bread formulations. World Academy of Science, *Engineering and Technology*, 64, 883-888.
- Powell, E. L. (1967). Production and use of pregelatinized starch. In Whistler, R. L. and Pasxhall, E. F. (Eds.). *Starch: Chemistry and technology Vol. II*. New York: Academic Press.
- Prabhavat, S. (1987). *Seminar on mung bean at Ambassador Hotel, Bangkok, 16-20 November 1987*. Bangkok: Ministry of Agriculture and Cooperative, Kasetsart University, and Asian Vegetable Research and Development Centre.
- Pruessner, H. T. (1998). Detecting celiac disease in your patients. *Journal of American family physicians*, 57(5), 1023-1044.

- Purhagen, J. K., Sjöö, M. E., & Eliasson, A. C. (2012). The anti-staling effect of pre-gelatinized flour and emulsifier in gluten-free bread. *European Food Research and Technology*, 235(2), 265-276.
- Ribotta, P. D., & Le Bail, A. (2007). Thermo-physical assessment of bread during staling. *LWT-Food Science and Technology*, 40(5), 879-884
- Ribotta, P. D., Ausar, S. F., Morcillo, M. H., Pérez, G. T., Beltramo, D. M., & León, A. E. (2004). Production of gluten-free bread using soybean flour. *Journal of the Science of Food and Agriculture*, 84(14), 1969-1974.
- Rohaya, M., Maskat, M. Y., & Ma'aruf, A. (2013). Rheological properties of different degree of pregelatinized rice flour batter. *Sains Malaysiana*, 42(12), 1707-1714.
- Ruel-Gariepy, E., & Leroux, J.-C. (2004). In situ-forming hydrogels—review of temperature-sensitive systems. *European Journal of Pharmaceutics and Biopharmaceutics*, 58(2), 409-426.
- Rupp, P. C., & Schwartz, S. (1988). Characterization of the action of *Bacillus subtilis* alpha-amylase on sweet potato starch, amylose and amylopectin. *Journal of Food Biochemistry*, 12(3), 191-204.
- Santos, E., Rosell, C., & Collar, C. (2008). Gelatinization and retrogradation kinetics of high-fiber wheat flour blends: a calorimetric approach. *Cereal Chemistry*, 85(4), 455-463.
- Schober, T. J., Messerschmidt, M., Bean, S. R., Park, S.-H., & Arendt, E. K. (2005). Gluten-free bread from sorghum: quality differences among hybrids. *Cereal Chemistry*, 82(4), 394-404.
- Schoch, T. (1964). Swelling power and solubility of granular starches. In Whistler, R. L. (Ed.). *Methods in Carbohydrate chemistry*, Vol. IV. New York: Academic Press.
- Sciarini, L., Ribotta, P., Leon, A., & Pérez, G. (2012). Incorporation of several additives into gluten free breads: Effect on dough properties and bread quality. *Journal of Food Engineering*, 111(4), 590-597.
- Segura, M. E. M., & Rosell, C. M. (2011). Chemical composition and starch digestibility of different gluten-free breads. *Plant Foods for Human Nutrition*, 66(3), 224-230.

- Shaheen, S., Harun, N., Khan, F., Hussain, R. A., Ramzan, S., Rani, S., Khalid, Z., ...
- Zafar, M. (2012). Comparative nutritional analysis between *Vigna radiata* and *Vigna mungo* of Pakistan. *African Journal of Biotechnology*, 11(25), 6694-6702.
- Sharma, S. (1981). Gums and hydrocolloids in oil-water emulsions. *Food Technology*, 35(1), 59-67.
-
- Singh, H., Chang, Y. H., Lin, J.-H., Singh, N., & Singh, N. (2011). Influence of heat-moisture treatment and annealing on functional properties of sorghum starch. *Food research international*, 44(9), 2949-2954.
- Sivaramakrishnan, H. P., Senge, B., & Chattopadhyay, P. (2004). Rheological properties of rice dough for making rice bread. *Journal of Food Engineering*, 62(1), 37-45.
- Soison, B., Jangchud, K., Jangchud, A., Harnsilawat, T., Piyachomkwan, K., Charunuch, C., & Prinyawiwatkul, W. (2014). Physico-functional and antioxidant properties of purple flesh sweet potato flours as affected by extrusion and drum drying treatments. *International Journal of Food Science and Technology*, 49(9), 2067-2075.
- Steffe, J.F. (1996). *Rheological Method in Food Process Engineering* (2nd ed.). N.P.: East Lansing, Freeman Press.
- Takeda, Y., Hizukuri, S., & Juliano, B. O. (1987). Structures of rice amylopectins with low and high affinities for iodine. *Carbohydrate Research*, 168(1), 79-88.
- Tang, D., Dong, Y., Ren, H., Li, L., & He, C. (2014). A review of phytochemistry, metabolite changes, and medicinal uses of the common food mung bean and its sprouts (*Vigna radiata*). *Chemistry Central Journal*, 8(1), 1.
- Upadhyay, R., Ghosal, D., & Mehra, A. (2012). Characterization of bread dough: Rheological properties and microstructure. *Journal of Food Engineering*, 109(1), 104-113.

USDA National Nutrient Database for Standard Reference, Release 25. (2011). *Nutrient data for 16080, Mung beans, mature seeds*. Retrieved September 20, 2016, from <https://ndb.nal.usda.gov/ndb/foods/show/4694?fg=andman=andlfacet=andcount=andmax=25andsort=andqlookup=mung+beanandoffset=andformat=Fullandnew=>.

Wieser, H., & Koehler, P. (2008). The biochemical basis of Celiac disease. *Cereal Chemistry*, 85(1), 1-13.

Witczak, M., Juszczak, L., Ziobro, R., & Korus, J. (2012). Influence of modified starches on properties of gluten-free dough and bread. Part I: Rheological and thermal properties of gluten-free dough. *Food hydrocolloids*, 28(2), 353-360.

Xu, J., Bietz, J. A., & Carriere, C. J. (2007). Viscoelastic properties of wheat gliadin and glutenin suspensions. *Food Chemistry*, 101(3), 1025-1030.

Xue, J., & Ngadi, M. (2006). Rheological properties of batter systems formulated using different flour combinations. *Journal of Food Engineering*, 77(2), 334-341.



การวิเคราะห์องค์ประกอบทางเคมี

1. ปริมาณความชื้น วิเคราะห์ตามวิธี AOAC (2000)

1.1 อบภาชนะสำหรับความชื้นในตู้อบลมร้อนที่อุณหภูมิ 105 องศาเซลเซียส นาน 2-3 ชั่วโมง นำออกจากตู้อบไปใส่ในโดดความชื้นหลังจากนั้นซึ่งน้ำหนัก

1.2 ชั่งตัวอย่างแบ่ง 2 กรัม ลงในภาชนะอะลูมิเนียมที่ผ่านการอบจนน้ำหนักคงที่ และบันทึกน้ำหนักที่แน่นอน

1.3 นำไปอบในตู้อบลมร้อนที่อุณหภูมิ 105 องศาเซลเซียส ประมาณ 5-6 ชั่วโมง หรือจนน้ำหนักคงที่ ทิ้งให้เย็นในโดดความชื้น แล้วชั่งน้ำหนัก

คำนวณ

$$\text{ร้อยละความชื้น (โดยน้ำหนักเปรียก)} = \frac{(\text{น้ำหนักตัวอย่างก่อนอบ}-\text{น้ำหนักตัวอย่างหลังอบ})}{\text{น้ำหนักตัวอย่างก่อนอบ}} \times 100$$

$$\text{ร้อยละความชื้น (โดยน้ำหนักเปรียก)} = \frac{\text{ร้อยละความชื้นโดยน้ำหนักเปรียก}}{(100-\text{ร้อยละความชื้นโดยน้ำหนักเปรียก})} \times 100$$

2. ปริมาณโปรตีน วิเคราะห์ตามวิธี AOAC (2000)

2.1 ชั่งตัวอย่างแบ่ง 1 กรัม เติมcacะลิสต์เจลดาห์ลแบบเม็ด จำนวน 2 เม็ด และกรดซัลฟูริกเข้มข้น (ร้อยละ 98) ปริมาตร 25 มิลลิลิตร ใส่ในหลอดสำหรับย่อย

2.2 นำไปปอยโดยใช้เครื่องปอยโปรตีนในตู้ดูดควัน ย่อยจนสารละลายมีสีฟ้าใส หรือไม่มีสี ตั้งทิ้งไว้จนเย็นที่อุณหภูมิห้อง

2.3 เติมสารละลายกรดบริกเข้มข้นร้อยละ 2 ปริมาตร 60 มิลลิลิตร ใส่ในขวดรูปมนพุ (Erlenmeyer flask) ขนาด 125 มิลลิลิตร และเติมอินดิเคเตอร์ 3 หยด เขย่าให้เข้ากัน

2.4 นำเข้าเครื่องกลั่น โดยให้ส่วนปลายของอุปกรณ์ควบแน่นจุ่มลงในสารละลายกรด

2.5 นำสารละลายไปไหเทรตกับกรดไฮดรอลิคบริกเข้มข้น 0.1 นอร์มอล จนได้สารละลายสีชมพู และทำ Blank เช่นเดียวกับตัวอย่าง

คำนวณ

$$\text{ร้อยละของโปรตีน} = \frac{[(V_1 - V_2)(M)(1.4007)(5.71)]}{W}$$

V_1 = ปริมาตร (มิลลิลิตร) ของสารละลายน้ำที่ใช้ในเทอร์กับตัวอย่าง

V_2 = ปริมาตร (มิลลิลิตร) ของสารละลายน้ำที่ใช้ในเทอร์กับ Blank

M = ความเข้มข้น (มิลลิกรัม) ของสารละลายน้ำที่ใช้ในเทอร์ก

W = น้ำหนักตัวอย่างเป็นมิลลิกรัม

5.71 = Conversion factor ของตัว

3. ปริมาณไขมัน วิเคราะห์ตามวิธี AOAC (2000)

3.1 อบ Extraction cup ในตู้อบลมร้อนที่อุณหภูมิ 105 องศาเซลเซียส นาน 1 ชั่วโมง นำออกจากการตู้อบใส่ไว้ในโถดูดความชื้นหลังจากนั้นซึ่งน้ำหนักซึ่งน้ำหนัก

3.2 ซึ่งตัวอย่าง 5 กรัม ใส่ลงในหลอดสำหรับใส่ตัวอย่าง (Thimble)

3.3 นำหลอดตัวอย่างใส่เข้าไปใน Extraction Unit เติมสารตัวทำละลายปีโตรเลียม อีเทอร์ ลงใน Extraction cup จนเต็ม

3.4 ให้ความร้อนทำการสกัดไขมันจากตัวอย่างนานประมาณ 3-4 ชั่วโมง

3.5 กลับเข้าปีโตรเลียมอีเทอร์ออกจากไขมัน นำ Extraction cup และไขมันไปอบที่อุณหภูมิ 105 องศาเซลเซียส นาน 1 ชั่วโมง แล้วซึ่งน้ำหนัก

คำนวณ

$$\text{ร้อยละของไขมัน} = \frac{\text{น้ำหนักไขมันในตัวอย่าง (กรัม)}}{\text{น้ำหนักตัวอย่าง (กรัม)}} \times 100$$

4. ปริมาณเยื่อไขมัน วิเคราะห์ตามวิธี AOAC (2000)

4.1 ซึ่งตัวอย่าง 1 กรัม ใส่ลงในบีกเกอร์ขนาด 600 มิลลิลิตร เติม Sulfuric acid 0.128 M ปริมาตร 150 มิลลิลิตร แล้วเติม n-Octanol 2-3 หยด ต้มให้เดือดเป็นเวลา 30 นาที

4.2 กรองตัวอย่างขณะร้อนผ่านถ้วยกรองแบบแก้ว (Filter crucible) ล้างด้วยน้ำร้อนจนกระหงทั้งน้ำล้างหมดความเป็นกรด

4.3 ถ่ายกากที่ได้ในบีกเกอร์ใบเดิมเติมโพแทสเซียมไฮดรอกไซด์ปริมาณ 200 มิลลิลิตร ต้มให้เดือดเป็นเวลา 30 นาที

4.4 กรองขณะร้อนผ่านถ้วยกรองแบบแก้ว (Filter crucible) ล้างเดิมล้างด้วยน้ำร้อนจนกระหงทั้งน้ำล้างหมดความเป็นด่าง

4.5 นำถ้วยกรอง (Filter crucible) ไปอบให้แห้งในตู้อบลมร้อนที่อุณหภูมิ 130 องศาเซลเซียสนาน 2 ชั่วโมง จากนั้นนำไปเผาในเตาอบที่อุณหภูมิ 525 องศาเซลเซียสนาน 3 ชั่วโมง นำมาใส่ในโถดูดความชื้น ทิ้งไว้ให้เย็นแล้วซับน้ำหนัก

คำนวณ

$$\text{ร้อยละของเยื่อไช} = \frac{(W_1 - W_2)}{W} \times 100$$

W = น้ำหนักตัวอย่างเริ่มต้น (กรัม)

W_1 = ปริมาณเยื่อไชที่ได้หลังจากการอบ

W_2 = ปริมาณเยื่อไชที่ได้หลังจากการเผา

5. ปริมาณเยื่อไช วิเคราะห์ตามวิธี AOAC (2000)

5.1 นำ Porcelain crucible ไปเผาในเตาเผาอุณหภูมิประมาณ 500 องศาเซลเซียสนาน 1 ชั่วโมง ทิ้งให้เย็นในโถดูดความชื้นแล้วซับน้ำหนัก

5.2 ซับตัวอย่าง 2 กรัม ใส่ใน Porcelain crucible ที่ทราบน้ำหนักแล้ว นำไปเผาบน Hot plate จนไม่มีควันดำแล้วจึงนำตัวอย่างใส่ในเตาเผาอุณหภูมิประมาณ 500-550 องศาเซลเซียส

5.3 เผาตัวอย่างจนกระหงทั้งได้เต้าสีขาว (อาจนานถึง 6 ชั่วโมง) ทิ้งให้เย็นในโถดูดความชื้นแล้วซับน้ำหนัก

คำนวณ

$$\text{ร้อยละของถ้า} = \frac{(A-B)}{W} \times 100$$

A = น้ำหนักถัว + ถ้า

B = น้ำหนักถัว

W = น้ำหนักตัวอย่างก่อนเผา

6. ดัชนีการละลายน้ำ (WSI) และดัชนีการดูดซับน้ำ (WAI)

ดัชนีการละลายน้ำและดัชนีการดูดซับน้ำ (Water Absorption Index ; WAI and Water Solubility Index: WSI) ตามวิธีของ Anderson, et al. (1969) ใช้ตัวอย่างแบ่งในหลอดเหวี่ยงขนาดเส้นผ่าศูนย์กลาง 2.5 เซนติเมตรที่ทราบน้ำหนัก เติมน้ำถ้วน 30 มิลลิลิตร ผสมให้เข้ากัน และเขย่าทุกๆ 5 นาที เป็นเวลา 30 นาที นำไปเข้าเครื่องหมุนเหวี่ยงที่ 2,200 รอบต่อนาที เป็นเวลา 15 นาที เทส่วนผสมในถัวอะลูมิเนียมที่ทราบน้ำหนักนำไปอบแห้งที่อุณหภูมิ 105 องศาเซลเซียส นาน 3 ชั่วโมงหรือจนกว่าตัวอย่างจะแห้งสนิทและมีน้ำหนักคงที่นำไปเก็บไว้ในถุงความชื้น ทึ้งให้เย็นแล้วหั่นน้ำหนัก และหั่นน้ำหนักตะกอนแบ่งในหลอดเหวี่ยง

คำนวณ

$$\text{ดัชนีการละลายน้ำ} = \frac{\text{น้ำหนักตัวอย่างส่วนที่ละลายน้ำ}}{\text{น้ำหนักตัวอย่างเริ่มต้น}} \times 100$$

$$\text{ดัชนีการดูดซับน้ำ} = \frac{\text{น้ำหนักหลอดหมุนเหวี่ยงพร้อมตะกอน - น้ำหนักหลอดหมุนเหวี่ยง}}{\text{น้ำหนักตัวอย่างเริ่มต้น}}$$

7. กำลังการพองตัวและการละลาย (Swelling power and solubility)

โดยใช้ตัวอย่างแบ่ง 0.5 กรัม ใส่ตัวอย่างแบ่งในหลอดเหวี่ยงขนาดเส้นผ่าศูนย์กลาง 2.5 เซนติเมตร เติมน้ำถ้วน ปัจจุบัน 15 มิลลิลิตร นำไปแขวนในช่องน้ำควบคุมอุณหภูมิที่ 95 องศาเซลเซียส นาน 30 นาที นำไปบีบให้แห้งด้วยเครื่อง Centrifuge ความเร็วรอบ 2,200 รอบต่อนาที เป็นเวลา 15 นาที จากนั้นเทส่วนผสมด้านบนใส่ในภาชนะ (Moisture can) ที่ทราบน้ำหนัก

นำไปปอกให้แห้งที่อุณหภูมิ 105 องศาเซลเซียส นาน 3 ชั่วโมงหรือจนกว่าตัวอย่างจะแห้งสนิทและมีน้ำหนักคงที่ นำไปเก็บไว้ในถุงดูดความชื้น ทึ้งให้เย็นแล้วซึ่งน้ำหนัก ส่วนที่ตกตะกอนนำมาซึ่งน้ำหนัก เพื่อนำมาคำนวณอัตราการพองตัว

คำนวณ

$$\text{ร้อยละของการลดลง} = \frac{\text{น้ำหนักส่วนที่ลดลง}}{\text{น้ำหนักตัวอย่างเริ่มต้น}} \times 100$$

$$\text{ร้อยละกำลังการพองตัว} = \frac{\text{น้ำหนักแบ่งที่พองตัว}}{\text{น้ำหนักตัวอย่างเริ่มต้น} \times (100 - \text{น้ำหนักตัวอย่างเริ่มต้น})}$$

8. คุณสมบัติทางความร้อน

โดยใช้เครื่อง DSC (Model DSC 1. Star System, Mettler Toledo, Switzerland). ตามวิธีของ Li, et al. (2011) ลักษณะของการเกิดเจลาตินซ์วิเคราะห์โดยเครื่อง DSC เตรียมตัวอย่างโดยใส่ตัวอย่างแบ่ง 7 มิลลิกรัม ลงใน DSC aluminium pan เติมน้ำกลัน 15 มิลลิลิตร ลงไปในตัวอย่าง ปิดฝาให้สนิท จากนั้นนำไปป่นที่อุณหภูมิห้องเป็นเวลา 24 ชั่วโมง เมื่อครบเวลา จึงนำวิเคราะห์สมบัติการเกิดเจลาตินเข้า โดยเริ่มจากอุณหภูมิ 30 ถึง 150 องศาเซลเซียส ที่อัตราการเพิ่มของอุณหภูมิ 10 องศาเซลเซียสต่อนาที โดยใช้ Pan เป็น reference วิเคราะห์ค่าอุณหภูมิเริ่มต้น (Onset temperature, T_o) อุณหภูมิสูงสุด (Peak temperature, T_p) อุณหภูมิสุดท้าย (Conclusion temperature, T_c) และค่าэнทอลปี (ΔH)

9. คุณสมบัติด้านความหนืด

โดยใช้เครื่อง RVA (Model 4500, Perten Instruments Australia Pty Ltd. s., Australia) ตามวิธีการของ Newport Scientific Method 1 (1997) โดยเตรียมตัวอย่าง 3 กรัม ใส่ใน Aluminum RVA sample canister เติมน้ำกลันปริมาตร 25 มิลลิลิตรและทำวิเคราะห์ดังนี้

ตาราง

เวลา	ประเภท	อุณหภูมิ
0:00:00	อุณหภูมิ	50 องศาเซลเซียส
0:00:00	ความเร็วรอบ	960 รอบต่อนาที
0:00:10	ความเร็วรอบ	160 รอบต่อนาที
0:01:00	อุณหภูมิ	50 องศาเซลเซียส
0:04:42	อุณหภูมิ	95 องศาเซลเซียส
0:07:12	อุณหภูมิ	95 องศาเซลเซียส
0:11:00	อุณหภูมิ	50 องศาเซลเซียส

บันทึกค่าอุณหภูมิเริ่มต้นของการเกิดความหนืด (Pasting temperature) ค่าความหนืดสูงสุด (Peak viscosity) ค่าความแตกต่างของความหนืดสูงสุดและความหนืดต่ำสุด (Break down) ค่าความหนืดสุดท้าย (Final viscosity) และค่าการคืนตัว (Setback viscosity)

10. การเสียสภาพของโปรตีน (Protein denaturation) โดยวิธี Nitrogen Solubility Index (NSI) ตามวิธีของ Shaheen, et al., (2012)

โดยเติมน้ำกลั่น 200 มิลลิลิตร ในตัวอย่างแบ่ง 0.5 กรัม ผสมให้เข้ากันเป็นเวลา 45 นาที ปรับ pH ให้เท่ากับ 7 แล้วเติมน้ำกลั่นจนได้ปริมาตร 250 มิลลิลิตร ผสมให้เข้ากัน จากนั้นนำตัวอย่างปริมาตร 40 มิลลิลิตร ไปปั่นให้ยังด้วยเครื่อง Centrifuge ความเร็วรอบ 1,500 รอบต่อนาที เป็นเวลา 10 นาที แยกตะกรอนแบ่งและส่วนไส้ออกจากกันโดยกรองส่วนใสด้านบน ฝ่านกระดาษกรองให้ได้ปริมาตร 25 มิลลิลิตร เพื่อนำไปวิเคราะห์ปริมาณไนโตรเจนด้วยวิธี เจลดาลล์ (Kjeldahl method)

คำนวณ

$$\text{ร้อยละการละลาย} = \frac{\text{จำนวนไนโตรเจนในส่วนของเหลวเหนือตะกรอน}}{\text{จำนวนไนโตรเจนในตัวอย่างแบ่ง}} \times 100$$

11. ความหนืดของน้ำแป้งพรีเจลาตีไนซ์จากถั่วเขียว ดัดแปลงวิธีจาก Kim, et al. (2012)

ด้วยเครื่อง Rheometer (Bohlin Gemini 200 HR Nano, Malvern Instruments, United Kingdom) วิเคราะห์ค่าความหนืดของแป้ง (Steady shear viscosity) ซึ่งใช้หัววัดไฟเทเนียมแบบห้าเรียบ (Parallel plates) ขนาดเส้นผ่านศูนย์กลาง 40 มิลลิเมตร ระยะห่างระหว่างหัววัด 1000 ไมโครเมตร ทำการทดลองที่ 25 องศาเซลเซียส ที่อัตราเรือน (Shear rate) ระหว่าง 0.001-1000 s⁻¹

12. การเปลี่ยนแปลงโครงสร้างไบร์ฟริงเจนส์ของเม็ดแป้ง ด้วยเครื่อง Polarized light microscope MX4300H, Meiji, Japan)

เตรียมน้ำแป้งความเข้มข้นร้อยละ 0.5 (โดยน้ำหนักต่อน้ำหนัก) หยดน้ำแป้งลงบนแผ่นสไลด์ 1-2 หยด และปิดด้วยกระดาษปิดสไลด์การนำเลนส์พลาไวร์ชวงบนแหล่งกำเนิดแสงของกล้องจุลทรรศน์ จากนั้นปรับความคมชัดของภาพแล้วถ่ายภาพเม็ดแป้งภายใต้แสงพลาไวร์ช

13. ปริมาตรขั้นมปังโดยใช้การแทนที่ด้วยเมล็ดงา (มาตรฐานอุตสาหกรรม., 2524)

การตรวจสอบค่าปริมาตร โดยวิธี Rapeseed displacement ใช้เมล็ดงาในการแทนที่ดัดแปลงตามวิธีของ มอก. 374-2534 การวัดค่าปริมาตรทำโดยวัดปริมาตรของภาชนะ ด้วยการเติมเมล็ดงาให้เต็มภาชนะ แล้ววัดปริมาตรของเมล็ดงาที่ใส่ในภาชนะ โดยทางด้วยระบบอุกตรุนท์ที่มีชีดแป้งปริมาตร ใส่ขั้นมปังที่เย็นแล้วลงในภาชนะที่ทราบปริมาตรของเมล็ดงา เติมเมล็ดงาให้เต็มช่องว่างทั้งด้านขوبข้างและด้านบนของภาชนะ วัดปริมาตรของเมล็ดงาที่ใช้เติมลงไปทั้งหมด

คำนวน

$$\text{ปริมาตรขั้นมปัง} = \text{ปริมาตรงานเริ่มต้น} - \text{ปริมาตรงานหลังแทนที่ด้วยขั้นมปัง}$$

14. การประเมินคุณสมบัติทางลักษณะสัมผัส หรือ texture analysis ดัดแปลงวิธีจาก Hera, et al. (2013)

วิเคราะห์โดยการใช้เครื่องวัดเนื้อสัมผัส (QTS 25, Brookfield, England) ใช้หัววัดแบบกด ขนาดเส้นผ่านศูนย์กลาง 25.4 มิลลิเมตร ด้วยวิธีการวัดแบบ Texture Profile Analysis (TPA) เป็นการให้แรงกด (Compression test) ลงบนตัวอย่างอาหาร 2 ครั้ง กดลงไปเป็นระยะครึ่งหนึ่งของความสูงของตัวอย่าง ด้วยความเร็วหัววัด 2 มิลลิเมตรต่อวินาที โดยใช้ส่วนตຽงกลางของก้อนขั้นมปัง ที่มีความหนา 10 มิลลิเมตร วิเคราะห์ค่าความแข็ง (Hardness) คือแรงที่ต้องใช้

ในการทำให้ตัวอย่างเสียรูป ค่าความสามารถเกาะรวมตัวกัน (Cohesiveness) คือ ขอบเขตของวัสดุที่สามารถเสียรูปก่อนที่จะเกิดการแตกหัก ค่าการทนต่อการเคี้ยว (Chewiness) คือ แรงที่ใช้ในการเคี้ยวหรือบดตัวอย่างจนกระทั้งเสียรูป ค่าความยืดหยุ่น (Springiness) คือ อัตราการคืนตัวอย่างยืดหยุ่นที่เกิดขึ้นเมื่อถอนแรงบีบอัดออก ค่าความเหนียวเป็นยางหรือกาว (Gumminess) คือ แรงที่ต้องใช้ในการแยกตัวอย่างที่เป็นก้อนของแข็งจนกระทั้งเสียรูป โดยเป็นตัวอย่างที่มี Hardness ต่ำและมี Cohesiveness สูง

15. วิเคราะห์สีของเนื้อขนมปัง (Crust) และเปลือกนอก (Crumb)

วิเคราะห์สี ด้วยเครื่อง Hunter Lab ใช้โปรแกรม Universal วิเคราะห์ค่า L^* , a^* , b^* โดยให้ค่า L^* เป็นค่าความสว่าง (Lightness) ค่า a^* เป็นค่าสีแดงและสีเขียว (Redness/Greenness) และค่า b^* เป็นค่าสีเหลืองและสีน้ำเงิน (Yellowness/Blueness) นำตัวอย่างขนมปังปราศจากกลูเตนมาวิเคราะห์โดยสลับตำแหน่งตัวอย่าง 4 ตำแหน่ง ทำการวิเคราะห์ 3 ชุด

16. ศึกษาคุณสมบัติของโด (Dough rheology)

ทำการศึกษาคุณสมบัติของโด ดัดแปลงวิธีจาก Sciarini, et al. (2012) ด้วยเครื่อง Rheometer (Bohlin Gemini 200 HR Nano, Malvern Instruments, United Kingdom) ศึกษาค่า Storage modulus (G'), Loss modulus (G'') และ Loss tangent ($\tan \delta$) ซึ่งใช้วัดแบบ Parallel plates ขนาดเส้นผ่านศูนย์กลาง 25 มิลลิเมตร เตรียมตัวอย่างโดยของขนมปังปราศจากกลูเตนจากสูตรมาตรฐาน โดยที่ไม่ผสมยีสต์เข้าไป พักไว้ 15 นาที ก่อนนำไปวางให้ระหว่าง Plate และพักไว้อีก 5 นาที จากนั้นตัดแต่งโดยส่วนที่เกินออกให้เสมอ ก่อนเริ่มการวิเคราะห์

หา Viscoelastic linear range โดยวางตัวอย่างบนแท่นตัวอย่าง แล้วทำการวัดค่า G' เพื่อหาช่วง Viscoelastic linear range โดยกำหนด Strain sweep จาก 0.1-100%, Constant frequency 1 Hz และอุณหภูมิ 25 องศาเซลเซียส

ทำ Frequency sweeps test วิเคราะห์โดยใช้ Strain ช่วง Viscoelastic linear range (ที่ได้จากข้างต้น) โดยกำหนดระยะเวลาห่างหัววัด 2000 ไมโครเมตร ช่วงความถี่ 0.1-10 เฮิรตซ์และความเครียด (Strain) 0.05% และอุณหภูมิ 25 องศาเซลเซียส (ทดสอบแบบหมุนหรือให้แรงกระทำในทิศทางสลับซ้ายขวา (Oscillation))

18. คุณสมบัติทางความร้อน เพื่อศึกษาการเกิดรีโทรเกรเดชั่นระหว่างการเก็บรักษาโดยใช้เครื่อง DSC (Model DSC 1. Star System, Mettler Toledo, Switzerland) ดัดแปลงวิธีของ Li, et al. (2011); León, et al. (2006)

เริ่มจากศึกษาลักษณะของการเกิดเจลาตินซ์ โดยวิเคราะห์ด้วยเครื่อง DSC เตรียมตัวอย่างโดยใส่ตัวอย่างแบ่ง 7 มิลลิกรัมลงใน DSC aluminium pan เติมน้ำกลัน

15 มิลลิลิตรลงไปในตัวอย่าง ปิดฝาให้สนิท จากนั้นนำไปบ่มที่อุณหภูมิห้องเป็นเวลา 24 ชั่วโมง เมื่อครบเวลาจึงนำมิวิเคราะห์สมบัติการเกิดเจลติไนเซ่น โดยเริ่มจากอุณหภูมิ 30 ถึง 150 องศาเซลเซียส ที่อัตราการเพิ่มของอุณหภูมิ 10 องศาเซลเซียสต่อนาที โดยใช้ Pan เป็น Reference สำหรับการเกิดริโตรเกรเดชันทำโดยกึ่ง Pan ที่ผ่านการวิเคราะห์การเกิดเจลติไนซ์แล้ว ให้ที่อุณหภูมิ 25 องศาเซลเซียส เป็นระยะเวลา 7 วัน วิเคราะห์ค่าอุณหภูมิเริ่มต้น (Onset temperature, To) อุณหภูมิสูงสุด (Peak temperature, Tp) อุณหภูมิสุดท้าย (Conclusion temperature, Tc) และค่าเอนthalpy (Enthalpy, ΔH) เปรียบเทียบความแตกต่างระหว่างวันที่ 0 และวันที่ 7

19. จำนวนจุลินทรีย์ทั้งหมด ตามวิธีของ Bacteriological Analytical Manual Online, 2001. Chapter 3, Aerobic plate count. USFDA. 8 pp. (<http://www.cfsan.fda.gov>)

เตรียมตัวอย่างโดยซึ่งตัวอย่าง 25 กรัม ใส่ในถุง Stomacher เติม Peptone Water ร้อยละ 1 จำนวน 225 มิลลิลิตร แล้วนำไปตีผสมให้เข้ากันนาน 1 นาที สารละลายตัวอย่างที่ได้จะมีความเจือจางเท่ากับ 10^{-1} (เจือจาง 10 เท่า) เตรียมสารละลายตัวอย่างให้มีความเจือจางเพิ่มขึ้น 100, 1,000 และ 10,000 เท่า (ตัวอย่างมีความเข้มข้น 10^{-2} 10^{-3} และ 10^{-4} ตามลำดับ) หรือระดับความเจือจางที่เหมาะสม โดยปีเปตตัวอย่างที่ความเจือจาง 10^{-1} จำนวน 10 มิลลิลิตร ใส่ในขวดที่มีสารละลายฟอสฟอสเปษนัฟเฟอร์ 90 มิลลิลิตร เขย่าให้เข้ากับทั่วทั้งขวด จะได้ความเข้มข้นเท่ากับ 10^{-2} และทำเช่นเดียวกันในการเตรียมตัวอย่างที่ระดับความเข้มข้นอื่นๆ จากนั้นทำการทดสอบโดยปีเปตตัวอย่างความเข้มข้นละ 1 มิลลิลิตร ใส่ลงในจานเพาะเชื้อที่ปลอดเชื้อ ความเข้มข้นละ 2 จาน เทオหารเลี้ยงเชื้อ Plate Count Agar (PCA) ที่มีอุณหภูมิ 45 องศาเซลเซียส จำนวน 15 มิลลิลิตร ต่อนึงจานเพาะเชื้อ โดยทำใน Laminar Flow วนเพลทเพื่อให้ตัวอย่างกระจายทั่วพื้นที่ ระหว่างระยะเวลาตั้งแต่ถ่ายตัวอย่างจนถึงขั้นตอนการทำเทอหารเลี้ยงเชื้อ PCA ไม่ควรเกิน 15 นาที ตั้งไว้ให้อาหารเลี้ยงเชื้อแข็งตัวที่อุณหภูมิห้อง กลับจานเพาะเชื้อให้อาหารเลี้ยงเชื้ออุ่นทางด้านบน นำไปบ่ม ในตู้บ่มเชื้อที่อุณหภูมิ 35 องศาเซลเซียส นาน 48 ชั่วโมง ตรวจนับจุลินทรีย์ในจานเพาะเชื้อที่มีจำนวนประมาณ 25-250 โคโลนี บันทึกและรายงานผลการทดลองเป็นจำนวนโคโลนีต่อกรัมตัวอย่าง (cfu/g)

20. จำนวนยีสต์และรา ตามวิธีของ Bacteriological Analytical Manual Online, 2001. Chapter 18, Yeasts, Molds and Mycotoxins. USFDA, 4 pp. (<http://www.cfsan.fda.gov>)

เตรียมตัวอย่างโดยซึ่งตัวอย่าง 25 กรัม ใส่ในถุง Atomacher เติม Peptone Water ร้อยละ 1 ปริมาตร 225 มิลลิลิตร แล้วนำไปปัตติผสมให้เข้ากันเป็นเวลา 2 นาที สารละลายตัวอย่างที่ได้จะมีความเจือจางเท่ากับ 10^{-1} (เจือจาง 10 เท่า) เตรียมสารละลายตัวอย่างให้ตัวอย่างให้มีความเจือจางเพิ่มขึ้น 100, 1,000 และ 10,000 เท่า หรือระดับความเจือจางที่เหมาะสม โดยปีเปตตัวอย่างที่ความเจือจาง 10^{-1} จำนวน 1 มิลลิลิตร ใส่ในหลอดทดลองที่มี Peptone Water 9 มิลลิลิตร เขย่าให้เชื่อมต่อทั่วทั้งถุง จะได้ความเข้มข้นเท่ากับ 10^{-2} และทำเช่นเดียวกันในการเตรียมตัวอย่างที่ระดับความเข้มข้นอื่นๆ ทำการทดสอบโดย ปีเปตสารละลายตัวอย่างในแต่ละระดับความเจือจาง ลงบนผิวน้ำอาหารเลี้ยงเชื้อ Rose bengal agar (เกลไสงานเพาะเชื้อที่ปีเปตเชื้อ และวางให้แข็งตัวที่อุณหภูมิห้อง 1 คืน) จำนวน 0.1 มิลลิลิตร จำนวน 3 จาน จากนั้นใช้แท่งแก้วอปีเปตเชื้อ เกลี่ยให้สารละลายตัวอย่างกระจายทั่วผิวน้ำอาหารเลี้ยงเชื้อ ทิ้งไว้ 10 นาที เพื่อให้สารละลายตัวอย่างซึมผ่านอาหารเลี้ยงเชื้อ นำจานเพาะเชื้อไปปั่นที่อุณหภูมิ 25 องศาเซลเซียส โดยที่จานเพาะเชื้อต้องหักอกไม่เกิน 3 จาน และไม่กลับด้านจานเพาะเชื้อ บ่มนาน 5 วัน ถ้าไม่มีโคโลนีขึ้น ให้บ่มต่ออีก 48 ชั่วโมง จึงตรวจนับจุลินทรีย์ นับจำนวนโคโลนีของเชื้อที่เจริญบนจานเพาะเชื้อที่มีจำนวนประมาณ 10-150 โคโลนี บันทึกและรายงานผลการทดลองเป็นจำนวนโคโลนีต่อกรัมตัวอย่าง (cfu/g)